

МИНИСТЕРСТВО ГЕОЛОГИИ СССР
МИНИСТЕРСТВО ГЕОЛОГИИ РСФСР
ЧИТИНСКОЕ ПРОИЗВОДСТВЕННОЕ ГЕОЛОГИЧЕСКОЕ ОБЪЕДИНЕНИЕ

Уч. № 0306

Экз. №

0485

ГЕОЛОГИЧЕСКАЯ КАРТА СССР

МАСШТАБА 1:200 000

СЕРИЯ ВОСТОЧНО-ЗАБАЙКАЛЬСКАЯ

Лист № 50-XXIX

Объяснительная записка

Составители: *В.В. Гольберт, И.Д. Чадикин*
Редактор *В.В. Старченко*

Утверждено Научно-редакционным советом ВСЕГЕИ
30 ноября 1967 г., протокол № 39

МОСКВА 1981

ВВЕДЕНИЕ

Территория Усть-Карского листа расположена в северо-восточной части Восточного Забайкалья и в административном отношении входит в состав Среднеазиатского, Моточинского и Чернышевского районов Читинской области. Площадь листа 5025 км².

Рельеф территории среднегорный. Центральную ее часть с юго-запада на северо-восток пересекает Шикинский хребет. Севернее параллельно ему протягивается Алеурский хребет. Северо-западную часть листа занимают отроги Хорьковского хребта, юго-восточную — Борщовочного. Абсолютные отметки главнейших водоразделов колеблются в пределах 800—1063 м, относительные превышения составляют 300—600 м. Рельеф Усть-Карской, Ундурлинской и Жибосинской впадин, расположенных между указанными хребтами, характеризуется абсолютными отметками в пределах 611—827 м и относительными превышениями 50—280 м. Речную сеть составляют р. Шика с притоками Чачей, Карой, Черной и р. Белым Урлом. Клима́т района резко континентальный. Среднегодовая температура —4,5°—6,5°, годовое количество осадков — 350—420 мм, из них на летний период приходится 50—75%. Характерно наличие многолетней мерзлоты островного типа. Территория района покрыта таежной растительностью.

Основное население — русские — занято на обслуживании железнодорожного и водного транспорта, лесозаготовках, в сельском хозяйстве и торнодобывающей промышленности. Населенные пункты расположены вдоль Транссибирской железной дороги и р. Шики, которые являются основными транспортными магистральными района. Поселок Усть-Карск связан с г. Читой рейсовым авиатранспортом. Внутри района работ сообщением осуществляется туземным и вьючным транспортом по проселочным дорогам и тропам.

Первые сведения о геологическом строении района появились в литературе с 1766 г. в связи с разработкой Шликинского-Волжских полиметаллических месторождений. Геологические исследования этого периода тесно связаны с эксплуатацией месторождений.

В 1837 г. геолог Павлуцкий открыл россыпное месторождение золота по р. Каре, а чиновник Разильяев обнаружил золото в долине р. Буриканучи (правый приток р. Черной). В последующие годы золотые россыпи были выявлены по рекам Богоче, Ивановке и др. В этот период разворачивался эксплуатационные и разведочные работы на россыпное золото.

В 1859 г. Ф.Б. Шмитц впервые дает общие сведения по геологии района. Первые региональные исследования относятся к 1895-1898 гг., когда В.А. Обручев, А.Э. Гедройц и А.П. Герасимов, проделав ряд маршрутов вдоль проектируемой Транссибирской железной дороги, составили геологическую карту масштаба 1:420 000 Нерчинского горного округа.

В начале девятисотых годов разведочные партии Нерчинского горного округа занимались поисками неочучинию россыпного золота. В результате этих работ техником Трупиным было открыто Дмитриевское месторождение золота, в районе которого в последующие годы неоднократно ставились поисково-разведочные работы. В дореволюционный период оно разведывалось английскими концессионерами (1903-1905 гг.), Ван-Гембергом (1906 г.), В.К. Борром (1918-1915 гг.). В советское время в районе месторождения работали геологи Труриев (1925 г.), В.Г. Войнов и А.Д. Лисовский (1926 г.), Н.А. Хрушев (1927 г.), В.А. Мелюранский и П.М. Клевенский (1928 г.), М.Б. Пресняков (1929 г.), Н.И. Торностаев (1930 г.), Т.Н. Чуева (1931 г.), А.И. Черных (1931 г.), И.Ф. Шербаченко (1932 г.), А.А. Семенова и Б.А. Рухин (1931-1933 гг.), Мисдревич (1934 г.). В процессе изучения месторождения и его окрестностей геолог А.И. Черных в 1931 г. открыл Пильненское золоторудное месторождение.

В 1950-1955 гг. в районе золоторудных месторождений поисково-разведочные работы проводит геолог Л.М. Москвитин (1950г.), Т.Н. Бельская (1953-1956 гг.), В.П. Дарев (1954-1955 гг.), Э.М. Мулюков (1955ф), В.Ф. Конюшев и др. (1957ф). Работами этих исследователей было установлено широкое развитие на территории, прилегающей к месторождениям, кварцево-турмалиновых и кварцевых золотороссыпей жид.

В 1944 г., проводя геофизические исследования в районе Ивановского, Барановского и Карийского молибденовых месторождений, М.Н. Буднев сделал вывод об их бесперспективности.

В 1959-1963 гг. Усть-Карская партия ЧТУ проводит в пределах Усть-Карской впадины поиски золоторудного месторождения "Балейского" типа (Шадин и др., 1960ф, 1962ф, 1963ф), не давшие положительных результатов. В пределах Кара-Чачинского рудного узла эта же партия проводит поисковые работы с применением геофизических и геологических методов (Лысеев, Петерель, 1960ф, 1961ф), в результате которых были выявлены и оцены ореолы рассеяния ряда полезных ископаемых.

В 1950-1953 гг. поисково-разведочные работы на уголь в пределах Удуртинской впадины проводит партия ВСТУ под руководством Н.П. Букшань. По материалам бурения отложения впадины расчленены на две толщ, возраст которых по определенным фауны и спорово-пыльцевых комплексов установлен как позднеюрский - ран-немеловый. Промышленные месторождения угля не выявлены.

В 1955 г. поисковой партией ЧТУ под руководством В.И. Солонухина открыты и оценены ряд месторождений доломитов в районе пос. Усть-Карска.

Наряду с поисково-разведочными в послереволюционный период в широком объеме проводились поисково-съемочные работы. В 1932 г. поиски и съемку на левобережье р. Шлики от г. Сретенска до пос. Усть-Карска провела партия под руководством Р.Д. Добрянского. Камеральную обработку собранных им материалов произвел в 1936 г. Б.А. Иванов, давший стратиграфическую схему, которая долгое время являлась основой для северо-восточной части Восточного Забайкалья и в общих чертах подтвердилась последующими работами. Стратифицирование образованы подразделены автором на протерозойско-нижнелазовские, нижнелазовские (Шликиноско-западская свита), триасовые (чагинская свита), юрские, а также неотен-палеогеновые (шликинские конгломераты) и четвертичные; среди интрузивных пород выделены каледонские граниты, сретенские порфировидные граниты, голышанский типбассальная интрузия и жильные образования.

В период с 1941 по 1945 гг. на левобережье р. Шлики геологическую съемку и поиски масштаба 1:200 000 и 1:100 000 проводят Ф.С. Коцких, А.А. Подсигин (1942 г.), Н.И. Фомин (1942ф), М.Г. Королев (1943ф), В.А. Куликов и др. (1943ф), А.И. Антоновская, Н.М. Миненко (1943ф) и Г.Л. Белик (1948ф). Данные, полученные перечисленными исследователями, подтвердили схему Б.А. Иванова.

В 1950 г. в районе Шликинско-Заводских полиметаллических месторождений геологическую съемку масштаба 1:50 000 проводила И. И. Мурадова, отрицательно оценившая территорию на полиметаллы. И. И. Мурадовой детально расчленены палеозойские отложения и высказано мнение о раннемеловом возрасте шликинских конгломератов.

В 1953 г. в бассейне рек Чаучи и Белого Урда геологическую съемку масштаба 1:200 000 проводил Г. В. Димитров, а в 1954 г. поисково-съемочные работы масштаба 1:50 000 в бассейне рек Черной и Уль-Дулчиной - Э. М. Мухомов (1955ф). Этими исследованиями существенно новых данных по геологии и полезным ископаемым района не получено.

В 1959-1965 гг. геологическую съемку масштаба 1:50 000 в бассейне рек Богочи и Кары проводил А. И. Щадрин, Ю. П. Носырев (1960ф), а в районе поселков Усть-Карока, Верхние и Нижние Куларки, Оморог - К. В. Вараксин, В. Г. Шарпин (1966ф). Указанными исследователями впервые составлены разрезы нижне- и верхнепротерозойских, верхнепротерозойских - нижнекембрийских и нижнекембрийских образований.

В послевоенные годы на территории Восточного Забайкалья проводились тематические исследования. В 1945 г. россыпные месторождения золота на левобережье р. Шидки изучались парижской НИПМазолого под руководством И. А. Преображенского, в отчете которого дано подробное описание геологии и геоморфологии, приведены разрезы долинных и террасовых отложений. В 1957-1965 гг. мезозойские отложения Усть-Карской и Ундурлинской впадины изучались геологами Ю. П. Лисцовым и др. Имми произведено расчленение отложений впадины и найдены многоочечные остатки раннемеловой фауны. В 1964-1965 гг. в районе Дмитрияевского и Пильненского золоторудных месторождений Ю. В. Овчущук и др. (1965ф) установили новый перспективный тип оруденения - золото-то-матчнетитовый.

Аэроматричной и аэрогамма-съемкой масштаба 1:100 000 исследуемая территория покрыта в 1957 г. (Дорошков и др., 1958ф). В 1964 г. северо-западная часть изученной территории исследована аэроматричной и аэрогамма-съемками в масштабе 1:25 000 (Туллин и др., 1965ф), а в пределах Усть-Карской депрессии проведена гравиметрическая съемка масштаба 1:100 000 (Зорин и др., 1964ф).

В период с 1956 по 1965 гг. территории смежных листов были покрыты геологической съемкой масштаба 1:200 000 (Туллин

и др., 1958ф, 1959ф; Лейфман и др., 1958ф, 1962; Зайков и др., 1965ф). Со смежными с севера листом N-50-XXIII (Зайков, 1965ф) лист N-50-XXIX увязан полностью. С остальными листами имеют значения не несвязки. На листе N-50-XXX (Лейфман, 1958ф) в его юго-западной части не откартированы метаморфические образования верхнего протерозоя и среднеюрские интрузии гранитов в поле развития гранитоидов каменноугольного возраста; фанитомераты карбонатного состава шликинской свиты (стр. 18) показаны карбонатными отложениями быстринской свиты (стр. 6); раннепротерозойские гнейсовидные лейкократовые граниты, развитые на левобережье р. Шидки, включены в состав каменноугольных интрузий; не расчленены раннепротерозойские гранитоиды. Произведенное на территории листа N-50-XXVIII (Туллин и др., 1958ф, 1959ф) расчленение гранитоидов на раннепротерозойские и раннепалеозойские не подтвердилось последующими геологическими (Гольдберг, Чацкис и др., 1966ф; Зайков и др., 1965ф) и геофизическими (Масловин, Огородников, 1966ф) исследованиями. В северо-восточной части этой же территории гранитоиды, отнесенные к III фазе амьнанского комплекса, по последним данным (Зайков и др., 1965ф; Гольдберг, Чацкис и др., 1966ф) сопоставляются с раннепротерозойскими образованиями.

В 1962-1965 гг. геологосъемочные и поисковые работы масштаба 1:200 000 на территории листа N-50-XXIX проводил В. В. Гольдберг, И. Д. Чацкис, В. Ю. Шенфильд, Л. Д. Феоктистов (1966ф). Материалы этих работ положены в основу геологической карты и карты полезных ископаемых листа и настоящей обзорной записки. Используются также материалы геологических съемок масштаба 1:50 000 (Щадрин и др., 1959ф; Вараксин и др., 1966ф) и геофизические исследования, проведенные на территории листа (Дорошков и др., 1958ф; Туллин и др., 1965ф; Зорин и др., 1964ф). В процессе геологосъемочных работ (Гольдберг, Чацкис и др., 1966ф) использовались топографические планшеты масштаба 1:200 000 и аэрофотограммки масштаба 1:27 000 удельного качества. Дешифрирование аэрофотограмм позволило уточнить границы типов и подтипов рельефа и проследить главнейшие разрывные нарушения. Детали геологического строения территории из-за сильной ее затекаемости не дешифрируются.

Главные "Введение", "Геоморфология", "Полезные ископаемые", раздели "Солонцовская толща", "Верхнеюрская-нижнемеловая система", "Меловая система", "Четвертичная система", "Раннепротерозойские интрузивные и ультрамафические образования"

(за исключением второй стадии) и "Каменноугольные интрузии (2 фаза)" описаны В.В.Гольбергом. Главы "Тектоника", "Подземные воды" и остальные разделы глав "Стратиграфия" и "Интрузивные образования" - И.Д.Чапковом.

СТРАТИГРАФИЯ

Стратифицируемые образования занимают около 15% исследованной территории. Преобладающим развитием пользуются нижнепротерозойские образования, ставшие значительные по площади под влиянием количества кенолитов среди раннепротерозойских гранитоидов к северу от основной ветви Монголо-Охотского глубинного разлома (см. рис. 1). На территории, расположенной к югу от этого структурного шва, значительное развитие получили верхнепротерозойские и нижнекембрийские образования дубининской (? свиты. В большинстве случаев перечисленные образования относятся к разрозненным кенолитам и тектонические блоки среди разновозрастных гранитоидов. Средневерхнепротерозойские образования формировались в узких приразломных прогибах, причем к северу от Монголо-Охотского структурного шва они представляли преимущественно вулканидами, а к югу от него - молассами кудининской свиты. Верхнепротерозойские континентальные отложения вытесняют тектонические выходы, приуроченные к зонам доломитовых глубинных разломов. Среди них выделены усть-карякская и шидинская свиты. Разные четвертичные отложения распространены повсеместно. Они расчленены на средне-верхнечетвертичные, верхнечетвертичные и современные.

НИЖНИЙ ПРОТЕРОЗОЙ (Р₄)

Нижнепротерозойские метаморфические образования развиты в пределах трех полюс-северо-восточного простирания. Первая из них расположена в среднем течении рек Бол.Кударит, Лужанки, Кары, в верховьях рек Лутин, Талакана и имеет ширину 4-6 км. Вторая полюс, имеет ширину 2-3 км, отмечается небольшими массивами метаморфических пород в верховьях рек Мал.Джиглинды, Джиглинды, Сев.Джиглинды и пади Тари. Третья, шириной 2-6 км, прослеживается вдоль Урум-Иткендинского разлома на левобережье р.Белого Урума.

Наиболее полно образования нижнего протерозоя представлены в первой полюсе. Здесь развиты серые порфириобластовые мелко- и среднезернистые биотитовые гранито-гнейсы, амфиболовые, биотит-амфиболовые и лейкократовые с биотитом гнейсы, темно-серые мелкозернистые биотитовые, амфибол-биотитовые и амфиболовые сланцы, интенсивно расщепляющиеся и согласно инъекционные разновозрастными перматитовыми гранитами. Мощность инъекций от 2 см до 1,5, редко 100 м.

Разрез нижнего протерозоя по левому борту долины р.Бол.Кударки близ ее устья, по данным К.В.Вараксина (1966), следующий (снизу):

1. Разнозернистые биотитовые гнейсы с прослоями (1-5 м) мелкозернистых амфибол-биотитовых сланцев. . . 150 м
 2. Мелкозернистые амфибол-биотитовые сланцы . . . 50 "
 3. Разнозернистые биотитовые гнейсы с прослоями (1-3 м) порфириобластовых биотитовых гнейсов 200 "
 4. Порфириобластовые биотитовые гнейсы 50 "
- Общая мощность пород по разрезу 450 м.

Намечается двухчленное строение разреза: нижняя часть (1-3) - гнейсы и сланцы, верхняя (4) - порфириобластовые гнейсы с редкими прослоями сланцев.

Породы верхней части прослеживаются в тектонических блоках шириной в первые километры от р.Черной до р.Лужанки. Преобладающим же развитием пользуются нижележащие гнейсы и сланцы. Юго-западнее, в бассейне р.Чаги, среди гнейсов и сланцев отмечаются темно-серые амфиболиты, линзы и прослои (10-200 м) белых мраморов (пади Солнопечная и Малая Соловуха).

Гнейсы и сланцы второй и третьей зон аномально таковы первой. Скарнированные мраморы отмечались по пади Кадае, р.Сев.Джиглинды, пади Джиглинды, р.Чонтоду в ее низовьях и близ устья пади Кулендына. Общая мощность нижнепротерозойских образований более 2000 м. Площади их развития характеризуются слабо переменным (+900-+300 гами), реже резко переменным (до +2000 гами, верховья р.Лужанки) магнитным полем.

Сланцы и гнейсы характеризуются присутствием синне-зеленой роговой обманки (наряду с зеленой), замещением биотита хлоритом и низкими содержаниями микроклина (5-10%). Из силикатных минералов преобладает олигоклаз-андезин (35-70%). Квадратное выявляет 0-30% породы и часто слагает пойкилитовые и мраморные вросстки в платиоклазе. Из акцессорных минералов обычны

рудный и апатит, реже встречается сфен и циркон. В порфири-благотных гнейсах на фоне разнородного гранобластового агрегата выделяются кристаллы олигоклаза и биотита размером 0,5-1,5 см. Мраморы имеют массивную текстуру и мозаичную структуру.

Описанные породы, по-видимому, относятся к первично геосинклинальным осадочно-эффузивным образованиям, метаморфизованным в амфиболитовой фации и наиболее близки к метаморфическим породам стенового комплекса нижнего протерозоя (Дзезановский, 1958), с которыми они и сопоставляются.

ВЕРХНИЙ ПРОТЕРОЗОЙ

Боршовочная серия

Дубинская свита (Рт₃^{bb}) развита на правобережье р. Шилки в районе падей Иртыша и Уникана в тектоническом блоке площадью 12 км². Она представлена однообразными розовато-серыми и светло-серыми мелкозернистыми лейкократовыми гнейсами с биотитом. Предполагаемая мощность свиты более 500 м.

Гнейсовидность пород выражена субпараллельным расположением породообразующих минералов, в том числе редких порфири-благот розового калишпата. Структура гнейсов гранобластовая, лепидогранобластовая. В их состав входят кварц (30-35%), олигоклаз (45-50%), калишпат (10-15%), биотит (5-10%) и единичные зерна розового граната.

Гнейсы образовались, по-видимому, за счет песчано-алевритовых отложений, метаморфизованных в амфиболитовой фации. По составу и структурному положению (нахождение в Боршовочной зоне Монголо-Охотской области палеозойско-мезозойской складчатости (см. рис. I) описанные породы близки к образованным лубинской свиты Верхнепротерозойского возраста района с. Анкина (Шулдинер, Лысак, 1965ф). Верхнепротерозойский возраст лубинской свиты подтверждается А. Н. Ефимовым.

Аникитинская свита (Рт₃^{an}) образует два выхода на правобережье р. Шилки: по падям Иртышу и Нижней Речке площадью 10 км² и по падям Каменке и Магдалихе (35 км²), где породы аникитинской свиты прорываются гранитоидными каменистыми интрузиями, а также инфильтруются среднеюрскими гранитами.

По правому борту пади Иртыша К. В. Вараксинным (1966ф) составлен следующий разрез свиты (снизу):

1. Толкое переслаивание серых средне-мелкозернистых амфибол-биотитовых гнейсов, светло-серых, мелкозернистых, лейкократовых с амфиболом гнейсов и биотит-амфиболовых, биотитовых сланцев 150 м
2. Серые порфириблаготные мелкозернистые биотитовые гнейсы с редкими маломощными (0,1 м) прослоями амфибол-биотитовых сланцев 490 "
3. Толкое переслаивание гнейсов, аналитичных таковым первой пачки, с линзовидными прослоями (0,2-0,4 м) биотит-амфиболовых и биотитовых сланцев. 400 "

Общая мощность пород по разрезу 1040 м.

Породы третьей пачки преобладают на первом участке. На втором участке разрез свиты составлен К. В. Вараксинным (1966ф) по правому борту пади Магдалихи (снизу):

1. Среднезернистые амфибол-биотитовые гнейсы с линзовидными прослоями (0,1-0,3 м) амфибол-биотитовых сланцев 450 м
2. Разнозернистые амфибол-биотитовые гнейсы с прослоями амфибол-биотитовых сланцев (0,1-2,5 м) и мелкозернистых биотитовых гнейсов (30 м) 650 "
3. Мелкозернистые биотитовые и биотит-амфиболовые гнейсы, редко порфириблаготные 100 "
4. Амфибол-биотитовые сланцы 200 "

Общая мощность пород по разрезу 1370 м.

Гнейсы низов разреза пади Магдалихи, по данным К. В. Вараксиня, сопоставимы с породами третьей пачки разреза по пади Иртышу, в этом случае две пачки последнего являются низами толщ. Осадка складная мощность ее более 2000 м.

Для второго участка характерно широкое развитие мигматитов, характеризующихся сложным "переслаиванием" (1-10 см) гнейсов и сланцев с мелкозернистыми лейкократовыми гранитами, реже аллигатами и пегматитами среднеюрской интрузии.

Для пород аникитинской свиты характерно: низкие содержания калишпата (до 10%) и кварца (до 20%), замещение роговой обманки биотитом, хлоритизация биотита и резкие колебания в содержании и соотношении амфибола и биотита (10-30%); платиоклаз-олигоклаз-андезин (20-60%). Акцессорные минералы представлены сфеном (до 10%), апатитом и рудным. Структура лепидогранобластовая, гранобластовая и неметогранобластовая.

По типу, составу пород и структурному положению (нахождение южнее основной ветви Монголо-Охотского глубинного разлома) описанные образования близки к метаморфизованным верхнепротерозойским породам анкинской свиты района с. Анкикина (Шудль-Динер, Лисак, 1965ф). Возраст анкинской свиты, по мнению А.Н. Ефимова, нуждается в уточнении.

ВЕРХНИЙ ПРОТЕРОЗОЙ - КЕМБРИЙСКАЯ СИСТЕМА, НИЖНИЙ ОТДЕЛ

Орложения а л т а к а н с к о й с в и т ы (Рt₃-См^{1,2}) встречены на водоразделах рек Богочи, Ивановки, Кары, Дужанки и Агми. Они сохранились в виде ксенолитов площадью 0,1-1 км² в провесах кровли интрузии каменноугольного возраста.

В состав ксенолитов входят биотит-кварцевые, двуслынные сланцы и биотитовые гнейсы, реже кварцованные кислые эффузивы (известняк р. Дужанки) и сидлисто-карбонатные, углесто-карбонатные сланцы с прослоями и линзами доломитов и доломитизированных известняков мощностью 1-15 м. Выходы известняков и двуслынных сланцев наблюдаются в левом борту р. Кары у пос. Эксаваатора, где они согласно подстилают карбонатные породы быстринской (?) свиты.

Разрез алтаканской свиты, составленный А.И. Шарниным

(1960ф) по пяди Халповке, имеет следующее строение (связу):	
1. Порфиробластовые биотитовые гнейсы	10 м
2. Биотит-кварцевые сланцы	70 "
3. Мелкозернистые биотитовые гнейсы	50 "
4. Биотит-кварцевые сланцы	20 "
5. Биотитовые гнейсы	110 "
6. Передаваемые биотитовых гнейсов и биотит-кварцевых сланцев	15 "
7. Биотит-кварцевые сланцы	60 "
8. Передаваемые биотит-кварцевых сланцев и биотитовых гнейсов	30 "
9. Помосчатые биотитовые гнейсы	20 "

Общая мощность пород по разрезу 385 м. Предполагаемая мощность свиты порядка 500 м.

Биотитовые и лейкократовые гнейсы - светло-серые, часто полосчатые породы. Структура их мелко-среднезернистая гранобластовая, лепидогранобластовая. В породах кроме кварца, кали-

штата, олигоклаза и биотита отмечаются хлорит, реже мусковит, рудный минерал и пиркон. Биотит-кварцевые и мусковит-кварцевые сланцы - серые, темно-серые грубо- и тонкопосчатые породы с мелкозернистым беском и мелкозернистой лепидогранобластовой структурой. В их состав входят кварц (60-80%), биотит и мусковит (20-40%), иногда олигоклаз и гранат (до 1-2%). Основные породы образовались за счет песчано-глинистых отложений, претерпевших региональный метаморфизм фации зеленых сланцев.

На контакте с каменноугольной интрузией породы алтаканской свиты согласно иньекционированы кварцевыми диоритами и лейкократовыми гранитами, а в контакте с верхнеюрскими гранитоидами Кара-Чачинского массива в них появляются андалузит, кордиерит и силлиманит.

По типу осадков, структурному (нахождение южнее основной ветви Монголо-Охотского структурного шва) и стратиграфическому (согласное залегание ниже пород быстринской (?) свиты) положению данные метаморфические образования сопоставимы с верхами верхнепротерозойской - нижнекембрийской алтаканской свиты, развитой в низовьях р. Шики (Шудль-Динер, Лисак, 1965ф).

С о л о н ц а н т о л и щ а (Рt₃-См^{1,2}). Метаморфизованные эффузивы солонцовской толщи слоятся тектонический блок площадью 7,6 км², закартированный в верховьях пяди Поворотной у южной границы территории листа. В составе толщи преобладают серые и розовато-серые расщепленные фельзиты, фельзитовые порфиры, реже встречаются ксенокластовые фельзиты и биотитовые микрогнейсы, образовывавшиеся за счет фельзитов. Породы обогащенность и монотонный состав пород не позволяют составить их разрез. Ориентировочная мощность толщи 200 м.

Описываемые кислые эффузивы характеризуются гнейсовидной текстурой и микрофельзитовой структурой серпент-кварц-полевосплатовой основной массы. Порфировые выделения кварца, биотита и олигоклаза, имеющие размеры от 2 до 4 мм, редки. Основная масса пород перекристаллизована в пределах узких (0,3-0,6 мм) предрывистых полос с образованием микролепидогранобластового агрегата зерен кварца, платиоклаза, редко калишпата и ярко-бурого биотита. В ксенокластовые обломки сложены раннепротерозойскими кварцсодержащими диоритами и их породообразующими минералами.

По составу, условиям залегания и характеру регионального метаморфизма (фация зеленых сланцев) описанные образования ана-

Должны эффузивам солощовской толщи, развитым в северо-восточной части Амазарского хребта. Эта толща на основании сопоставления с породами Борщовочной серии и алгаканской свиты Дятлируется как Верхнепротерозойская - нижнекембрийская (Шульдинер и др., 1965ф).

КЕМБРИЙСКАЯ СИСТЕМА

Н и ж н и й о т д е л

Породы б н с т р и н с к о й (?) с в и т ы (см. к.?) занимают в пришишкинской полосе площадь около 35 км², образуя на крыльях крупной антиклинальной структуры, ядро которой уничтожено интрузией каменноугольных гранитоидов. Наиболее широко они развиты по пади Ботоуче, в районе пос. Эксавагора, на правобережье р. Шидки между падами Бериканом и Волопадной и в устье пади Агии. Контакты их с окружающими породами, как правило, тектонические. Мелкие ксенолиты размером от 1-2 м до 500 м в поперечнике наблюдаются в каменноугольных гранитоидах. Подстилается карбонатами сланцами алгаканской свиты (у пос. Эксавагора). Верхи толщи на исследованной территории не обнаружены. Отложения свиты представлены белыми и серыми брекчированными и тонкоосистыми (1 мм-3 см) мраморизованными доломитами и доломитизированными известняками с прослоями карбонатных и углелисто-трафитистых сланцев мощностью от 1 до 15 м.

Разрез свиты по левому борту пади Ботоучи, по данным

А.И. Шадрина (1960ф), имеет следующее строение (снизу вверх):

1. Белые доломитизированные известняки 30 м
 2. Серые доломитизированные известняки 170 "
 3. Белые сахаровидные известняки 180 "
 4. Переоцвевание белых и серых доломитизированных известняков 70-80 "
 5. Серые тонкоосистые доломитизированные известняки 125 "
- Общая мощность свиты по разрезу 575-585 м.
 Блоковое строение, отсутствие фауны и маркирующих горизонтов, широкое развитие явлений брекчирования и окварцевания не позволяют увязать частные разрезы свиты. Предполагаемая мощность 1200 м.

Нами рассмотренные отложения условно сопоставляются с фаунистически охарактеризованными нижнекембрийскими известняками быстринской свиты в окрестностях Лазимурского Завода (Юзверенко, 1956). Не исключена возможность, что описанные породы имеют более древний (ранне-среднепротерозойский) возраст, как это предполагает А.И. Ефимов (устное сообщение).

СРЕДНИИ - ВЕРХНИИ ПАДЬОВОИ

К к у й т у н с к о й с в и т ы е (Р₂₋₃-з.к.) относятся как существенно вулканогенные образования, так и молассовые отложения, ранее относимые к чаучинской свите (Шенфиль, Чацкис, 1963ф).

Существенно вулканогенные образования развиты в пределах субширотного Джиндинского тектонического блока, протягивающегося от р. Ежикан до пади Тари на 50 км при ширине 1-6 км (150 км²), в небольшом тектоническом блоке (1 км²) в низовьях р. Ульдыгычи, а также в ксенолитах площадью 1-6 км² среди гранитов амазанского комплекса по р. Дугте и в верховьях р. Кары.

Джиндинский протиг имеет блоковое строение. Частные разрезы свиты в его пределах резко отличаются друг от друга ввиду фацциальной изменчивости толщи. Так, в разрезе по пади Шудьгинной преобладают туфоконгломераты и песчанники, наряду с которыми встречаются дресвяники и осадочные брекчии, сложенные обломками раннепротерозойских гранитоидов. По левому борту р. Черной составлен следующий разрез свиты (снизу):

1. Разногачечные конгломераты, туфоконгломераты 100 м
 2. Разнозернистые полимиктовые песчанники 150 "
 3. Андезитовые порфириты 250 "
 4. Переоцвевание разнозернистых полимиктовых песчанников (с отпечатками флоры плохой сохранности) и алевролитов 500-600 "
- Разрез по левому борту р. Вурдукан представлен андезитовыми порфиритами, их кластолитами и туфоконгломератами.
 С учетом всех частных разрезов строение свиты в Джиндинском блоке имеет следующий вид (снизу):
 1. Туфоконгломераты, агломератовые кластолиты, обломки и средние породы, туфопесчанники, реже конгломераты, песчанники и алевролиты. В низах толщи

отмечаются прослои фельзит-порфиров (3-5 м -
падь Шудьгина), а в верхах - докровы анде-
зитовых порфиритов (200-300 м - р. Черная) 1500 м

2. Андезитовые порфириты, реже дацитовые
порфириты, их туфы, агломератовые ксенокластома-
вы, в верхах разреза редко туфоконгломераты и
туфопесчанники с эффузивным цементом среднего со-
става 600-1000 "

Мощность свиты в Дзидлинском блоке 2100-2500 м. В ни-
зовьях р. Уль-Дулгич свита представлена темно-серыми интенсивно
раскрашенными конгломератами. В верховьях р. Кары - это тем-
но-серые и серые андезитовые порфириты, а бассейне р. Дутии -
ороговязованные зеленоваго-серые травертины, песчанники, андези-
товые порфириты, темные плотные туфы, конгломераты, реже квар-
цевые порфириты и фельзиты. Общая предполагаемая мощность сви-
ты - 2600-2700 м.

Туфоконгломераты - серые, зеленоватые и желтоватые породы,
содержащие хорошо окатанные гальку и валуны (80-80%) раннепро-
терозойских гранитоидов, кварцевых порфиритов в низах осадочной
толщи и андезитовых порфиритов в верхах. Гальки разглажены и
ориентированы в плоскости расчленения. Заполнителем служат
расширенные ксенокласты фельзитов, реже дацитовых пор-
фиритов и туфопесчанники. Песчанники - серые и темно-серые, разно-
зернистые, полимиктовые. Они содержат округлые обломки эффузи-
вов и угловатые - гранитов. Цемент супраконгломератный кварц-серп-
ицитовый, железистый. Андезитовые порфириты и дацитовые порфи-
риты - серые, темно-серые, зеленоваго-серые и серые породы,
содержащие до 30% включенников олигоклаза (0,5-3 см), реже
пикнита, кварца и амфибола. Основная масса представляется со-
бой микрозернистый агрегат олигоклаза, рудного минерала, квар-
ца, эпидота, хлорита и серпикита. Отмечаются редкиты пилотак-
ситовой структуры. Ассоциация вторичных минералов позволяют
описать породы отнести к фации зеленых сланцев регионального
метаморфизма.

Молассовые отложения куйтунской свиты развиты на водораз-
делах рек Кары, Джанки, Ами, Бот. Куларки в полосе тектони-
ческих блоков северо-восточного простирания шириной 0,2-1,5 км
протяженностью 25 км. На водоразделе рек Кары и Джанки и в
районе союхова Ивановки породы свиты прорываются и орогови-
куются верхневюрскими гранитоидами.

Разрез толщи в верховьях пади 2-й Ключевой (левого прито-
ка р. Кары) по данным А.И. Шадрина (1960г), имеет следующее
строение (снизу):

1. Конгломераты, меняющиеся от мелкогалечных до
валунных вниз по разрезу 100 м

2. Частая перекаемость мелкогалечных конгломе-
ратов, полимиктовых песчаников и фидлитовидных слан-
цев 150 "

3. Фидлитовидные сланцы, чередующиеся с алевроли-
тами и вниз по разрезу постепенно сменяющиеся песчани-
ками 250 "

Общая мощность отложений по разрезу 500 м.

Лучшее строение толщи - внизу серые плотные конгломе-
раты, вверху черные и серые фидлитовидные сланцы, алевролиты и
песчанники - подтверждается другими разрезами. Алевролиты, фид-
литовидные сланцы и песчанники верхов разреза развиты юго-запад-
нее р. Джанки, а конгломераты - северо-восточнее. Конгломераты
содержат прослои песчаников, алевролитов, андезитовых порфи-
ритов, дацитовых порфиритов, их туфов и туфопесчанников. Макси-
мальная мощность алевролино-сланцевой части толщи - 700 м, а
конгломератовой - 800 м. Общая мощность свиты - 1500 м.

В составе хорошо окатанной, уплощенной гальки и валунов,
составляющих 20-80% конгломератов, преобладают раннепротерозой-
ские обломки, реже встречаются кислые эффузивы, аналогичные
таким из низов разреза вулканогенных образований куйтунской
свиты, жильный кварц, лампрофиты, песчанники и алевролиты. Се-
веро-восточнее пади Уласова присутствуют галька туфопесчани-
ков, туфов средних и кислых пород, андезитовых порфиритов, да-
цитовых порфиритов, а в cementoе выявляются примесь туфового ма-
терияла. Заполнителем служат песчанники и алевролиты. Цемент
базальтного типа, редко поровый, биогит-кварцевый с примесью
рудного минерала. Для описываемых пород характерны расщепле-
вание и многоочленные прожилки вторичного кварца мощностью 1-
5 мм. В песчанниках кварц перекристаллизован и зерна его имеют
лапчатую форму. Для фидлитовидных сланцев характерна тонко-
слоистая (0,1-1 мм) текстура, подчеркиваемая неравномерным
распределением гидроксидов железа, и биостролевропеллитовая
структура. Породы свиты претерпели метаморфизм фации зеленых
сланцев.

Широкий возрастной интервал Куйтунской свиты - средний-верхний палеозой - объясняется просторовечностью определенных остатков фауны и флоры, собранных в ее молассовых отложениях в районе пос. Бори (за пределами территории листа); телелитолы верхов дельта - низов карбона по Б.В. Наливкину и пермские по Е.М. Давыдову, флора верхов синдры - низов дельта и нижние перми по Е.Ф. Чирковой-Замосской (Шенфиль, Чацкис, 1962Ф). Остатки флоры по р. Черной в существенно вулканических образованиях внешне напоминают флору раннепермского возраста из отложенной Куйтунской свиты, развитых юго-западнее исследуемого района, где обе свиты параллельно залегают (Шенфиль, Чацкис, 1962Ф).

ЮРСКАЯ СИСТЕМА

В е р х н и й о т д е л (УЗ)

Эффузивы позднепермского возраста слагают полосу субширотного простирания шириной 1-2 км и длиной 20 км в среднем течении р. Ундурги. Они имеют тектонические контакты с раннепермскими гранитоидами на севере, а на юге несогласно перекрываются верхнепермскими - нижнемеловыми конгломератами. На левобережье р. Ундурги развиты серые и розовато-серые афиты, дацитовые порфиры и их кварцолиты с вертеновидными обломками литоритов диаметром 1-10 см, а на правобережье - светло-серые, розовые и лиловые класстолавы и коенокласстолавы микрофальзитов и фальзит-порфиров. Они содержат угловатые обломки афитов, афитов, кварца, плаггиоклаза и реже гранитов. Среди микрофальзитов встречаются пестрые розовато-зеленые тонкопосочатые стекловатые разновидности со сферолитными диаметром 0,1-2 см. Характерно широко развитые рудного минерала, хлорита, серпидита, эпидота, гидрослюда (5-35% пород). Эффузивы правобережья р. Ундурги относятся к липаритам, а левобережья - к кварцевым лавтам (материалы группы ВСЕЛЕН, Г.В. Александров, 1965 г.). Предполагаемая мощность толщ - 250-300 м.

Возраст описанных пород определяется на основании сопоставления с верхнепермскими эффузивами Восточного Забайкалья (Козаренко, 1956). Они содержат обломки литоритов средне-верхнепермского комплекса и присутствуют в гальке верхнепермских - нижнемеловых конгломератов Ундургинской депрессии.

ЮРСКАЯ СИСТЕМА, ВЕРХНИЙ ОТДЕЛ - МЕЛОВАЯ СИСТЕМА, НИЖНИЙ ОТДЕЛ

Отложения у с т ь - к а р с к о й с в и т ы

(УЗ-Стрелка) выподняты усть-карской трабен-синкинской и протитиваются в северо-восточном направлении полосой шириной 2-4 км на 30 км от пос. Усть-Карска до р. Черной. На северо-западе отложения свиты граничат по тектоническому нарушению с породами фундамента, а на юго-востоке согласно перекрываются конгломератами шилкинской свиты. В грабен-синкинской выделяются три мульд: Усть-Карская, Дужанинская и Кудрянская.

Наиболее полный разрез отложений свиты изучен у пос. Усть-Карска на юго-западном крыле усть-карской мулды (снизу):

1. Переохлажденные темно-серые известковистых алевритов с зеленовато-серыми мелкозернистыми песчаниками 12 м
 2. Переохлажденные средне- и мелкогалечных конгломератов и крупно- и среднезернистых полимиктовых песчаников. В конгломератах хорошо окатанная галька турмалинодержавшего кварца, лейкократовых гранитов и серых дацитовых порфиров. К верхней части папки приурочен 2,5-метровый прослой зеленых андезитов-базальтов. 54 "
 3. Переохлажденные светло-серых полимиктовых песчаников и конгломератов. Прослой зеленовато-бурых минералогических андезитов-базальтов в верхней части папки 21 "
 4. Зеленые, темно-серые и лиловые минералогические андезитов-базальты и их класстолавы 150 "
 5. Светло-зеленые витрокастические туфы 15 "
 6. Переохлажденные конгломератов и песчаников, содержащих гальку зеленовато-серых андезитов-базальтов и гранитоидов 240 "
 7. Светло-серые пелливые, витрофирные туфы, содержащие обугленные остатки растений, фауну *Nestorja Krasnietzi* (Нов.) и др. 3-4 "
 8. Переохлажденные мелкогалечные конгломераты и песчаники светло-зеленого цвета 60 "
- Мощность отложений по разрезу 542 м.

Сходное строение имеет разрез северо-восточного крыла мурды. Максимальная мощность свиты в Усть-Карской мурде 1000-1050 м по геофизическим данным.

Далее к северо-востоку выделяются Лужанкинская и Кударкинская мурды, разрез отложений которых близок к вышеописанному, имеются лишь мощность прослой андезитов-базальтов (четвертая папка разреза у пос. Усть-Карска) от 10 до 200 м.

Возраст отложений свиты определяется по находкам Ю.П. Лисцова и С.С. Красинца (1962 г) в районе Усть-Карска в пепловых туфах из верхов свиты фауны *Neostrota krasnitski (Nov.)*, *N. risovoi* Крас., *N. aff. tetisulata (Pachern.)*, *N. sargata* Крас., *N. cf. asiatica* Nov. et Kar., *Paleoleptasteria aff. toshida* Крас., *P. ledimilitsha* Крас., *P. shushnikovi* Крас. (определения С.С. Красинца), характерной для арлунской свиты нижнего меда. Из отложений средней части разреза А.А. Сиротенко выделена пыльца *Rhassaea*, *Rodocarpasee*, *Ginkgo*, споры *Scolopoteris*, *Osmunda*, *Huzesporidium*, *Leiotrilletes*, которая отмечается, по его замечанию, в некоторых спектрах из кутинской свиты нижнего меда. По данным Ю.Ф. Мисника, комплекс пыльцы и спор из низов усть-карской свиты указывает на позднеюрский - раннемеловой их возраст. Таким образом, время формирования отложений свиты определяется от верхов верхней мурды до нижнего меда включительно.

Условно к образованному усть-карской свиты (*У-Ст¹*) отнесены отложения, выделенные в Ундурлинской впадине (делю-бережье р. Ундурли и правобережье р. Ушмуна) и протягивающиеся в субширотном направлении на 20 км при ширине 3-8 км. На севере они залегает с разрывом на Верхнеюрских эффузивах, в районе северо-восточного замыкания впадины несогласно перекрывают андезитовые порфириты куйтунской свиты, а на юге согласно перекрывают нижнемеловыми конгломератами.

Наиболее представительен разрез отложений по левому берегу р. Ундурли (Муратова, Лисцов, 1966ф), где обнажается (снизу):

1. Разнозернистые конгломераты с обломками подстилавших их верхнеюрских эффузивов 200 м
2. Разнозернистые песчаники, переслаивающиеся с гравелитами и алевритистыми аргиллитами 220 "
3. Разнозернистые песчаники, переслаивающиеся с алевритами, аргиллитами с примесью пеплового материала и туффитов. Туффиты содержат остатки семян растений 250 "

4. Межозернистые песчаники, переслаивающиеся с алевритами и аргиллитами с растительными остатками (0,02-8 м) 43,5 м

5. Алевритистые туффиты и пепловые туфы с единичными прослоями конгломератов. 100 "

6. Разнозернистые аркозовые песчаники, переслаивающиеся с травертинами и редкими прослоями серых алевритов. Сортированность обломочного материала плохая. Цемент глинисто-хлоритовый и гидрослюдистый с примесью каолинита 30 "

7. Конглобрекчий бедные, с прослоями, камянами и линзами конгломератов, травертинов и песчаников. Состав из окатанных обломков различных гранитов, андезитовых порфиритов, фельзитов, угловатых обломков диаритов с фидиальной текстурой. Заполнитель - угловатые обломки сапфирных минералов, эффузивных пород и слюды, сложенитовые кремнистым материалом 17 "

8. Конглобрекчий, аналогичные тактовым слоям 7, с прослоями (0,1-1,4 м) песчаников и алевритов, содержащих остатки хрящевых панцирных рыб и растительный 24,05-24,7 "

9. Переслаивание алевритистых пород и песчаников 30 "

Выше согласно залегает нижнемеловые туфовые конглобрекчий и конгломераты. Общая мощность отложений по разрезу 912 м.

Таким образом, в разрезе верхнеюрских - нижнемеловых отложений Ундурлинской депрессии выделяется две части: псефитовая (слой I разреза) и песчаниково-алевролитовая (слои 2-8). По данным бурения, характер этого разреза выделяется по простиранию, при этом мощность его убывает с запада на восток до 500 м.

Возраст отложений определяется по остаткам фауны и флоры, обнаруженным Ю.П. Лисцовым и И.И. Муратовой в породах песчаниково-алевролитовой части разреза. Растительные остатки, по мнению И.Н. Сребродольской, указывают, скорее всего, на позднемеловой-средний возраст отложений. Остатки рыб В.Н. Яковлевым определены как *Lisosteга mdelendorfi* Кулл., *Chondroctis gen ind sp.1* (нижний мел). Остатки остракод, определенные С.М. Синицей, указывают на позднеюрский - раннемеловой возраст содержащих их отложений.

Среди моллюсков Ч.М. Колесниковым определены многоочисленные виды рода *Arguilella* и *Limosuccinea* (?) sp. indet. Среди остатков конхострака С.С. Красинцев определил многочисленные виды родов *Neostrota* и *Eastroites*, *Defretinia* sp. и *Ellisegastrea subelliptica* Spathz, что позволяет считать возраст заключенных их отложений верхами нижнего мела.

По данным И.И. Мураговой, Ю.П. Писцова и др. (1966ф), абсолютный возраст андезитов, залегающих в основании разреза верхнемеловых отложений за пределами изученной территории — 145 млн. лет (средина верхней кры), а ксилового вулканического стекла из жерловых образований, прорывавших в районе пос. Таких аналогичные депрессионные отложения, — 101 млн. лет (верхи нижнего мела). Таким образом, время формирования описанных пород определяется верхами верхней кры — нижним мелом.

МЕЛОВАЯ СИСТЕМА

И и ж и и о т д е л

Отложения шикнинской свиты (Ст. 18) занимают площадь около 80 км² в центральных частях Усть-Карской, Луканкинской и Кударкинской мульд Усть-Карской впадины. Они залегают согласно на огложенных усть-карской свиты, а по юго-восточному борту впадины имеют тектонический контакт с породами фундамента. Представлены конгломератными образованиями красноцвето-бурыми и светло-серыми грубообломочными конгломератами и фангломератами, содержащими редкие маломощные (10-50 см) прослойки и линзы полимиктовых песчанников, причем фангломераты приурочены к верхней части разреза.

Гальки и валуны размером от 1 см до 10 м сложены известняками, глинами, гранитоидами, андезито-базальтами и кварцем. Сортировка и окатанность обломочного материала плохая. Цемент конгломератов базальтный, плотный, известковистый, обычно обогащен гидроокислами железа. Мощность отложений шикнинской свиты 500-600 м.

Внутри каждой мулды разрез имеет специфические особенности. Усть-Карская сложена почти исключительно красноцвето-бурыми конгломератами и лишь у устья пади Володарной и по р. Берее отмечаются 80-100 м прослой светлого-серых известковистых конгломератов и конглобрекчий. В Луканкинской мульде крас-

но-бурые конгломераты приурочены к основанию разреза и имеют мощность около 300 м. Верхние горизонты свиты представлены светлого-серыми известковистыми конгломератами. Кударкинская мульда сложена исключительно светлого-серыми известковистыми конгломератами.

Нижнемеловой возраст свиты определяется ее согласным залеганием на фаунистически охарактеризованных отложениях усть-карской свиты и сопоставлением с аналогичными отложениями Куанинской впадины, в которых Ч.М. Колесниковым найдена и определена раннемеловая фауна (Писцов и др., 1962ф).

Конгломераты, условно относимые к образованиям шикнинской свиты (Ст. 18 ?), закартированы в пределах Ундурлинской (27 км²) и Жабкозинской (64 км²) депрессий. В Ундурлинской депрессии они развиты по левобережью р. Ундурги в низовьях р. Едигинды, где согласно перекрывают верхнемеловые-нижнемеловые породы. Мощность толщ, по данным буровых и геофизических работ, 200 м. Грубообломочные породы состоят из хорошо и среднеокатанных валунов и галек размером 0,5 см-1 м, сложенных лейкорпоровыми глинами, траходморитами и андезитовыми порфиритами. В низах разреза отмечается обогащение огложений угловатыми обломками белесых липеритов. Заполнитель — бурые гравелистые песчанники.

Жабкозинская впадина (среднее течение р. Чонгода и верхнее течение р. Жикоса) выложена валуно-галечными конгломератами и фангломератами, реже отмечаются мелкоталечные конгломераты. Фангломераты развиты в северной и центральной частях впадины, занимают наиболее возвышенные участки рельефа и приурочены, по-видимому, к верхам разреза. Судить о характере разреза отложения трудно ввиду почти полного отсутствия обнаженности. Предполагается их мощность — 200 м.

В составе обломочного материала конгломератов преобладают раннепалеозойские граниты. Заполнитель — гравелисты на глинистом и серпичитово-кремнистом цементе. Мелкоталечные конгломераты имеют характерную красноцвето-бурый окраску, обусловленную присутствием в цементе гидроокислов железа. Галька хорошо окатана. Заполнитель — крупнозернистые полимиктовые песчанники, древесняники и гравелисты с плохо окатанными обломками эффузивов кислого и среднего состава. Конгломераты содержат незначительные по пространению прослойки (3-10 см) мелкозернистых светлого-серых и сереневых туфопесчанников с остатками флоры плохой сохранности.

По характеру разреза и условиям формирования (фашии складов и подложный гор) контломераты Эпикосинской депрессии сопоставимы с нижнемеловыми отложениями Ундуртинской депрессии, возраст которых обосновывается соотносимым залеганием на фаунистически охарактеризованных верхнеюрских - нижнемеловых отложениях и наличием в составе обломочного материала липаритов, андалузитных таклов района пос. Такши, абсолютный возраст которых определен в 101 млн. лет.

ЧЕТВЕРТИЧНАЯ СИСТЕМА

Четвертичные отложения делятся на средне-верхнечетвертичные, верхнечетвертичные и современные.

С р е д н е - в е р х н е ч е т в е р т и ч н ы е о т л о ж е н и я (QII-III)

К названным образованиям относятся аллювиальные пески и галечники пятой надпойменной террасы р. Шилки и третьей надпойменной террасы ее притоков. В составе отложений преобладают гелии и галечники, реже встречаются глины с включением галек, в низках разреза появляются валуны. Гальки и валуны хорошо окатаны. В их составе преобладает кварц, реже отмечаются турмалиновые породы, граниты, песчаники. Аллювий высоких террас рек Шилки, Кары, Дужанки, Кударок в низках разреза золотосоден. Разрез аллювия высокой террасы р. Шилки в междуречье Кары - Кудинды выглядит следующим образом (снизу):

1. Переизвивание светло-серых разноразмерных песков с примесью глинистого материала (20-50%) и с включением хорошо окатанных галек кварца и турмалина (10%) 24,5 м
 2. Глины белые с примесью песка (30-40%) 2,5 "
 3. Крупнозернистые пески с примесью гравия 4,5 "
 4. Глины темно-коричневого цвета с примесью песка (20%) 1 "
 5. Мелкозернистые пески светло-коричневые 0,5 "
 6. Глины вязкие желтовато-серого цвета 0,5 "
 7. Среднезернистые пески темно-серого цвета 0,5 "
- Общая мощность отложений по разрезу 34 м.
- Возраст описанных отложений определяется находками фауны. В аллювии пятой надпойменной террасы р. Шилки у пос. Мангидая найдены кости *Ovis ammon*. В отложениях высокой террасы р. Кары найдены кости млекопитающих *Bos primigenius*, *Elaphus*

primigenius, что также соответствует средне-позднечетвертичному возрасту (Вангенгейм, 1961).

Средне-позднечетвертичный возраст подтверждается также палинологическим анализом пробы из песчано-галечных отложений высокой террасы р. Черной у пос. Оморок (Вараксин, Шмардин, 1966ф).

В е р х н е ч е т в е р т и ч н ы е о т л о ж е н и я (QIV)

К верхнечетвертичным относятся отложения второй, третьей и четвертой надпойменных террас р. Шилки и второй надпойменной террасы ее притоков - рек Черной, Ивановки, Белого Урма и др. Эти террасы имеют незначительное развитие. Мощность аллювия - 0,5-17,5 м. В составе его преобладают мелко- и среднезернистые пески с включением (2-50%) средне- и хорошо окатанных галек и валунов, сложенных различными метаморфическими, изверженными породами и кварцем. С глыбиной отсортированность материала ухудшается, увеличивается количество галек и валунов.

Наиболее полно изученный разрез отложений третьей надпойменной террасы р. Шилки у пос. Верхние Кударки выглядит следующим образом (снизу):

1. Галечники с примесью песка и гравия 8 м
2. Пески мелкозернистые, хорошо отсортированные 4 "
3. Галечники с примесью песка и гравия 4 "
4. Пески мелкозернистые, в верхней части прослойки (1-8 см) черных илов и глин 1,5 "

Общая мощность отложений по разрезу 17,5 м.

По р. Шилке у пос. Верхние Кударки эти отложения золотосоденны. Из отложений второй надпойменной террасы р. Шилки выделен комплекс спор и пыльцы древесных, кустарниковых и травянистых растений, который, по мнению Н.К. Пановой (лаборатория ЦТГУ), характеризует ландшафт холодного климата приледниковых областей позднечетвертичного времени, что с учетом их стратиграфического положения (вторая терраса) позволяет датировать отложения периода последнего похолодания (Вараксин, Шмардин, 1966ф). Более детальное возрастное расчленение отложений второй, третьей и четвертой террас р. Шилки не произведено ввиду значительных трудностей их разделения.

С о в р е м е н н ы е о т л о ж е н и я (9т)

Эти образования пользуются наиболее широким развитием и представлены аллювием поймы и первой надпойменной террасы рек района, а также элювиальными, деэлювиальными и проэлювиальными образованиями.

В составе пойменных отложений, имеющих мощность 5-8 м, преобладают галечники, реже отмечаются грубозернистые пески. В составе аллювия первой надпойменной террасы преобладает песчано-глинистый материал с включением хорошо окатанных гравия, галек и валунов. Мощность аллювия - 4-14, 5 м. Отмываемые отложения часто золотососны.

Разрез отложений первой надпойменной террасы р. Шиджи у пос. Верхние Кударки выглядит следующим образом (снизу вверх):

1. Галечники серого цвета с примесью гравия (30%) 10,2 м
2. Пески тонкозернистые, слюдистые, светло-серого цвета 1 "
3. Супесь темно-серого цвета 3,3 "

Общая мощность отложений по разрезу 14,5 м.

Принудительность этих отложений к современной отдаленно подтверждается спорово-пыльцевым спектром из аллювия первой надпойменной террасы р. Шиджи у г. Стетенска (Шенфиль, Чацкис, 1962ф).

Элювиальные, деэлювиальные, проэлювиальные и аллювиально-деэлювиальные отложения развиты повсеместно. В составе их преобладает сульфидный материал с примесью щебенки различной крупности, дресвы, иногда с включением крупных глыб.

ИНТРУЗИВНЫЕ ОБРАЗОВАНИЯ

Интрузивные и ультраметаморфические образования занимают около 85% исследованной территории и подразделяются на раннепротерозойские, раннепалеозойские, каменноугольные, раннемезозойские, среднеюрские, средне-позднеюрские, позднеюрские и раннекаменноугольные.

РАННЕПРОТЕРОЗОЙСКИЕ ИНТРУЗИВНЫЕ И УЛЬТРАМЕТАМОРФИЧЕСКИЕ ОБРАЗОВАНИЯ

Распространены образования широким развитием подзудоты к северу от основной ветви Монголо-Охотского глубинного разлома, обнаружены на территории в несколько тысяч квадратных километров (около 80% площади листа). Среди них выделяется доорогенные диориты и габбро-диориты и синорогенные гранитоиды. Последние составляют основной фон исследованной территории и являются результатом ультраметаморфизма нижнепротерозойских образований. В процессе ультраметаморфических преобразований возникла пестрая по составу и сложная по генезису гамма пород, четко подразделяющихся на две группы: 1) гнейсовидные кварцевые, реже кварцсодержащие диориты, трондальмиты, платитограниты, порфировидные граниты и гранодиориты ($\delta_1 \text{Pc}_1, \delta_1 \text{Pc}_1, \delta_1 \text{Pc}_1$); 2) лейкогранитовые и биотитовые граниты, реже роговообманково-биотитовые гранодиориты, часто гнейсовидные ($\gamma_2 \text{Pc}_1$).

Диориты ($\delta_1 \text{Pc}_1$) и габбро-диориты ($\gamma_2 \text{Pc}_1$)

Биотит-роговообманковые и преимущественно роговообманковые диориты, габбро-диориты и габбро представляют собой зеленоватосерые массивные пятнистого облика породы. Они складываются среди раннепротерозойских гранитоидов несколько крупных ксенолитов (правый борг долины р. Шахтайки, водораздел рек Ундурги и Уша-кинда, Инетри и Лугин) площадью 0,5-4 км² и более мелкие.

Структура пород мелкозернистая габбровая с элементами офи-товой и примитивическизернистая. В их состав входят ритмически зональный платиноклаз - олигоклаз-андезит и лабрадор (50-88%), зеленоватого-бурый роговая обманка, биотит (12-50%) и единичные зерна моноклинового пироксена. Из вторичных минералов присутствуют эпидот, актинолит, хлорит, мусковит и метасоматический калишпат (до 10%), из акцессорных магнетит, пирит, апатит, редко циркон, монацит и сфен.

Габбро в процессе формирования раннепротерозойских гранитоидов претерпели следующие изменения: пироксен замещен роговой обманкой, роговая обманка - актинолитом, актинолит биотитом; платиноклаз замещен калишпатом и вместе с темнопцевыми

минералами интенсивно разрабатывается калишплатом и кварцем в микропегматитовом сростании.

Тнейсовидные кварцевые, реже кварцсодержащие диориты (S_1, P_1, P_1), роговообманково-биотитовые, биотит-роговообманковые гранодиориты, трондземиты, реже плагиограниты (S_1, P_1, P_1), порфировидные роговообманково-биотитовые граниты, реже гранодиориты (T_1, P_1)

Кварцевые и кварцсодержащие диориты сформировались в результате blastoz и магматического замещения нижнепротерозойских метаморфических пород без существенного изменения состава исходного вещества. Они развиты на площади 930 км² и складчатые две пояса шириной от 2 до 12 км, непосредственно примыкающие к Ундурлинскому разлому и к основной ветви Монголо-Охотского гудининского разлома. Эти же породы на водоразделе рек Джелонды и Шахтайки складчатые небольшие (0,6-9 км²) выходы среди поля гранитов-гранодиоритов, приуроченные к участкам насыщения гранитоидов сквалитыми нижнепротерозойских метаморфических пород.

Среди описываемых диоритовых пород преобладают однообразные среднезернистые тнейсовидные кварцевые диориты, связанные постепенными переходами с кварцсодержащими диоритами и биотитовыми трондземитами. Плотностью диориты насыщены сквалитами (до 1,5 м по удлинению) фельдшпатами и роговообманковыми кристаллическими сланцами и гнейсами, состоящими из кварца и сланцев. С увеличением количества сквалитов и их размеров диориты становятся более мелкозернистыми, существенно амфиболовыми и слабо подосаженными. Диориты - серые и темно-серые породы, содержащие в мелкозернистой основной массе субпараллельно ориентированные кристаллы роговой обманки или биотита. Длина их характерна неоднородностью и неравномерностью ступенчатости, в пределах шифра меняющейся от приматическизернистой до гранобластовой и от среднезернистой до мелкозернистой.

В верховьях р.Талакана наблюдается характер процесса ультраметаморфического преобразования биотит-плагиоклазовых кристаллосланцев, из которых в результате blastoz минералов формируются диориты с реликтами гранобластовой ступенчатости. Порядок преобразования следующий: рост и срастание отдельных зерен плагиоклаза; образование порфиробластов его с реликтами кон-

тактами отдельных зерен; слияние порфиробластов - образование крупных табличных реликтов зонального плагиоклаза; ретенция-образование порфиробластов более кислым плагиоклазом. Мелкие чешуйки метаморфического биотита, концентрируясь по периферии порфиробластов плагиоклаза, образуют околения неправильной формы (1,3-3 мм). Далее происходит blastoz темноватых минералов, крупные цикломорфные зерна которых содержат включенный округлых зерен и мелких порфиробластов плагиоклаза. Интенсивный blastoz происходит в пределах узких (1-3 мм) зон, и макрооптические контакты исходных пород и продуктов их преобразования резкий.

На водоразделе рек Инетири и Лутиги в дельте и коренном залежании на протяжении 0,5 км наблюдается постепенный переход от тнейсовидных биотит-роговообманковых кварцсодержащих диоритов до массивных биотитовых трондземитов. На водоразделе рек Балковни и Ушакинды в их среднем течении в скальном обнажении на протяжении 35 м наблюдается постепенный переход от диоритов к гранодиоритам, при этом роговая обманка замещается биотитом и появляются единичные порфировидные выделения темно-серого кварца и розового калишпата размером до 0,2 см. Далее за счет резкого увеличения количества порфировидных выделений (0,3-2 см) калишпата (от единичных зерен до 20%) и кварца (20-25%), четко выделяющихся на фоне мелкозернистой основной массы, сохраняется ступенчатые и текстурные особенности кварцевых диоритов, последние переходят в порфировидные роговообманково-биотитовые гранодиориты. Ориентировка тнейсовидности в гранодиоритах и диоритах совпадает и субпараллельна плоскости контакта между этими породами.

Более интенсивному (сущиде прожилки калишпата) метасоматическому изменению подверглись диоритовые породы в зоне Ундурлинского разлома в районе пос.Ушгуна, что привело к образованию гранитов, местами пересыщенных калишпатам, среди которых отмечаются реликтовые участки, сложенные диоритами.

Нной характер имеют взаимоотношения диоритов с порфировидными гранитами на севере района в поле преобладающего развития последних. Здесь диориты под углом к тнейсовидности срастания жилами порфировидных гранитов с 20-30-сантиметровой оговорочкой тибридных диоритов (водораздел рек Джелонды и Шахтайки). Мощность жил 1-3 м.

Примечания: 1 - Биотит-роговообманковый кварц-содержащий диорит, левый борт долины р. Инетри (В.В. Гольберг, 1964 г.); 2-4 - то же, водораздел рек Балковны и Ушакитлы (В.В. Гольберг, 1965 г.); 5 - порфириновый гранодиоритовый биотитовый гранодиорит, район ст. Натры (В.В. Гольберг, 1964 г.); 6 - биотитовый гранодиорит, левый борт долины р. Инетри в ее верховьях (коллекция та же); 7 - порфириновый лейкократовый биотитовый гранит, район ст. Урум (коллекция та же); 8 - порфириновый биотитовый гранит, верховье р. Инетри (коллекция та же); 9 - амфибол-лейкократовый гранит, гора Шпка (В.В. Гольберг, 1965 г.); 10 - биотитовый гранодиорит, правый борт р. Тадакан (В.В. Гольберг, 1964 г.); 11 - биотитовый гранит, гора Шпка (В.В. Гольберг, 1965 г.); 12 - биотитовый гранит, район ст. Урум (В.В. Гольберг, 1965 г.); 13 - лейкократовый гранит, район ст. Урум (В.В. Гольберг, 1964 г.); 14 - роговообманково-биотитовый кварцевый диорит, правый борт р. Тадакан (коллекция та же); 15 - то же, район ст. Урум (коллекция та же); 16 - порфириновый гранодиорит, р. Ивановка (А.А. Шадрин, 1959 г.).

Анализы выполнены в химической лаборатории ЦТГУ, анализ-тики Н.И. Серебрякова и У.М. Адер.

В состав диоритов входят основной олигоклаз-андезин (50-80%), зеленоваго-бурая роговая обманка и коричневаго-бурая биотит (1-28%), кварц (5-15%) и нерешетчатый микроклин (0-5%). Акцессорные минералы, по данным анализа шести протолочных проб, представлены магнетитом, сфеном, апатитом, цирконом (весьма содержания), лейкоксеном, ортитом, турмалином, тиритом, антимонитом, халькопиритом, гаггенитом, рутилом, сфалеритом, флюоритом (знаки).

По химическому составу диориты принадлежат к породам известково-щелочного ряда и наиболее близки к диоритам, входящим в кварцевые диориты и без кварцевых диоритов по Р. Дэли (табл. 1, анализ 1-4). Радиокристаллические породы - 8-14 мтр/ч.

Гнейсовидные роговообманково-биотитовые, биотит-роговообманково-гранодиориты развиты к северу от Ушуглинского разлома и непосредственно в зоне Урум-Имкендинского разлома на площади 820 км²; трондземиты, гранодиориты и плагиограниты занимают площадь около 240 км² в южной части Шилкинского хребта и на водоразделе рек Ушугли и Ушакитлы.

Повсеместно эти породы содержат скандиты нижепротерозойских биотитовых гнейсов (в плагиогранитах) и амфиболовых кристаллогранитов (в гранодиоритах и трондземитах), реже окварцованных мраморов с эпидотом и хондролитом, размером 1-10 см, редко 100 м. Вблизи ксеоидитов в гранодиоритах увеличиваются

содержание биотита и, особенно роговой обманки, уменьшается количественно и размер выделений калишпата, и породы переходят в кварцевые диориты, аналогичные описанным выше.

Гранодиориты характеризуются следующими признаками: а) неравномерность структуры, меняющейся от приматитической вершины до гранобластовой; б) неравномерность состава: отмечаются мономинеральные скопления биотита, кварца, реже калишпата; в) калишпат и кварц образуют порфириновые выделения (0,3-8 см) и интенсивно замещают плагиоклаз и фемическое минеральное; г) биотит развивается по роговой обманке; д) олигоклаз-андезин, часто развиты в виде зончатых микроклин. Акцессорные минералы, по данным анализа трех протолочных проб, представлены магнетитом, апатитом, ильменитом, сфеном (весьма содержания), турмалином, торитом, флюоритом, ортитом, транатом, халькопиритом, антимонитом, сфалеритом, цирконом, тиритом, молицитом, молибденитом, шеелитом (знаки). Трондземиты отличаются от вышеописанных диоритов повышенным содержанием кварца (15-25%), более кислым составом плагиоклазов и реакцией преобладания биотита над роговой обманкой. По химическому составу гранодиориты и трондземиты - породы известково-щелочного ряда, причем первая близки к гранодиоритам (см. табл. 1, анализ 5), а трондземиты к послекембрийскому граниту по Р. Дэли (анализ 6). Плагиограниты отличаются от трондземитов мелкозернистостью характера биотита и наличием крупных (до 0,3 см) округлых зерен темно-серого кварца, образующих скопления размером 1-2 см. Гранодиориты в отличие от трондземитов и плагиогранитов имеют пеструю розовато-серую окраску и содержат в серой среднезернистой основной массе порфириновые выделения розового калишпата размером 0,5-3 см, составляющие 5-20% породы.

Порфириовидные роговообманково-биотитовые граниты и гранодиориты вместе с предыдущими гранитоидами являются переходными от диоритов первой группы к гранитам второй группы и образуются в результате метасоматического преобразования диоритов. Они развиты к северу от Урум-Имкендинского разлома на площади около 100 км², а также полосой шириной 0,6-

7 км Окайлинт поля развития гранитов второй группы на правобережье р. Белого Урма. Постепенный переход от порфировидных гнейсовидных гранодиоритов к порфировидным массивным, реже слабовидными роговообманково-биотитовым гранитам происходит за счет уменьшения содержания темновесных минералов (роговая обманка при этом частично вытесняется биотитом) и увеличения содержания кварца (волоказел рек Белого Урма и Мал. Жипкога). Скалины встречаются редко и представлены в основном инъекционными толстыми микрититами биотитовых гнейсов.

Для гранитов характерны мелкозернистый биотит и крупные округлые зерна темно-серого кварца. Порфировидные выделения каппита (0,5-4 см) составляют 10-40% породы. Граниты отличаются от вышеописанных гранодиоритов более равномерным составом, массивной текстурой и типично рифнозернистой структурой. Среди акцессорных минералов, по данным анализа двух протолочных проб, в отличие от гранодиоритов присутствуют также таленит, вислоути, барит, анатаз, брукит. По химическому составу граниты - субэлювные породы и наиболее близки к граниту всех породов с уклоном к щелочному граниту по Р. Лени (см. табл. I, анализы 7-9). Радиоактивность пород 9-16, редко (граниты) до 30 мкр/ч.

Лейкокраповые, биотитовые граниты, реже роговообманково-биотитовые гранодиориты, часто гнейсовидные ($1\frac{1}{2}R_4$)

К породам второй группы относятся следующие образования, несколько разнящиеся друг от друга: порфировидные лейкокраповые и биотитовые, иногда с роговой обманкой граниты; гнейсовидные лейкокраповые с биотитом, мусковитом или роговой обманкой граниты и гнейсо-граниты; гнейсовидные лейкокраповые с биотитом граниты, роговообманково-биотитовые гранодиориты и гнейсо-граниты.

Порфировидные лейкократовые и биотитовые, иногда с роговой обманкой граниты занимают в низовьях р. Белого Урма площадь около 200 км² в ядре куполовидной структуры. Это массивные, редко гнейсовидные, средне- и крупнозернистые породы розовато-серого цвета. Полевые шпаты, кварц и мелкозернистая биотит часто образуют мононеравные гломорристаллические скопления. Порфировидные выделения розового каппита (0,5-2 см) и серого кварца (0,5 см) составляют 1-40% породы,

причем с уменьшением размеров "таблиц" каппита увеличивается содержание.

Постепенный переход этих гранитов в порфировидные граниты-гранодиориты первой группы наблюдается по эльвию на левобережье р. Пехтайки, при этом в гранитах на расстоянии 200-300 м уменьшается содержание кварца, количество и размер порфировидных выделений каппита, содержание биотита возрастает до 15-20%, повышается роговая обманка (до 5%), текстура становится чисто гнейсовидной. Визуи угловатых и округлых кеенолитов кристаллических сланцев и гнейсов образуется узкая оторочка гибридных мелко-среднезернистых роговообманково-биотитовых кварцевых диоритов и гранодиоритов с микросеенитами гнейсов (левый берег р. Белого Урма).

Граниты пересекаются дайками лейкокраповых гранитов, пегматитов и аplitов мощностью от 1 см до 10 м. Даяк очень много в участках, насыщенных кеенолитами сланцев, и почти нет среди лейкокраповых разновидностей гранитов.

Структура гранитов типично рифнозернистая до аплотриоритно-нозернистой. Минеральный состав: кееноморфный кварц с обильным угасанием (15-30%), серицитизированный олигоклаз (10-70%), микроклин (10-55%), зеленатово-бурий биотит (5-10%), замещаемый хлоритом или мусковитом. Акцессорные минералы представлены рудным, аплитом, пирконом, реже сфеном и зональным ортитом; последние два более характерны для гибридных пород, в которых появляются также синие-зеленые роговые обманки и более основанные плагиоклазы. Характерны микреликовые и пойкилитовые вростки кварца в плагиоклазах.

Граниты, по-видимому, являются результатом постепенного палингенного преобразования протерозойских пород, возможно с метасоматозом, приведшего к формированию гранитной эвтектики.

Гнейсовидные лейкократовые биотитом, мусковитом или роговой обманкой граниты и гнейсоотраниты слагают оvoidные, вытянутые в северо-восточном направлении, "массивы", выпячивающиеся согласно в структуре пород первой группы. Площадь "массивов" колеблется от 4 (верховья р. Лутии) до 45 км² (г. Палка, верховья р. Джиндия). Граниты средне- и мелкозернистые породы серого и розовато-серого цвета, часто порфировидные. Порфировидные выделения (0,5-1 см) каппита и кварца составляют 1-40% пород. Характерна крайняя неравномерность структуры, менайшен на протяжении первых сантиметров

ров - одноуго-десяти метров от мелкозернистой до среднезернистой, и текстуры (наличие гномерокристаллических скоплений кварца, полевых шпатов и биотита). Чешуйки последнего образуют также сложную вагитационную невыдержанную по простиранию миллиметровые полосы.

Граниты приурочены к центральным частям вышеупомянутых "массивов" и окаймляются гнейсо-гранитами, ширина отчетливо выраженной оторочки которых составляет 0,5-2 км (Шалкинский купол). Гнейсо-граниты поднимаются также среди гранитов близости Ксенодитов амфибол-биотитовых гнейсов. Граниты, как правило, резко сменяются гнейсо-гранитами, однако гнейсовидность в тех и других субпараллельна даже тогда, когда линия контакта наплавлена вкрест гнейсовидности. По внешнему облику гнейсо-граниты - гнейсовидные тонкопелосчатые лейкократовые с биотитом и роговой обманкой породы розовато-серого цвета, в которых на фоне мелкозернистой основной массы выделяются миллиметровые зерна темного кварца и таблица розового калишпата. Описываемые породы содержат плитчатые или веретенновидные склякиты (1 см - 100 м) гнейсов и сланцев, с преобладаванием которых связано формирование инъекционных и теневых митмагитов. В гнейсо-гранитах Шалкинского купола встречен также склякит кварцевых дюритов первой группы размером 30-40 м в поперечнике. Гранитоиды первой группы в экзоконтактах "массивов" гранитов второй группы пересекаются дайками лейкократовых и биотитовых гранитов мощностью 0,1-1 м, редко 10 м.

Описываемые граниты характеризуются аддитриоморфнозернистой, типичноморфнозернистой структурой с реликтами гранобластовой структуры, тонкопелосчатым расположением минералов, наличием раскисленного по периферии плагиоклаза, микроклин-перлита, разведывающего плагиоклаза и хлоритизированного биотита, а также обилием митмагитовых и пойкилитовых вростков кварца. В составе гранитов входят кварц (20-40%), олигоклаз (15-50%), калишпат (30-60%), зеленовато-бурый биотит (0,5-10%) и мусковит (до 5%). Акцессорные минералы представлены рудными, реже апатитом, цирконом, трансфомом и монацитом.

Гнейсо-граниты характеризуются гранобластовой, иногда пойкилобластовой структурой. По составу они аналогичны гранитам, добываемым лишь зеленый амфибол (0-5%), который замещен вазан из пород склякитов и замещается биотитом. Из акцессорных минералов отмечается рудный.

Описанные граниты и гнейсо-граниты, по-видимому, образовались в результате селективного плавления субстрата.

Гнейсовидные лейкократовые биотитом граниты, роговообманково-биотитовые гранитоиды и гнейсо-граниты слгают в верховьях рек Чонгола, Липоса и Сухого Урлучена фрагмент Унгурлученского тектонического блока площадью 50 км².

Биотитовые и лейкократовые гнейсо-граниты развиты по периферии блока в полосе шириной 1-2 км, они чередуются с гнейсовидными гранитами аналогичного состава и в северо-западном направлении постепенно сменяются последними. Граниты, в свою очередь, при движении на северо-запад в интервале 200-500 м переходят в биотитовые с роговой обманкой граниты, а затем в роговообманково-биотитовые граниты и гранодиориты.

Гнейсо-граниты представляют собой светло-серые, иногда порфиробластовые четко гнейсовидные мелко-, реже среднезернистые породы с сахаровидной основной массой, ориентированными полосками биотита (1-10%) и линзочками серого кварца. Порфиробласты серого кварца и розовато-серых полевых шпатов (3 мм-2 см) составляют 1-4% породы. Среди гнейсо-гранитов отмечаются многочисленные дайки аллитов, пелмагитов и мелкозернистых лейкократовых гранитов (10 см - 1 м), склякиты амфибол-биотитовых сланцев и реже кварцевых дюритов первой группы. Толщина склякитов - 0,1 м - 50 м, длина - 0,01-1 км.

При переходе от гнейсо-гранитов к среднезернистым лейкократовым гранитам гнейсовидность сменяется менее четкой, исчезают полосы биотита и увеличивается размер зерен (основная масса тернет сахаровидный облик). Уменьшается колличество и мощность даек пелмагитов, а в гранитах появляются пелмагидные обособления. Реликты и мелкие (0,1-1,5 м) склякиты сложены фельдшпалитизированными сланцами. Для лейкократовых и биотитовых гранитов серого цвета характерен ориентированный мелкочешуйчатый биотит и динзовидные скопления минералов, особенно дымчатого кварца.

При переходе от лейкократовых гранитов к роговообманково-биотитовым гранитам и гранодиоритам содержание кварца падает до 20%, а фемических минералов повышается до 15-20%, тернется гнейсовидность, появляются рогован обманка и единичные порфиробидные выделения калишпата (0,5-2 см), а затем они увеличива-

ваются в количестве и в размерах (до 5 см). Наряду с лещеко-видными скизалитами сланцев гранодиориты содержат шпировидные обособления фемических минералов. Дайки пегматитов редки.

Гнейсо-граниты имеют гранобластовую и лепидогранобластовую структуру. В их состав входят кварц (30-35%), олигоклаз, содержащий пойкилитовые и мirmekитовые вросстки кварца (20-45%), кацшплат-пертит, иногда с неясной микроклинной решеткой (10-40%), буровато-зеленый биотит (5%) и единичные чешуйки мусковита. Акцессорные минералы представлены апатитом, рудным и цирконом.

При переходе от гнейсо-гранитов к лейкократовым гранитам минеральный состав не меняется, а структура пород постепенно становится среднезернистой, эдотриоморфнозернистой до типично-морфозернистой. Но по-прежнему характерно неравномерное распределение минералов. Появляются микроскизалиты гнейсо-гранитов. В гранодиоритах структура становится призматическозернистой. Кацшплат-пертит (5-20%) слатает в них порфиоровидные выделения и содержит включения кварца, биотита, роговой обманки и раскисленного по периферии олигоклаза. Появляются короткопризматические кристаллы синевато-зеленой роговой обманки. К акцессорным минералам, свойственным гранитам, добавляется сфен. По химическому составу граниты близки к щелочному граниту по Р. Дали (см. табл. I, анализ 10).

Описанные породы сформировались, как видно из вышеизложенного, в результате интенсивного метасоматоза.

Поля развития всех перечисленных ультраметаморфических образований характеризуются спокойным слабо переменным магнитным полем (± 100 , редко до -300 гамм) и радиоактивным эффектом 10-12 мкр/ч, с локальными повышениями до 14-16 мкр/ч.

Описанные породы первой и второй групп являются продуктами единичного процесса ультраметаморфизма нижепротерозойских слюисто-метаморфических образований, что подтверждается наличием постепенных переходов и согласных контактов между всеми гранитоидными и метаморфическими породами. Доказательством тектонического их единства является также единое магнитное и гамма-поле (Лулин и др., 1965ф).

Обломки аморфов первой группы содержатся в ксенокlastовых фазных порфирах солоновской толши и в конгломератах куйтуновской и чаичинской свит. Гнейсо-граниты второй группы слатает ксенолиты в раннепалеозойских гранитах. Раннепротерозойский возраст описанных образований устанавливается на осно-

вании их полной аналогии с древнестанковыми гранитоидами Ойкено-Витимской горной страны.

Однако данные определения абсолютного возраста пород противоречат этому заключению (табл. 2, анализы I-4). Для кварцсодержащих диоритов абсолютный возраст равен 373 млн. лет, для трондэемитов - 295 млн. лет, для гранодиоритов - 270 млн. лет, а для лейкократовых гранитов Шалкинского купола - 361 млн. лет. Сложение возраста связано, по-видимому, с наличием палеозойских и мезозойских тектоно-магматических процессов.

РАННЕПАЛЕОЗОЙСКИЕ ИНТРУЗИИ

Лейкократовые и биотитовые граниты (гз Рз₁)

Эти граниты слатает два крупных трехлиных массива, приуроченных к Молога-Бушудейскому разлому на правобережье р. Инженды (Итхендинский массив площадью 40 км²) и на водоразделе рек Ургучена и Жикюса (Ургученский массив площадью 30 км²). Массивы вытнуты в субширотном направлении и имеют тектонические ограничения. Они сложены серыми, желтовато-серыми и буровато-серыми, массивными, средне-крупнозернистыми лейкократовыми и биотитовыми гранитами. Для гранитов характерны пегматитовый облик, шестигульчатая форма чешуек биотита и широкое развитие процессов мусковитизации. Породы Ургученского массива содержат ксенолиты раннепротерозойских гранитов (левый борг р. Ургучена). Вблизи ксенолитов граниты переходят в порфиоровидные четкие гнейсовидные труболосоцветы мелко-среднезернистые гибридные гранодиориты. В Итхендинском массиве сходные явления типичны на близком по р. Чагдонке в приконтактовой зоне шириной 0,5 км. Дайковые породы представлены мелкозернистыми лейкократовыми гранитами, пегматитами и апатитами, которых особенно много вблизи контактов. Мощности даек - первые метры.

Граниты имеют эдотриоморфнозернистую, типичноморфнозернистую структуру. В их состав входят кварц (30-40%), олигоклаз, разлагаемый кацшплатом (15-40%), микроклин-пертит и антипертит (20-40%), зеленовато-бурый биотит (5-10%) и мусковит, замещающий биотит (до 5%). Пойкитовые и мirmekитовые вросстки кварца многочисленны, иногда наблюдается перистый вторичный аддит. Акцессорные минералы представлены рудным и редко гранатом.

Абсолютный возраст

№ п/п	Номер образца	Порода	Место взятия образца
1	8055	Экотит-роговообманково-кварцосодержащий диорит	Левый борт долины р. Инелити
2	6112	Диоритовый трондхемит	Левый борт долины р. Инелити в ее верховьях
3	9012	Порфиroidный роговообманково-сиоитовый гранодиорит	Район ст. Нангару
4	Ш-1	Порфиroidный лейкогранит с сиоитом гранит	Гора Шапка
5	3	Очковые катаклазиты гранодиоритов	Правобережье р. Шилки в 1 км ниже устья р. Зарканы
6	4	То же	Правобережье р. Шилки в 1,1 км выше устья р. Лу-жанки
7	176/4	Роговообманково-сиоитовый гранодиорит	Правый борт долины р. Та-лаканы
8	6816	Слабо порфиroidный сиоитовый с роговой обманкой гранит	Левый борт долины р. Луги в среднем ее течении
9	1	Слабо порфиroidный сиоитовый гранит	Водопад падей Матгалки и Каменки
10	2	Петгелопидный гранит	Там же
11	17	Порфиroidный кварцевый диорит	Правый борт долины р. Куларки
12	18	Роговообманково-сиоитовый кварцевый диорит	Средняя падей Мал. Куларки и Петровки

ИНТРУЗИВНЫХ ПОРОД

Геолитический возраст (индекс)	Минерал, по которому возраст определяется (индекс)	K, %	Ar ⁴⁰	$\frac{Ar^{40}}{K^{40}}$	Возраст, млн. лет	Автор кол-лекции
$\delta_1 Pt_1$	Экотит	6,71	193,3	0,0229	373	В.В.Тольберг, И.Д.Чапкин и др., 1966 г.
$\delta_1 Pt_1$	"	5,92	128,6	0,0178	295	То же
$\delta_1 Pt_1$	"	6,31	124,3	0,0161	270	"
$\delta_2 Pt_1$	"	6,26	169,0	0,0221	361	"
$\delta_2 C$	"	4,72	49,3	0,0085	146	К.В.Вараксин и др., 1966г.
$\delta_2 C$	"	6,60	56,6	0,0070	122	То же
$\delta_2 Pt_1$	"	6,33	84,0	0,011	188	В.В.Тольберг, И.Д.Чапкин и др., 1966 г.
$\delta_2 Pt_1$	Гранит	2,67	41,0	0,0126	214	То же
δ_2	Экотит	7,20	71,0	0,0081	140	К.В.Вараксин и др., 1966г.
δ_2	"	6,97	64,0	0,00755	131	То же
$\delta_1 \delta_2$	"	6,93	87,5	0,0103	177	"
$\delta_1 \delta_2$	"	6,75	87,5	0,0106	183	"

Гранитоиды характеризуются переменным магнитным подем с ΔT +100 - 300 гамма и повышенной радиоактивностью (10-26 мкР/ч).

Описанные граниты содержат ксенолиты нижнепротерозойских метаморфических пород и раннепротерозойских гранитов. В свою очередь, они пересекаются дайками диоритов и лампрофиров средне-позднеюрского субвулканического комплекса, а также раннемиловыми (?) дайковыми порфирами. Непосредственно к северу от изученной территории В.С.Семенов и др. (1965 г.) установили прорывание гранитов Итыкендинского массива раннемезозойскими гранодиоритами. Эти данные, а также сопоставление с аналогичными породами, широко развитыми севернее (Зайков и др., 1965г), позволяют отнести описанные граниты к раннепалеозойским интрузивам.

КАМЕННУГОЛЬНЫЕ ИНТРУЗИИ

На лево- и правобережье р.Шиджи широко развиты гранитоиды, условно относимые к каменноугольной интрузии и сопоставляемые с породами второй и третьей фаз. Первая фаза на изученной территории не установлена.

Профиroidные гранодиориты, кварцевые диориты (182С)

Эти интрузии развиты на правобережье р.Шиджи в бассейнах рек Берикана (15 км²) и Половинки (22 км²).

Контакты их с вмещающими породами носят, как правило, тектонический характер, лишь в бассейне р.Половинки гранитоиды прорывают верхнепротерозойские образования анигинской свиты и, в свою очередь, прорываются среднеюрскими гранитами.

Профиroidные гранодиориты и кварцевые диориты - серые гнейсовидные среднезернистые роговообманково-сипитиовые и роговообманковые породы, содержащие большое количество согласных ксенолитов (10-15 см) мелкозернистых фельдшпатизированных гнейсов верхнепротерозойского (?) возраста. В зоне Шиджинского разлома они мигронитивированы, какаказированы и разгнейсованы.

Структура гранодиоритов и кварцевых диоритов типичноморфнозернистая с элементами гранобластовой. Они состоят из олигоклаз-эндазина, образующего профиroidные выделения (40-60%),

зеленозато-бурой роговой обманки (15-35%), коричневого биотита (5-10%), кварца (до 15%) и калишпата, интенсивно разрезанного плагиоклазом (15-5%). Акцессорные минералы представлены сфеном, апатитом, реже радиоактивным цирконом.

Описанные породы в левом борту долины р.Шиджи ниже устья р.Кары прорваны плагиогранитами третьей фазы комплекса.

Среднезернистые плагиограниты (103С) и гранодиориты (183С)

Эти породы слетают слабо эродированный, вытесненный в северо-восточном направлении массив на левобережье р.Шиджи в бассейнах рек Джанки, кары и пади Кулинды. Он ограничен со всех сторон разломами и при максимальной ширине 10 км и длине 28 км занимает площадь в 160 км².

Массив сложен преимущественно серыми среднезернистыми биотитовыми, биотит-мусковитовыми, мусковитовыми плагиогранитами и гранодиоритами со слабо гнейсовидной, реже массивной текстурой и типичноморфнозернистой структурой. Они связаны непосредственно переходами с гнейсовидными мелко-среднезернистыми роговообманково-биотитовыми и биотитовыми гранодиоритами, кварцевыми диоритами, средне-крупнозернистыми биотитовыми, лейкократовыми гранитами с порфиробластами калишпата (1-5 см) и средне-крупнозернистыми биотитовыми кварцевыми диоритами с такситовым распределением биотита. Формирование этих фазовых пород происходит вблизи ксенолитов гнейсов и сланцев атаканской и карбонатных пород биотринской (?) свиты.

Породы массива пересекаются многочисленными жилами и дайками анитов, пегматитов и мелкозернистых лейкократовых гранитов мощностью 1-10 см.

В состав гранитоидов входят кварц (20-25%), олигоклаз, разрезанный калишпатами (45-65%), ксеноморфный калишпат (5-30%), биотит (5-15%) и мусковит (0-10%). Последний образует как крупные кристаллы, так и мелкие чешуйки при замещении полевых шпатов и сипитиов. Акцессорные минералы, по данным анализа двух протоколочных проб, представлены цирконом, апатитом, ильменитом (весьма содержание), рутилом, торитом, сфеном, гранатом, молибденитом, шедлитом, сфалеритом, телленитом, пиритом и арсенопиритом (знаки). В гнейсовых породах увеличивается содержание биотита (10-20%) и повышается зеленая роговая обманка (5-35%),

а из акцессорных минералов, кроме выпечерчужденных — ортит, монацит (весовые содержания), ксенотим и анатаз (по данным анализа трех протолочных проб).

Возраст описанных пород устанавливается на основании следящих фактов. Платиограниты третьей фазы комплекса содержат ксенотимы пород алаканской и быстринской (?) свиты. Палька гранодиоритов и кварцевых диоритов второй фазы встречается в конгломератах усть-карокской свиты. Массивы этих пород являются частью широкого поля развития интрузивных образований "ундинского" комплекса в между речье Шитки и Размура, возраст которых устанавливается как каменноугольный на основании взаимоотношений с фаунистически окрахарактеризованными нижнекаменноугольными и нижнепермскими отложениями (Рутштейн, 1959ф). Описанные породы аналогичны образовавшим второй (гранодиориты и кварцевые диориты) и третьей (платиограниты) фаз этого комплекса. Абсолютный возраст гранодиоритов второй фазы 146 и 122 млн. лет (см. табл. 2, анализы 5,6). Ожидание, по-видимому, связано с наличием мезозойских тектоно-магматических процессов.

ТРИАСОВЫЕ ИНТРУЗИИ

Р а н н е м е з о з о й с к и й а м а н а н с к и й
и н т р у з и в н ы й к о м п л е к с

Интрузии амананского комплекса слагают на изученной территории 14 относительно крупных шлокообразных массивов и ряд даек, размещение которых контролируется Монголо-Охотским, Ун-дуртинским и Могоча-Бушудейским разломами. Шесть массивов сложены породами I и II фаз, а восемь — гранитами III фазы.

Роговообманково-биотитовые, биотит-роговообманковые

диориты (8,17га)

Диориты и таббро-диориты I фазы вместе с гранодиоритами II фазы образуют Ундуртинский шток площадью 1 км² (устье р. Ундурти) и слагают небольшой ксенолит в кварцевых диоритах Та-лакканского массива. Это — серые и темно-серые мелко- и среднезернистые породы массивной текстуры, примагматическвернистой и дамптрофировой структуры. В состав диоритов входят кварц (5-10%), зональный олигоклаз-андезит (55-70%), зеленоваго-бурий биотит

(15-20%), зеленая роговая обманка (5-15%), калишпат (до 5%)

и акцессорные минералы — апатит, ильменит, фен, циркон. В таббро-диоритах структура табброван, отсутствуют калишпат и кварц и пойкилотоп монацитный и ромбический пироксен (10-15%). Радиометричность диоритов 8-10 мкр/ч. По данным полуквантитативного спектрального анализа в породах I фазы чаще, чем в сходных по составу породах раннепротерозойского возраста, встречаются пробы с повышенными содержаниями бериллия (0,001-0,002%), ниобия (0,008-0,005%), олова (0,008-0,005%) и молибдена (сл. — 0,05%).

Прорывание описанных диоритов гранодиоритами II фазы комплекса наблюдается в левом борту р. Ундурти в скальном обнажении. Контакт четкий, извилистый. Гранодиориты содержат угловатые ксенотимы диоритов размером 0,5 см.

Среднезернистые роговообманково-биотитовые

гранодиориты (78,27га)

Гранитоиды II фазы амананского интрузивного комплекса слагают шесть шлокообразных массивов: Ундуртинский, Уромский, Та-лакканский (1-10 км²), Чагчинский (5 км²), Адамшинский (4 км²) и Анский (4 км²). Они имеют оvoidную форму и выгнуты в северо-восточном направлении.

Анский (правобережье р. Ундурти), Уромский (левый борту Белого Урла), Чагчинский и Талакканский штоки сложены серыми и темно-серыми среднезернистыми роговообманково-биотитовыми гранодиоритами и кварцевыми диоритами с массивной, реже тейн-совидной текстурой и примагматическвернистой структурой. Они содержат изометричные ксенотимы протерозойских фельдшпатамированных связцев, реже плейсов и гранитоидов. Гранодиориты Адамшинского штока отличаются пестрой окраской и часто переходят в праносиелиты, которые в узкой (5-6 м) эндоконтактовой зоне становятся более мелкозернистыми. Выпадающие андезитовые порфириты куйгунской свиты окварцовывались и ожелезнячивались. Гранитоиды пересекаются дайками розовых граноидов. Пискокость восточного контакта Адамшинского штока наклонена в сторону массива под углами 30-40°, а западного — близка к вертикальной. Гранодиориты Ундуртинского штока (устье р. Ундурти) также имеют пестрый облик и переходят часто в граниты. Дайковые образо-

Важна этого массива представлены перидотитовыми и разнообразными лейкократовыми гранитами. Мощность даек и жил I-10 см.

В состав гранодиоритов, кварцевых диоритов входят ксеноморфные зерна кварца (10-15%), неперенасыщенные табулиты олигоклаза (45-65%), ксеноморфные зерна калишпата с неясной микроклиновой решеткой (5-15%), зеленоватого-бурого чешуйчатого биотита (10-15%) и зеленые призматические рождовой обманки. Переход в гранодиорит связан с замещением плагиоклаза калишпата. Акцессорные минералы многочисленны (до 5%) и представлены сфеном, магнетитом, ильменитом, аланитом, ортитом, цирконом (всегда соедржания), флюоритом, пиритом, торитом, уранитом, молибденитом, шеддитом, сфалеритом, галениитом, висмутитом (знаки). Циркон призматический-пиралитовый в отличие от округлых цирконов возрастает. По химическому составу гранодиориты относятся к породам известково-щелочного ряда с уклоном к субщелочным и являются близки к кварцевому монциониту и гранодиориту по Р.Дэли (см. табл. I, анализ II).

Для пород II фазы характерно магнитное поле повышенной интенсиности с ΔT от +100 до +300 гамм и радиоактивность 12-14 мкр/ч.

Гранодиориты Урмского штока пересекаются дайками лейкократовых гранитов III фазы аманьковского комплекса (левый борд р. Белого Урала).

Лейкократовые, биотитсодержащие и мусковит-

биотитовые граниты (Т.П.2а)

Породы III фазы аманьковского интрузивного комплекса состоят из восьми крупнокристаллических массивов неправильной округлой формы площадью от 4 до 80 км² и ряд более мелких штокв и даек. Они приурочены к Монголо-Охотскому (Чача-Дутинский, Топкинский, Пильненский штокв) и к Могоча-Бундуйскому (Челдинский, Шадуринский, Урмский, Ундуртуевский и Такаванский массивы) разломам и вытнуты в северо-восточном и субширотном направлении. Контакты с вмещающими породами чаще всего нормальные интрузивные с крупными углами падения как в сторону массива, так и от него.

Эти трехчленные интрузии сложены довольно однообразными розовато-серыми пестрого облика среднетвердыми лейкократовыми с биотитом, биотитовыми и мусковит-биотитовыми гранитами. Для

них характерно относительно равномерное распределение минералов, крупные ильменитовые чешуйки биотита, серый цвет и штифтообразная окраска зерен кварца. Граниты Урмского массива имеют инвертированный облик. В Чача-Дутинском массиве присутствуют гибридные разновидности гранодиоритов и гранодиоритов, содержащие многочисленные ксенолиты нижнепротерозойских гнейсов и сланцев. В Урмском, Чача-Дутинском и Пильненском штоквах широко проявлены процессы обречкования, кварца и микронитризации с окварцеванием, мусковитизацией, каолинизацией и частичным стеклованием.

Эпикристалловые изменения в Пильненском штоке выражаются в появлении мелких ксенолитов нижнепротерозойских пород и типичных разновидностей гранитов. В Чача-Дутинском массиве эпикристалловых фаций шириной 2 км представлена гранодиорит-порфиритовая, через гранит-порфирит постепенно переходящими в среднезернистые лейкократовые граниты. Непосредственно в контакте вмещающие гнейсы инфильтруются прожигками лейкократового гранита (Чача-Дутинский и Урмский массивы).

Граниты III фазы характеризуются аллотриоморфнозернистой, реже гилитоморфнозернистой структурой, образованной калишпата-перидитом ксеноморфных зерен, появлением микроклиновой решетки в динамометаморфизованных разновидностях, обилием микрелетов и пойкилов кварца и замещением флюорит-бурого биотита хлоритом. В состав пород входят кварц (30-50%), олигоклаз (20-40%), калишпат (10-40%), биотит (0-15%), мусковит (0-5%) и зеленые призматические амфиболы (0-5%). Акцессорные минералы, по данным анализа четырех протоочных проб, представлены магнетитом, пирроном, аланитом, сфеном, ильменитом (всегда соедржания), флюоритом, торитом, молибденитом, анастазом, рутиллом, уранитом, гранатом, хурмалитом, молибденитом, касситеритом, сфалеритом, галениитом, пиритом, халькопиритом, висмутитом, бисмутитом, антимонитом, корундом, иттрием и топазом (знаки). Отличия от близких по составу более древних гранитов: чаще встречается галенит; пирроном присутствует призматический-пиралитовый облик кристаллов; повышенная (10-25 мкр/ч) радиоактивность. По химическому составу граниты - известково-щелочные породы, близкие к гранитам всех периодов по Р.Дэли (см. табл. I, анализ II), до субщелочных, близких к кварцевому кератофиду по Дэли (анализ III). По данным полуколичественного спектрального анализа для гранитов III фазы, как и для пород первых двух фаз, по сравнению с более древними породами характерны пробы с повышенными содер-

жидкими бериллины и иксибия и, кроме того, повышенные содержания свинца (0,003-0,05%) и итрия (следы - 0,03%).

Дайковые образования предоставлены пегматитами, аплитами и мелкозернистыми лейкократовыми, биотитовыми гранитами. Мощность даек от I см до 10 м, простирание преимущественно северо-восточное.

Для гранитов III фазы характерно переменное магнитное поле с ΔT от -100 до +100, реже +500 гамма (Чауче-Дугтинский массив). Возраст описанных пород устанавливается на основании следящих фактов. Лейкократовые граниты Ундуртинского штока связаны кенозиты в верхнедревских кварцевых дюритах (правый берег р.Талакана). Граниты Урумского штока пересекаются дайкой раннемеловых (?) андезитовых порфиритов. Абсолютный возраст гранодиоритов II фазы (Талаканский массив) 188 млн.лет, гранитов III фазы (Чауче-Дугтинский массив) - 214 млн.лет (см.табл.1, анализы 7 и 8). Описанные породы сходны с гранитоидами трехфазных интрузивных амганского комплекса севера Читинской области (Озерский и др., 1964), возраст которых условно принимается триасовым, чему не противоречат приведенные выше данные о предельной абсолютного возраста пород.

СРЕДНЕУРСКИЕ ИНТРУЗИВЫ

Биотитовые и лейкократовые граниты (Г₁₂)

Эти граниты образуют три конкордантных массива округлой формы среди Верхнепротерозойских метаморфических пород на правобережье р.Шидли. Наиболее крупный из них - Беренский (30км²) расположен на водоразделе рек Берей и Магдалики, а два других (2 и 1 км²) на водоразделе р.Половинки и пади Каманки и на правобережье пади Ункова.

Беренский массив сложен светло-серыми, слабо порфировидными средне-мелкозернистыми биотитовыми до лейкократовых гранитами, четко гнейсовидными по периферии, массивными в центре плутона. В гранитах Беренского массива гнейсовидность, связанная с ориентировкой многочисленных ксенолитов биотитовых гнейсов аникинского свиты, обусловлена субпараллельной ориентировкой чешуек биотита, реже порфировидных выделений калишпата и линзовидных зерен дымчатого кварца. Плотность ориентированных текстур и контактов субпараллельны и ориентировка первых свидетельствует об асимметрии Беренского массива. На 39-

паде его контакты падают подлого (10-20°), а на востоке дольдно криво (до 40-80°) в сторону вмещающих пород. В эвдократовой зоне шириной 300-500 м граниты более мелкозернистые и обогащены биотитом. В экзоконтактовой зоне шириной 2-4 км развиты изобильные микатиты. Дайковые образования представлены многочисленными жилами и прожилками пегматитов с биотитом и магнетитом.

Среднеурские граниты характеризуются аплитоморфозернистой структурой. В их состав входят кварц (20-30%), олигоклаз (наиболее идиоморфен), часто с микрокритами (40-55%), микроклин-пертит, развешенный плагиоклаз (20-40%), темно-серый биотит (0-5%), мусковит и роговая обманка. Актессорные минералы, по данным анализа двух протолочных проб, представлены малахитом, цирконом, сфеном, пиритом (весовые содержания), ортитом, монацитом, анатазом, рутилом, апатитом, гранатом, молибденитом, талевитом и ильменитом (знаки). Абсолютный возраст этих гранитов (2 пробы) 140 и 131 млн.лет (см.табл.2, анализы 9 и 10).

Описанные породы по внешнему облику, характеру изменений на контакте и структурному положению (примочность к зоне Монголо-Охотского разлома), аналогичны среднеурским гранитам Аникинского плутона района с.Аникина (Шульдинер, Лисак, 1965; Шевфиль, Чацкис, 1963ф).

Средне-позднеурские интрузивы

Средне-позднеурский интрузивный комплекс представлен дайками дюритовых порфиритов (8м²-3), мелкозернистых дюритов (8м²-3), гранит-порфиритов (Г₁₂-3), гранодиорит-порфиритов (8м²-3) и граноанеми-порфиритов (Г₁₂-3), пруроченных к основной ветви Монголо-Охотского плутонового разлома, Ундуртинскому и Могоча-Бушудейскому разломам. Особенно много даек в подлесе шириной 15-20 км впади р.Белого Урма. Они образуют здесь "ров", состоящие из субпараллельно ориентированных даек (правобережье р.Дедлонки, пади Сота). В зоне Могоча-Бушудейского разлома преобладают северо-восточные до субпроточные простирания даек, падения юго-восточные. В расположении даек обнаруживается четкая связь с мелкими сбросами, зонами катаклизма и брекчирования.

Обобщение данных показало, что преобладают дайки зеленого-серых диоритовых порфиров и диоритов мощностью 0,2-3 м (мода - 1-2 м), падение вло-восточное и северо-западное. Углы падения колеблются от 35° до 85°, а модальные их значения - 50-60°.

Эти породы по структурному положению и составу сходны со среднепозднеюрскими дайковыми образованиями севера Читинской области. Дайки описанных пород пересекают раннепротерозойские трахитоиды, а также раннемезозойские гранодиориты (левый борт р. Удугун). В свою очередь, верхнеюрские эффузивы в районе пос. Ушачина содержат ксенолиты мелкозернистых диоритов, сходных с вышеописанными.

ПОЗДНЕЮРСКИЕ ИНТРУЗИИ

А М У Д Ж И К А Н С К И Е И Н Т Р У З И В Н Ы
К О М П Л Е К С

К амуджинскому комплексу относятся триединные интрузии типобесадьинского облика, в составе которых выделяются две фазы.

Роговообманково-сиотитовые кварцевые диориты ($\delta_{12}J_{3am}$),
гранодиориты ($\gamma_{\delta_{12}J_{3am}}$)

Породы I фазы слоятся небольшие штоки площадью 0,2-18 км² в пределах пологих северо-восточного направления вдоль основной ветви Монголо-Охотского глубинного разлома. Кроме того, дайки этих пород субмеридионального простирания мощностью 1-400 м образуют "рой" на правобережье р. Белого Урда в районе ст. Урда.

Наиболее крупный карийский шток (тадь Найденька) вытекает в субширотном направлении на 6-7 км при ширине 3 км. Другие штоки расположены в районе пос. Бутана (Бутанский), по падению Архе, Хаповка, Далине, в среднем течении р. Дужанки и в устье р. Ульдугунч. Слагающие штоки и дайки гранодиориты, кварцевые диориты-зеленоватые-серые и иногда порфировидные роговообманково-сиотитовые, сиотит-роговообманковые породы имеют массивную текстуру. Для этих пород в отличие от диоритов и гранодиоритов более древнего возраста характерен пидиоморфизм породообразующих минералов. Типовидная текстура наблюдается в оро-

тит-роговообманковых диоритах эпоконтинентальной зоны Карийского и Бурянского штокв шириной 0,1-0,5 км. В Карийском штоке плоскость типовидности согласуется с направлением контакта, и ее ориентировка свидетельствует о падении массива на северо-запад под углами 50-80°, что подтверждается также данными аэро-магнитных наблюдений.

Породы I фазы содержат овальные и угловатые ксенолиты фельдшпатизированных метаморфических пород.

Структура пород преимущественно зернистая до пойкилитовой: пидиоморфные кристаллы непрерывно- или ритмически-зонального олигоклаза (30-60%), бледно-зеленой роговой обманки (10-25%) и коричневатого-бурого сиотита (5-15%) вкраплены в более крупные ксеноморфные зерна кварца (10-15%) и калишпата (5-20%). Акцессорные минералы, по данным анализа двух протолоочных проб, представлены магнетитом, ильменитом, апатитом, цирконом, пиритом, халькопиритом (везовые содержания), анатазом, рутилом, флюоритом, молибденитом, сфалеритом, таленитом и сфеном (знаки). Для пород I фазы характерна радиоактивность 8-15 мкр/ч. По химическому составу кварцевые диориты-щелочные породы, близкие к сиениту и монциниту по Р. Дали (см. табл. I, анализы 14, 15).

Порфировидные и типантопорфировидные роговообманково-сиотитовые гранодиориты ($\gamma_{\delta_{21}J_{3am}}$) и граниты ($\gamma_{21}J_{3am}$)

К интрузивным II фазы амуджинского комплекса относятся Кара-Чагинский и Ульдугунский штокобразные массивы, причисленные к основной ветви Монголо-Охотского глубинного разлома. Кара-Чагинский массив расположен в верховьях таядей Болочин, Ивановки, Даратухинки и р. Кары и вытекает в северо-восточном направлении на 15 км при ширине 8-10 км (120 км²). Массив круто наклонен на вло-восток (60°-70°). Северо-западный его кон-такт осложнен сбросом, а вло-восточный - надломом, плоскость которого падает на северо-запад под углом 20°-30°.

Массив сложен серыми порфировидными гранитами и гранодиоритами, для которых характерны типобесадьинский облик, пидиоморфизм породообразующих минералов, округлая и бипирамидальная форма зерен кварца и равномерность состава основной массы. В структурном отношении они подразделяются на несколько фазовых разновидностей. В северо-западной части массива развиты типантопорфировидные роговообманково-сиотитовые гран-

ны, реже гранодиориты с крупно-среднезернистой серой основной массой и двумя генеральными вскрытиями: крупными (7-12 см) габритами калишпата и округлыми выделенными кварца (0,5-2 см), а также менее крупными габритами калишпата, платюклага и призматомоговой обманки (0,5-7 см). Юго-восточную часть массива габриты порфиритовые роговообманково-биотитовые гранодиориты с серой мелко-среднезернистой основной массой и порфиритовыми выделениями калишпата, кварца и платюклага (0,5-7 см). К северо-западному контакту плутона приурочены гранит-порфириты и гранодиорит-порфириты с двумя генеральными вскрытиями и розовато-серой мелкозернистой основной массой. Переходы между выделенными разновидностями постепенные.

Вскрытиями составляют 5-10% объема породы в порфиритовых гранитах и до 20% в гранодиоритах. Они распределены равномерно, но иногда образуют иglomerопорфиритовые скопления. Субпараллельная ориентировка их и части фемических минералов обуславливает плантарельдельную текстуру пород. В гитантопорфиритовых гранитах плантарельдельная текстура слабее выражена. В плоскости плантарельдельной текстуры ориентированы округлые или угловатые ксенолиты диаметром до 1 м мелкозернистых биотит-амфиболовых дигристовидных пород. Особенно много ксенолитов в эндоконтактах массивов. Вблизи ксенолитов граниты обоглащаются фемическими минералами. Экзоконтактовое воздействие гранитовидов Кара-Чачинского массива выразилось в роговообманковом порфиритовом свитзе.

Ульдутичинский массив имеет площадь 13 км² и расположен в низовьях р. Ульдутичи. Он вытянут в северо-восточном направлении. Плоскости контактов круто наклонены в сторону вмещающих пород. Массив сложен розовато-серыми порфиритовыми среднезернистыми роговообманково-биотитовыми и биотит-роговообманковыми гранодиоритами, редко гранитами с массивной текстурой. В эндоконтактовой зоне мощность 100-700 м среднезернистые биотитовые гранодиориты переходят в габрипорфиритовидные мелкозернистые биотит-роговообманковые дигристы. Напосредственно на контакте отмечаются интрузивные брекчии, состоящие из угловатых обломков раннепротерозойских габбро, кварцевых дигристов и мигматитов, сменитированных меланократовыми дигристами.

В состав среднезернистой типидиоморфнозернистой основной массы описываемых гранитов входят кварц (10-20%), зональный олигоклаз (50-70%), калишпат-пертит (10-25%), темно-бурый биотит (10-15%) и бледно-зеленая роговая обманка (5-15%). Круп-

ные выделения калишпата содержат грубые полюсы пертитов и реликтовые зерна олигоклаза (иногда в сочетании с кварцем), реже биотита и роговой обманки. Акцессорные минералы, по данным анализа трех пробоочных проб, представлены магнетитом, сфеном, цирконом (весьма содержанием), ортитом, торитом, апатитом, графитом, молибденитом, шелифом, сфалеритом, талевитом, пиритом и арсенопиритом (знаки). По химизму гранодиориты - субщелочные породы и близки к кварцевому монцимову по Р. Дали (см. табл. 1, анализ 16). Для гранитовидов II фазы характерно довольно спокойное магнитное поле с $\Delta T \pm 100$ гамм и радиомактвность 12-20 мкр/ч.

Жильные образования Кара-Чачинского массива представлены многочисленными дайками серых, розовато-серых гранит-порфиритов ($\gamma_2 J_{3am}$) и гранодиорит-порфиритов ($\delta_2 J_{3am}$), напоминающих порфиритовые фации гранитов, но с еще более мелкозернистой основной массой. Мощность их - 1-20 м, простираются простирание северо-восточное, наклон северо-западное под углами 70-80°. Реже встречаются дайки светло-серых мелкозернистых гранитов и серых мелкозернистых дигристов ($\delta_2 J_{3am}$) мощностью до 1 м. Широко распространены дайки габридных кварцевых дигристовых порфиритов ($\delta_1 J_{3am}$) с опалевшими кристаллами полевых шпатов и кварца, тяготеющие к зоне катаклаза и мигматизации, проходящей в северо-западной части массива. Мощность даек габридных пород 0,1-10 м, протяженность 8 м - 2 км, простирание субмеридиональное, наклон как на северо-запад, так и на юго-восток под углами 60-70°. Отмечаются случаи взаимного пересечения даек дигристовых порфиритов и гранит-порфиритов. Гранитовиды пересекются также кварц-турмалиновыми жилами и прожилками мощностью 1 см - 3 м, приуроченными к северо-западной части массива.

Возраст описанных пород устанавливается на основании следущих фактов. Гранодиориты и кварцевые дигристы I фазы комплексов роговообманковидат альврититы куйтунской свиты (Куйтунский массив - падь 2-я Кидчевая) и содержат ксенолиты раннепротерозойских гранитов (правобережье р. Белого Урда). В свою очередь, в районе ст. Урда они пересекаются дайкой раннемазовых (?) кварцевых порфиритов. По структурному положению, химизму и внешнему облику описанные гранитовиды аналогичны развитым севернее породам 2 фазы верхнепротерозойского комплекса (Озерский и др., 1964), а граниты и гранодиориты, кроме того, - гранитовидам Братского массива, проявляющим флюористически охарак-

Термозаванные ниже-среднеюрские отложения у г. Стетевска (Шен-фильд, Чацис, 1962ф). Абсолютный возраст гранодиоритов Буганского шюка 177-188 млн. лет (см. табл. 2, анализы II и I2), а порфировидных гранитов Кара-Чачинского массива 150 млн. лет (Ладри и др., 1962ф), что соответствует средней - верхней дре.

РАННЕМЕЛОВЫЕ (?) ИНТРУЗИИ

Раннемиловые интрузии представлены дайковыми порфитами (ГтСт₁), гранодиорит-порфитами (ГдСт₁), реже андезитовыми порфитами (аиСт₁), кварцсодержащими порфитами (АтСт₁) и диабазами (дмСт₁).

Порфициты и порфиры развиты в зоне Могоча-Бушудейского разлома и образуют прослые и сложные дайки мощностью 0,2-30-100 м, а также своеобразные "штоки", состоящие из обломков раннепротерозойских гранитов размером от 1 см - 10 м до 100 м, сменитированных многократно внедрившимися субвулканическими образованиями (Усть-Ундуртинский "шток"). Простирание большинства даек северо-восточное до субширотного, падение на юго-восток и северо-запад под углами 50-80°.

Среди субвулканических образований преобладают серые с сиреневатым и зеленоватым оттенком дайтовые порфиры, в Усть-Ундуртинском "штоке" связанные поослепными переждками с темными андезитовыми порфитами и розовато-серыми кварцсодержащими порфитами. Они пересекаются дайками темно-зеленых андезитовых до диоритовых порфитов с четкой линейной текстурой, которые, в свою очередь, пересекаются дайками розовых гранофиридов и алитов мощностью до 60 м (вызовья р. Ундурти). Дайки и "штоки" фиксируются локальными магнитными аномалиями с ΔТ 300-500 гамм. В геохимическом отношении, по данным полуколичественного спектрального анализа, дайковые порфиры отличаются от сходных пород куйтунской свиты повышенными содержаниями цинка (0,008-0,050%) и олова (0,003-0,005%).

Описание описанных пород к раннемиловым интрузиями основано на том, что они прорывают гранодиориты I фазы верхнеюрского амуджиканского комплекса (левый борт пади Темной, район ст. Урма).

Темно-зеленые массивные диабазы слатают руд даек северо-западного простирания в районе пос. Усть-Карска и в вызовьях

р. Берен. Дайки падают на северо-восток и юго-запад под углами 65-80°. Наиболее крупная из них протяженностью 2 км имеет мощность 300 м (вызовья р. Жерона). Диабазы прорывают породы нижних горизонтов усть-карской свиты, в результате чего перекиристаллизуются обломки кварца и серицитизируется цемент песчаников в зоне мощности 3-5 см. Дайка диабазов обнаружена в континентальных шилкинской свиты.

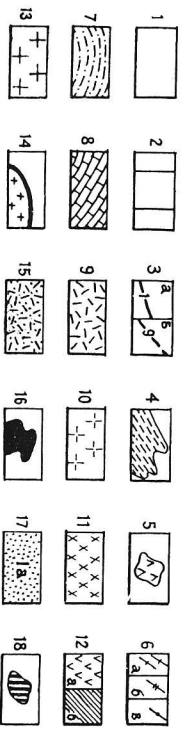
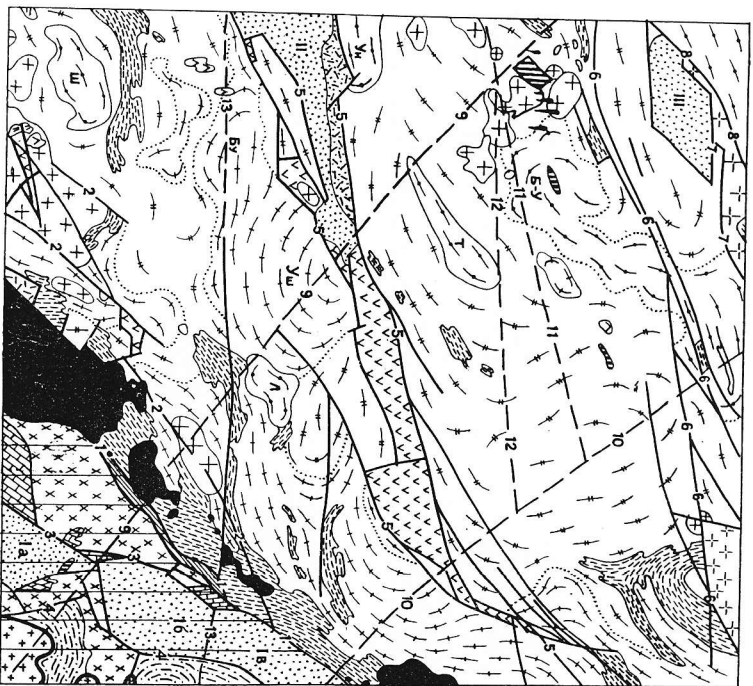
ТЕКТОНИКА

Изученная территория расположена на стыке Пришилкинской зоны области раннепротерозойской складчатости и Боршовочной зоны Монголо-Охотской области палеозойско-мезозойской складчатости (Старченко и др., 1966). Эти зоны разделяются основной ветвью Монголо-Охотского глубинного разлома, которая протягивается в 6-10 км севернее р. Шилки и играет роль структурного шва (см. рисунок).

В Пришилкинской зоне, расположенной к северу от структурного шва, резко преобладают протерозойские магматические и метаморфические геосинклинальные образования. В последпротерозойское время в связи с процессами тектоно-магматической активизации здесь формируются орогенные эффузивно-осадочные толщи средне-верхнепалеозойской куйтунской свиты, каledonские и мезозойские трещинные и субвулканические интрузии гранитоидов. В позднем мезозое в этой зоне закладываются Ундуртинская и Жидикостинская трабено-сиклинали, выполненные конгитентальными вулканотенными модалсами.

Пришилкинская зона по геодизическим данным (Мастюлин, Огородников, 1966ф) относится к Нерча-Урмской аномалийной зоне, характеризирующейся повышенным уровнем магнитного поля с преобладающим отрицательных, близких к нулю, значений надпрежностью магнитных аномалий (200-300 гамм) и средним уровнем гравиационного поля.

В Боршовочной зоне, расположенной к югу от структурного шва, развиты верхнепротерозойские - нижнемеловые геосинклинальные образования, имеющие площадное распространение, и средне-верхнепалеозойские молаосовые отложения куйтунской свиты. Для магматизма этой зоны характерно развитие каменноугольных и среднеюрских интрузий. В верхнеюрское - раннемиловое



Тектоническая схема. Составил И.Д.Чапкин

1 - Пришлунская зона области раннепротерозойской складчатости; 2 - Боршочунская зона Монголо-Охотской области палеозойско-мезозойской складчатости; 3 - Давыдкитинские нарушения; 4 - До-Стоверные; основная ветвь Монголо-Охотского глубоководного разлома (I-1), Чагинский (2-2), Кардский (3-3), Шилкинский (4-4), Унтургинский (5-5), Урды-Итхендинский (6-6), Марварундинский (7-7) и Урды-Итхендинский (8-8) разломы; 5 - предполагаемые: Кара-Талаканский (9-9), Черненский (10-10), Шахтакинский (11-11), Толкакинский (12-12) и Лужанкинский (13-13) разломы; 4-6 - разломы в пределах розовых и структурно-формационных комплексов; 4 - нижний протерозой, геосинклинальные образования, 5 - раннепротерозойские дооросенные интрузии среднего и основного состава; 6 - раннепротерозойский комплекс ультра-метаморфических синоросенных образований; 7 - диориты I стадии, 6 - гранодиориты и граниты первой группы; 8 - граниты второй группы, купола: Ш - Шилкинский, Д - Лужанкинский, Ун - Унтургинский, Бу - Булакский; 7-10 - породами протерозоя и структурно-формационный комплекс: 7 - верхний протерозой, геосинклинальные образования Лубинской и анкинской свит, 8 - нижний кембрий, субтеосиан-клинальные карбонатные породы быстринской (?) свиты, 9 - верхний протерозой - нижний кембрий, субплатформенные эффузивы солонцовской толщи; 10 - раннепалеозойские трещинные интрузии гранитов; 11 - раннепалеозойские интрузии гранитов; 12-13 - среднепалеозойские интрузии гранитов; 14 - палингенные граниты среднеюрского возраста; 15-16 - породами в розовых и структурно-формационных комплексах; 15 - верхнеюрские эффузивы; 16 - позднеюрский амфиболовый интрузивный комплекс габбро-диорит-гранодиоритовой группы Формации; 17-18 - породами в розовых и структурно-формационных комплексах; 17 - верхняя дра-нижий мед, депрессионные образования, Усть-Карская впадина (на схеме): 1а - Усть-Карская муфта, 1б - Лужанкинская муфта, 1в - Кударкинская муфта, 1г - Унтургинская впадина; 18 - раннепалеозойская впадина, 18 - раннепалеозойская интрузия

Время в Усть-Карской грабен-синклинали формируются континентальные вулканогенные молассы.

Борщовочная зона по геофизическим данным (Масгудин, Огродников, 1966ф) относится к Приуральской аномальной зоне, характернейшей среди уровней магнитного поля, максимумом грабентационного поля и напряженности магнитных аномалий в 300-500 гамма.

В соответствии с последними этапами осадконакопления, магматизма и складчатости в пределах изученной территории выделяется семь структурно-формационных комплексов: раннепротерозойский, позднепротерозойский - раннепалеозойский, среднепалеозойский, среднепалеозойский - триасовый, среднеуральский, позднеуральский - раннемеловой.

Образования раннепротерозойского структурно-формационного комплекса развиты в Прикамьинской зоне и представлены метаморфогенными породами, характер которых по-прежнему говорить о том, что в нижнем протерозое здесь существовали геосинклинальные условия и шло накопление мощных вулканогенно-осадочных толщ. К палеогенным комплексам этого комплекса относятся доорогенные интрузии среднего-основного состава, за которыми последовало формирование синорогеновых гранитоидов, близких к формации магматитов и анатектических гранитоидов по классификации Ю.А.Кузнецова (1964). Для образованных в нижнем протерозое характерны структура типа гнейсовых валов и куполов. В качестве структурного элемента первого порядка выделяется Шилкинский вал, прослеживающийся в северо-восточном направлении через всю территорию листа. Ширина этой структуры около 60 км. В северо-западной части листа располагается фронтмент Угтургученского вада (Зайков, 1965ф).

Преобладавшие в пределах Шилкинского вада восток-северо-восточные простирания гнейзовидности в пологой шириной 20-30 км в долине р.Черной разворачиваются в близмеридиональном - северо-западном направлении, образуя в плане флексуобразный изгиб. Внутреннее строение Шилкинского вада осложнено развитием куполовидных, иногда вадобразных структур второго порядка. Отчетливо выделяются Шалкинский, Лукинский, Угтургуцкий, Топкинский и Бело-Уральский куполы, ядра которых сложены гранитами, а также Ушлуновский, Булакский и ряд более мелких куполов без гранитных ядер. Эти структуры обычно ориентированы в восток-северо-восточном направлении. Размеры куполов колеблются от 6-10х2-4 км (Шалкинский, Лукинский, Топкинский и др.) до

15 х 6 км (Бело-Уральский). Бело-Уральский купол образовался, по-видимому, за счет "глининя" более мелких структур. Угли падения плоскости гнейзовидности на крыльях куполов обычно крутые (60-80°), без заметного выполаживания к ядрам. Строение куполов в общем симметричное, но в отдельных случаях наблюдается асимметрия, как например, в вго-западной части Бело-Уральского купола, где крылья падают в восточных и вго-восточных румбах. Строение куполов может быть проиллюстрировано на примере Шалкинского купола. Его ядро, имевшее размеры 3 х 6 км, сложено в центре лейкократовыми гранитами и окаймлено полосой гнейсо-гранитов, имевшей ширину от сотен метров до 1 км. Плоскости гнейзовидности гнейсо-гранитов падают, как правило, в сторону периферии купола под углами 60-80°, редко до 40°. Крылья купола сложены гнейзовидными гранодиоритами, насыщенными мелкими сквандитами нижнепротерозойских кристаллических сланцев и гнейсов. По периферии купола в его северной части развиты кристаллические сланцы и гнейсы нижнего протерозоя. Плоскости гнейсовидности и слонности в них субнаправлены таковыми в гранитоидах ядра купола. Угли крутые (60-80°).

Описанные структуры в общем имеют большое сходство с известными по литературе данным магматогенными и метаморфогенными глубинными комплексами.

Позднепротерозойский район представлен структурно-формационным комплексом, образованным верхнепротерозойскими и нижнекембрийскими образованиями, развитыми преимущественно в Борщовочной зоне. Их-за фрагментарного характера развития этих образований их структуры могут быть реконструированы в самых общих чертах. По правобережью р.Шилки сохранились фрагменты складчатых структур верхнепротерозойских образований, имевших северо-восточное простирание и пологие углы падения (10-25%). На левобережье р.Половинки породами анкинской свиты сложен фронтмент (периклиналиное замыкание) антиклинальной складки близмеридионального простирания с пологими углами падения на крыльях (10-20°), осложненными в ряде случаев мелкими складками высшего порядка. По левобережью р.Шилки гнейсы и сланцы алтаевской свиты и карбонатные породы быстринской (?) свиты охранялись преимущественно в виде небольших кенолитов среди каменноугольных интрузий. Эти отложения сообразны в системе мелких с размахом крыльев от 100-600 м до 1 км и амплитудой до 200-500 м симметричных и

асимметричных складок северо-восточного простирания. Угли падевия на крыльях складок $5-20^{\circ}$, реке $25-45^{\circ}$. Зеркало складчатости в целом очень пологое, близкое к горизонтальному. В Пришленинской зоне, переживавшей в это время орогенный тектогенез, были структурного шва изливались субидаформенные кислые эффузивы солоповской толши и формировались трещинные углубления и Итаткинский массивы раннекаледонских гранитов, приуроченные к Могоча-Бушугейскому разлому.

Матматические образования среднего периода в структурно-формационного комплекса развиты в Борзовочной зоне и представлены гранитоидами каменноугольного возраста, относящимися к формации гранитоидных баглитов "Пестрот" состава (Кузнецов, 1964). Гранитоиды образуют конформные интрузии среди верхнепротерозойских - нижнекарибских осадочных и метаморфических пород.

Среднепалеозойский период в структурно-формационный комплекс сформировался в результате докаледонного накопления средне-верхнекаледонских сложенных моласовой и андезитовой формаций куйтунской свиты в узких выветрившихся в северо-восточном направлении приразломных прогибах, прорванных соответственно к основной ветви Монголо-Охотского разлома, а также к Ундургинскому и Чагинскому разломам. Снос материка, судя по состоянию обломков в выклинивших прогибах пород, шел с севера.

Моласовые отложения куйтунской свиты сохранились в тектоническом блоке шириной 1-2 км. В пределах этого блока породы залегают монокилинально и падают на северо-запад под углами $40-45^{\circ}$. Вулканические образования куйтунской свиты сохранились в основном в Джилдинском блоке, имеющем ширину 3-7 км и ступенчатые тектонические отграничения. В пределах Джилдинского блока породы падают, как правило, на северо-запад ($35-90^{\circ}$), реке Северо-восток ($70-90^{\circ}$).

В последующее время в поясах тектоно-матматической активизации, вытнутых вдоль Урм-Иткендинского, Ундургинского и Чагинского разломов в Пришленинской зоне формируются раннемезозойские трещинные интрузии аманаского комплекса, относящегося к таборо-диорит-гранодиоритовой группе формаций. Локализация в форма массивов контролируется дизъюнктивными нарушениями и узлами их пересечения.

Среднеюрский структурно-формационный комплекс представлен палингенными гранитами, образующими в Бор-

зовочной зоне три конформных конкордантных массива среди верхнепротерозойских метаморфических пород.

Матматизм позднего периода структурно-формационного комплекса тесно связан с поясами тектоно-матматической активизации, носит резко выраженный типический характер и характеризуется сочетанием интрузий с эффузивами. Он начинается формированием даек кислого и среднего состава средне-позднеюрского возраста, приуроченных в основном к Урм-Иткендинскому разлому, и излившем верхнеюрских кислых эффузивов вдоль северного борта закармливающейся Ундургинской грабен-синклинали. Затем следовало внедрение интрузий верхнеюрского амаджиканского комплекса (таборо-диорит-гранодиоритовая группа формаций), локализовавшихся в пределах основной ветви Монголо-Охотского глубинного разлома и Урм-Иткендинского разлома. Отдельные массивы и группы даек диоритов и гранитов приурочены к участкам пересечения разломов различных направлений (Устье р. Ундурги, верховья р. Кары).

К образованиям позднего периода относятся мелового структурно-формационного комплекса относительные вулканические моласы, выклинившие Усть-Карскую, Ундургинскую и Жипкоосицкую впадины, а также раннемеловые (?) интрузии дацитовых порфиров, внедрившиеся вдоль Урм-Иткендинского разлома, и дайки диабазов в Усть-Карской депрессии. Усть-Карская грабен-синклиналь имеет ширину 1-10 км и протягивается в субмеридиональном направлении на 40 км. Структура грабен-синклинвали осложнена тремя мульдами: Усть-Карской, Джанкинской и Кударкинской. Усть-Карская мулда ориентирована в меридиональном направлении и имеет асимметричную форму: углы падения юго-западного ее крыла пологие ($15-20^{\circ}$), а северо-восточного - более крутые ($35-47^{\circ}$). Джанкинская мулда имеет ширину 7-9 км и асимметрично строение обретенную таковой Усть-Карской. Ширина Кударкинской мульды 6 км, длина 12 км. Углы падения ее северозападного крыла $15-25^{\circ}$. Ундургинская депрессия имеет ширину 3-8 км и протягивается в субширотном направлении на 20 км. Депрессивные отложения складчат асимметричную субширотную синклиналь с углами падения на северном крыле $8-15^{\circ}$, а на южном $20-30^{\circ}$. Жипкоосицкая грабен-синклиналь выгнута в субширотном направлении. Длина ее 16 км, ширина 6 км.

Разрывные нарушения района группируются в системы Монголо-Охотского и Могоча-Бушугейского глубинных разломов. Преобладают нарушения северо-восточного простирания, хорошо дешифрируемые

на аэрофотооснимках и наблюдаемые в поле по зонам денудоморфизма, окварцевания. Они часто характеризуются тампа-подными повышенной интенсивности, цепочками аномалий магнитного поля и иногда крупными гравианомалиями (Мотога-Бушуйский разлом).

В систему Монголо-Охотского глубинного разлома входят основная ветвь и сопряженные с ней разломы северо-восточного простирания - Чачинский, Карийский, Шилкинский и Ундурлинский.

Основная ветвь фиксируется узкими линейными магнитными аномалиями, катаклизмом и миоэнтвизацией протерозойских пород в зоне шириной 2-4 км и окварцеванием пород усть-карокской свиты. Это сброс, падающий на северо-запад под углами 60-70°, с амплитудой перемещения более 2 км. Он заложился в верхнем протерозое и активизировался в палеозойское и мезозойское время, судя по размещению в его пределах средне-верхнепалеозойского прогиба, вытолченного молассами куйтунской свиты, верхнерюкских интрузий и кварцевых жил с золото-молибденовой минерализацией. Чачинский разлом прослеживается в виде серии нарушений общей шириной 2-8 км от верхнего р. Негити до пос. Бутана. Ширина отдельных зон катаклизма и брекчирования в его пределах 0,1-1 км. К разлому приурочены блоки пород куйтунской свиты, массивы гранитов раннемезозойского возраста и кварцевые жилы с золото-молибденовой минерализацией. Карийский разлом прослеживается от пали Кулинды до р. Большой Кударки по зонам шириной 0,1-1 км катаклизма, миоэнтвизации и незначительного окварцевания палеозойских пород. Депрессионные отложения в его пределах слабо окварцованы и каолинизированы. К нему приурочены также жилы халцедоновидного кварца с флюоритом. Это надвиг с падением плоскости смещения на северо-запад под углом 40° и незначительной амплитудой перемещения. Шилкинский разлом фиксируется двумя зонами шириной 0,5-2 км катаклизма и миоэнтвизации протерозойских и каменноугольных образований на правобережье р. Шилки. Он отделяет усть-карокскую впадину от Боршювочного поднятия. Это надвиг с падением плоскости смещения на северо-запад под углами 15-30°. Основным интенсивным перемещением по нему происходили в нижнемеловое и четвертичное время. Общая амплитуда вертикальных движений превышает 1 км. Ундурлинский разлом состоит из серии сопряженных нарушений северо-восточного простирания, проходящих в среднем течении р. Чаги. Ширина всей разломной зоны 3-8 км, а отдельных зон денудоморфизма и окварцевания 1-2 км. Падение плоскости катаклизма слегка к вертикальному. Сударное переме-

шение по разлому порядка 2 км. Он активно функционировал в палеозое и мезозое (формирование Джилдинского прогиба и Ундурлинской трабен-снклинали).

В систему Мотога-Бушуйского глубинного разлома входят Урма-Иткендинский, Маргарунинский и Урма-Иткенский разломы близиротного простирания. Разломы заложились в нижнем палеозое, о чем свидетельствует приуроченность к ним раннепалеозойских интрузий, и активизировались в мезозойское (стандартные трещинных и суббульканических интрузий) и четвертичное время. Урма-Иткендинский разлом прослеживается вдоль р. Белого Урмыа и по правому борту р. Иткенки. Он состоит из системы субпараллельных и сопряженных зон катаклизма, миоэнтвизации и брекчирования раннепротерозойских гранитоидов мощностью 0,1-0,5 км общей шириной 10-15 км. С ним связаны ячеистая окварцевания, темативизации пород и субфилиной минерализации (низовья рек Ундурти, Джелонды и Жипкосе). Маргарунинский разлом проходит в верховьях р. Жипкоса и в среднем течении р. Уртуцена и обрамляет с севера Жипкоинскую депрессию. Разлом выражен зоной брекчирования, катаклизма, окварцевания и каолинизации шириной 1-2 км. Падение плоскости катаклизма на юго-восток под углами 50-60°. Вертикальное перемещение по разлому порядка 200-400 м. Урма-Иткенский разлом выражен зоной катаклизма и миоэнтвизации шириной 2 км в среднем течении р. Тонгола и в верховьях рек Жипкоса и Сухого Уртуцена. Он служит южным обрамлением молдолого Уртученского поднятия.

Кроме разломов северо-восточного простирания установлены ряд субширотных нарушений. Одно из них, Богочинский разлом, отделяет каменноугольные гранитоиды от нижнекембрийских известняков и протегивается от среднего течения пали Богочи к устью пали Дарова. Это надвиг, падающий на северо-запад и север под углами 25-50° и выраженный зоной катаклизма, брекчирования и окварцевания мощностью в первые сотни метров. Джанкинский разлом, прослеженный на 60 км, фиксируется цепочкой локальных магнитных аномалий и совпадает с долиной пали Алии Кударкинской, переходит в долину р. Джанки и прослеживается далее на запад, где он проявлен зонами катаклизма и брекчирования раннепротерозойских гранитоидов. Третий разлом находится в верховьях пали Нижнего Теликана и Лобихи и откартирован по зоне катаклизма, миоэнтвизации и окварцевания мощностью 0,2-0,4 км в нижнепротерозойских породах. Описанные нарушения входят в систему Монголо-

Охотского глущинного разлома. По данным аэрометрической съемки выделяется также Топкинский разлом, протягивающийся от устья р. Талакана до устья р. Сель-Джидикилы на 40 км, и Шехтайкинский - от устья р. Талакана до р. Черной на 40 км, входящие в систему Моточа-Бущулейского глущинного разлома.

Некоторые факты указывают на существование крупных нарушений северо-западного направления. О наличии Кара-Далаканского разлома, проходящего от пос. Усть-Карка до устья р. Ундурги, свидетельствуют данные триангуляционной съемки и другие факты: пережим Усть-Карской впадины, окончание Кара-Чагинского массива в гравитиодов амуджиканского комплекта, замкнутые Ундургинской депрессии и сгущение мезозойских интрузий в устьевой части р. Ундурги. На наличие сходного черненского регионального нарушения указывает намечающаяся триангуляционная ступень и сгущение триангуляционных пород вдоль р. Черной в зоне шириной 10-15 км. Однако эти предположаемые нарушения не фиксируются зонами тензитов.

Активность многих разломов в кайнозое подчеркивается пруроченностью к ним большого количества источников подземных вод (урд-Ичкенкинский разлом и др.).

ГЕОМОРФОЛОГИЯ

Наученная территория относится к Пришпикинскому геоморфологическому району (Флоренсов, 1948). Структурный план рельефа территории унаследован в общих чертах от позднемезозойского, возникшего в результате интенсивных глыбовых движений, когда сформировались основные геоморфологические элементы: хребты северо-восточного простирания и раздельные их впадины. В связи с этим рельеф подразделяется на два генетических типа: эрозивно-денудационный рельеф областей поднятий и эрозивно-аккумулятивный рельеф областей опусканий.

Эрозивно-денудационный рельеф областей поднятий в целом выделяется среднегорным и преобладает в пределах Шидкинского, Алеурского, Боршовочного и Хорьковского хребтов, где выделяется область интенсивного и замедленного поднятия.

Рельеф области интенсивного поднятия

Эрозивно-денудационный рельеф областей поднятий

Для рельефа области интенсивного поднятия характерны черты восходящего развития: узкие водоразделы, крутые склоны, порожистые русла рек. В ее пределах выделяются следующие геоморфологические типы рельефа.

Интенсивно-расчлененный крутосклонный рельеф на изверженных породах, приурочен к Шидкинскому хребту. Он характеризуется значительной глубиной эрозивного вреза (250-450 м), крутыми, часто обрывистыми склонами (20-30°), хорошо выраженными уступами террас, прилегающими к ним водоразделами притоков рек Шидки и Черной. Абсолютные отметки - 900-1000 м (максимальная 1061 м).

Интенсивно-расчлененный рельеф со склонами средней крутизны (10-12°) на изверженных породах распространен в пределах Алеурского и юго-восточных отрогов Хорьковского хребтов. Рельеф имеет некоторые черты эрозии: сравнительно пологие склоны, широко хорошо выраженные долины. Абсолютные отметки достигают 900-1000 м, максимальная - 1020 м (гора Топки). Относительные превышения - 200-300 м. Водоразделы рек широкие, выровненные, на высоте 860-900 м иногда отмечаются повороты поверхности альпиданации. Уступы террас слажены. По долинам рек Ушмуна, Продольного Булака, Джидикилы террасы перекрыты мощными делювиальным шлейфом. Русла рек меандрируют. Поперечный профиль долины рек трапециевидный. В верховьях рек долины расширяются и имеют форму пиррков (реки Талакан, Обкоронка).

Массивный крутосклонный (20-30°) рельеф на аффузивно-осадочных образованных куйтунской свиты выделен на северном склоне Шидкинского хребта. Морфологические особенности рельефа обусловлены литологическим составом пород. Абсолютные отметки достигают 900-1017 м (гора Домбай). Характерная особенность рельефа - массивные формы при сравнительно глубоком эрозивном врезе (250-450 м). Осевые линии водоразделов выражены нечетко, а

сами водораздельные просторанства представляют собой цепи куполообразных гор со слабо выгнутыми склонами, покрытыми часто круглополюсовыми россыпями. Форма долин водотоков в поперечном сечении яйцеобразная, в приточных частях — У-образная (устье падей Кадачи, Деллинды).

Интенсивное расчлененный Крутуртский (15-25°) рельеф могучим подпитий характерен для некоторых участков Борзовочного и Хорьковского хребтов. Он имеет следующие признаки: У-образные поперечные профили долины рек с узкими поймами и круглыми склонами, террасы отсутствуют, дельвий предельно фацет крупнополюсовых развалов, продольные профили долины ступенчатые с каменными порогами. Абсолютные отметки достигают 1000 м, относительные превышения 400-450 м. Специфическими признаками рельефа в пределах Борзовочного хребта являются более высокая степень расчлененности и узкие водоразделы, венчающиеся скальными обнажениями коренных пород. Для рельефа Унтуртинского подпития (Хорьковский хребет) характерны широкие (0,5 км) плоские заболоченные водоразделы (возможно, являющиеся реликтами древнего пенеплена) с единичными остатками выветривания.

Условно к области интенсивного поднятия отнесем среднетерриториальный Крутуртский рельеф, который разбит в большей части Усть-Карской и Унтуртинской впадинами на эффузивы. Развитие этого рельефа в Усть-Карской впадине обусловлено близостью местного базиса эрозии (р. Шилка). По правобережью р. Шилки он носит грядовый характер. Водоразделы выгнуты в северозападном направлении. К озерным их частям приурочены тлосовые россыпи, коренные обнажения отмечаются у подножия склонов южной экспозиции. Склоны выгнутые, крутизна их 10-15°. Долины узкие, У-образные в поперечном сечении. Широко развиты овальная сеть. Максимальная абсолютная отметка — 900 м. Относительные превышения — 200-250 м. Рельеф левобережья р. Шилки более пологосклонный. Долины часто имеют трапециевидный поперечный профиль. В северной части Унтуртинской впадины рельеф характеризуется значительным эрозионным расчленением, крутизна (20-30°) склонами и относительно невысокими до 450 м.

Рельеф областей замедленного поднятия

Область замедленного поднятия охватывает всю западную часть исследованной территории в пределах Шилкинского хребта и характеризуется среднетерриториальным интенсивным пологосклонным рельефом. Абсолютные отметки достигают 850-1000 м, редко больше (гора Шилка — 1063 м). Относительные превышения колеблются 200-260 м. Рельеф имеет характерные черты низкого развития: плоские поверхности водоразделов, широкие долины с заболоченными донщинами, меандрирующие русла рек, педимент, что свидетельствует о преобладании в формировании рельефа процессов боковой эрозии. Склоны волнчатые, террасы отсутствуют. Продольные профили долины хорошо выработаны.

Эрозионно-аккумулятивный рельеф областей опускания

Эрозионно-аккумулятивный рельеф областей опускания развит в пределах Унтуртинской и Жипкосинской впадин. Правые впадины в большинстве случаев отчетливо выражены в рельефе в виде тектонических уступов (северный борт Жипкосинской впадины). В зависимости от степени расчленения и морфологических особенностей здесь выделяется два типа рельефа.

Низкогорный подотосклонный (останцово-опочный) рельеф распространяется в пределах Унтуртинской и Жипкосинской впадин. Абсолютные отметки колеблются 600-700 м, относительные превышения — 80-120 м. Водоразделы широкие, склоны пологие (5-7°). Долины рек хорошо выработаны и имеют сплюсцованный поперечный профиль. Рельеф аллювиально-дельтавидный и равнинный центральных и приобтовых частей впадин характеризуется собой сочетание почти плоских поверхностей террас рек и пологосклонных дельтавидных шлейфов. Они возвышаются на 8-10 м над гальветами долин, иногда засоложены.

Неоднократное понижение базиса эрозии привело к образованию в четвертичный период шести террасовых уровней по долине р. Шилки: 1) 5-7 м, 2) 20-30 м, 3) 35-45 м, 4) 55-75 м, 5) 90-100 м, 6) 110-120 м. За исключением I надпойменной, все терра-

сы р. Шилки и соответственно им по времени образованы террасы других рек района эрозионно-аккумулятивные. У террасы р. Шилки прослеживается на всем протяжении ее долины в пределах изученной территории. Уступ выражен четко, ширина площадки до 1 км, поверхность ровная. Возраст долины средне-верхнечетвертичный, мощность 4-25 м. По долинам других рек района отмечено прослеживается надпойменная терраса высотой от 90 до 60 м (реки Черная, Кара, Джанкы); от 60 до 20 м (реки Белый Урум, Ичанова-ка, Ундурга и др.). По времени образования она соответствует U надпойменной террасе р. Шилки. Ширина площадки от 10 до 500 м. Поверхность террасы ровная, скелета наклоненная к руслу реки. Остальные террасы имеют незначительное распространение. По р. Шилке наиболее полно представлен комплекс террас у подв. Верхние Кударки и Джанки. Возраст долины этих террас устанавливается как верхнечетвертичный. I надпойменная терраса р. Шилки и других рек - аккумулятивная. Ширина площадки 0,5-2 км. В долине реки эта терраса затопливается. Пойма развита повсеместно, ширина ее велика. Лишь пойма р. Ундурга в пределах одноименной депрессии достигает 2 км. В долинах рек Еркинды, Инетирь, Горбичанской, Ключевой и Сычуга развиты гидроразрывы шириной 6-50 м, высотой 1-3 м.

Неотектонические движения проявились также в форме разрывов в долинах некоторых рек (Белый Урум, Черная) меандрированных амфи-театров.

ПОЛЕЗНЫЕ ИСКОПАЕМЫЕ

Ведущую роль среди полезных ископаемых района играет золото (четыре рудных месторождения, 44 россыли и 19 проявлений в коренном залегании и россыпях). Руды месторождений и некоторых проявлений золота содержат медь, свинец, цинк, серебро, молибден, висмут, мышьяк и вольфрам. Самоотрадное значение имеет молибден (три непромышленных месторождения и шесть проявлений), свинец, цинк и серебро (промышленное месторождение и семь проявлений), висмут (три проявления), медь (проявление) и вольфрам (два проявления). Элитервальная минерализация представлена четырьмя промышленными сурьмя; флюсовое сырье для металлургической промышленности - тремя месторождениями доломитов и двумя проявлениями флюорита, строительными доломитовыми и известняками (одно), известняков (четыре), гравия и

песка (два). В процессе металлогенеза опробованы выходы ороולי россыпных меди (два), свинца (четыре), цинка (четыре), мышьяка (один), молибдена (два), в процессе шихового - ороולי галенита (один), молибденита (один), монацита (один), барита (два), флюорита (один) и золота (два).

Изученная территория располагается в пределах молибден-золотого рудного пояса (по С.С. Смирнову). Месторождения и проявления рудных полезных ископаемых концентрируются в пределах четырех металлогенезных зон, совпадающих с дологвишущими тектонико-металлогенезными зонами, положение которых контролируется Монголо-Охотским (первые три) и Могоча-Бушудийским (четвертая) глубинными разломами: 1) Чачинско-Чернинская молибден-золотая зона прослеживается на 60 км при ширине 16-18 км вдоль основной ветви Монголо-Охотского глубинного разлома; 2) Усть-Карская флюорит-полиметаллическая зона прослеживается на 35 км при ширине 8-12 км вдоль Усть-Карского и Шилинского разломов; 3) Ундурганско-Ульдулганская молибден-полиметаллическая зона протягивается на 70 км при ширине 8-12 км вдоль Ундурганского разлома; 4) Урум-Пыкелдинская молибден-полиметаллическая зона шириной до 22 км прослеживается на 68 км. В пределах этих зон выделяется пять рудных узлов, приуроченных к участкам пересечения или сопряжения разломов: Кара-Чачинский в верховьях рек Кары, Болочу и Чачи (золото и молибден); Усть-Карский в низовьях рек Кары и Болочу (полиметаллы, флюорит, сурьма и золото); Усть-Чернинский в низовьях рек Черной и Ульдулги (молибден и полиметаллы); Усть-Ундурганский (молибден и полиметаллические руды) и Челкминский в среднем течении р. Ундурга (молибден).

Возраст минерализации четко устанавливается для группы месторождений и проявлений золота и молибдена Кара-Чачинского рудного узла. Рудные тела секут верхнеорские транзитной амуджиканского комплекса, в то же время гальки кварц-турмалиновых пород отмечены в составе конгломератов усть-карской свини, что свидетельствует о позднеорском возрасте оруденения. Возраст полиметаллического оруденения устанавливается как раннемезозойский (падь Адамшикина) или позднемезозойский (Усть-Чернинский рудный узел).

МЕТАЛЛИЧЕСКИЕ ПОЛЕЗНЫЕ ИСКОПАЕМЫЕ

Цветные металлы

Медь

Сульфиды меди характерны для всех месторождений и проявляются в рудных полезных ископаемых и только в одном, Кадачунском (41) проявлении жильного типа, медь имеет самостоятельное значение. Однако ввиду незначительных масштабов и низких содержания меди (0,57-1,35% по двум штучным пробам) оно практического интереса не представляет. Металлогенетрический ореол рассеяния меди (40) на водоразделе рек Девинды и Солнопочной Кадачи (содержание меди в пробах 0,01-0,04%) сформировался, вероятно, за счет аналогичного по масштабу и характеру оруденения.

Свинец

К у л и м и н с к о е п р о я в л е н и е, представляющее кварцево-карбонатной жилой с содержанием свинца 2,35-3%, ввиду незначительных масштабов оруденения, практического интереса не представляет.

Металлогенетрические ореолы рассеяния (31,38) имеют содержание свинца в пробах 0,008-0,01%, расположены в районе известных проявлений свинца и меди (со свинцом) жильного типа и поэтому вряд ли заслуживает внимания.

Цинк

Б р е к а н с к о е п р о я в л е н и е (109) представляет малоомощными жилами кварца с незначительными содержаниями металла (до 0,15%). Металлогенетрический ореол рассеяния (29), судя по незначительной его площади и низким содержанием цинка в рудных отложениях (до 0,02%), приурочен к оруденению жильного типа и также не заслуживает внимания.

Свинцово-цинковое оруденение

У с т ь - у н д у р т и н с к о е (20) и Ч е р н и н с к о е (59) жильные проявления свинца и цинка характеризуются незначительными содержаниями металлов (0,05-1%).

Более обширную группу составляют проявления, приуроченные к мощным и протяженным зонам тектонических нарушений. К ним относятся Богочинское (новый участок, 116), Капкоосинское (5) и Ушунское (36) проявления. Богочинское представляло мощной (до 100 м) зоной тектонических глин в известняках. Оно изучено в достаточной степени и признано не перспективным ввиду низких (0,01-1,1%) содержания металлов. Другие два проявления представляли свадлы интенсивно брекчированных обожженных трапповых массивов раннепротерозойских гранитов с большим количеством малоомощных проявлений низкотемпературного кварца. Судить о их перспективности по результатам спектрального анализа единичных штучных проб, давших содержание металлов 0,1-0,2%, не представляется возможным. Учитывая, что оруденение, возможно, имеет штокверковый характер, указанные проявления заслуживают дальнейшего изучения. С аналогичными, по-видимому, по характеру оруденения проявленными свинца и цинка связаны металлогенетрические ореолы рассеяния этих элементов с содержаниями в пробах от 0,005 до 0,2% по ручью Адамукшина (37) и на левобережье р. Белого устья близ ст. Урма (11).

Подметаллические руды

Б о г о ч и н с к о е месторождение (115) находится в левом борту долины р. Богоч. Оно открыто в 1766 г. и разрабатывалось до 1808 г. За период эксплуатации извлечено 756 т руды. Оруденение приурочено к пористым окремненным известнякам быстринской (?) свиты, секущими малоомощными проявлениями бурого лимонита с выраженностью руденита и пирита. Полоса оруденения порода прослежена на 180 м при ширине около 25 м. Содержание свинца в руде, по данным отработки — 5-45%, серебра — 195-1560 г/т. В 1952-1954 гг. на месторождении проведены разведочные работы (Ридер и др., 1955ф), по данным которых содержание свинца в наиболее обогащенных участках — 0,58-10,23%, цинка — 0,06-0,19%. По заключению В.Р. Ридера, месторождение бесперспективно ввиду незначительных масштабов оруденения.

Мышьняк

Судьбы мышьяка характерны для рудных месторождений и проявлений золота. Самостоятельные его проявления на изученной территории неизвестны.

Металлогенетический ореол мышьяка с юго-востоком, молибденом, висмутом (ЗЗ) расположен в бассейне Верхнего течения р. Малого Бурукая выше головы россыпи золота и указывает на возможность выявления здесь золотого оруденения. Содержание мышьяка в пробах ниже, до 0,02%.

Благородные металлы Золото

Все промышленные месторождения и подвидные месторождения проявлений золота располагаются в пределах Кара-Чачинского рудного узла.

Амурское месторождение (92) расположено в долине р. Кары против устья пади 1-й Угольной. Открыто оно в 1914 г. инженером В.К. Вобром и разведывалось с поручиком Добычей с 1925 г. по 1963 г. Оруденение сосредоточено в тонких прожилках "трещинчатого" кварца, секущих амуджманские тибридные диоритовые порфиристы, и контролируется субширотной зоной интенсивной трещиноватости раннепротерозойских пород шириной 200-250 м, по направлению совпадающей с долиной р. Кары. Содержание золота 5-165,8 г/т. Все пробы, отобранные из разведочной шахты на горизонте 20 м, показали промышленное содержание металла.

Датинское месторождение (51) расположено в вершине пади Датгини среди раннемезозойских гранитов. Известно с 1949 г. и представлено прожилком лимонита (10 см) с кварцевым скелетом с включениями золота. Содержание золота - 320 г/т, по валовой пробе - 14 г/т. Месторождение отнесено к старателям. Добыто 32 кг золота.

Дмитриевское месторождение (95) расположено в верховьях р. Кары. Оно открыто в 1903 г. техником-геологом Трутневым. Месторождение разрабатывалось с 1919 г. по 1924 г. и с 1930 г. по 1936 г. и законсервировано ввиду недо-

стачной разведанности и отсутствия национальной геологии обработки руд. Всего добыто 218 кг золота. Запас по месторождению числятся забалансовыми. Оруденение представлено кварц-турмалиновыми жилами мощностью 0,2-0,6 м. Пространне жил ЗОЗ, падение на СВ, реке СЗ под углом 80-90°. Всего разведано 10 жил. Жильные минералы: турмалин, кварц нескольких генераций, карбонаты, халькоген и др.; рудные: пирит, арсенопирит, халькопирит, блеклая руда, висмутит, телурит, сфалерит, золото. По пространству оруденение не выдержано. Вещамше раннепротерозойские диориты в экзоконтактах жил окварцованы, пиритизированы, иногда турмалинизированы, каолинизированы, серпентинизированы и эпидотизированы. Содержание золота в среднем составляет 4 г/т. Наряду с золотом в рудах месторождения содержится мышьяк (до 35%), висмут (0,09%), молибден (0,006%), вольфрам (0,3%) и кобальт (0,37%).

На Дмитриевском месторождении гемотической парней под руководством В.В. Онущука (1965) выявлен перопективный кварц-магнетитовый тип оруденения с содержанием золота значительно выше среднего по месторождениям. Магнетит слагает крупные линзовидные скопления в кварцевых и кварц-турмалиновых жилах.

Пильное месторождение (88) расположено в верховьях руч. Малой Пильной. Оно открыто в 1931 г. геологом А.К. Черным, разведывалось и отработывалось с 1938 по 1951 гг. За этот период извлечено 1097 кг золота; отработано две жилы, а две затронуты только очистными работами. Всего же на месторождении известно 15 жил. Законсервировано месторождение ввиду отсутствия планомерной, методически правильной разведки. Запасы золота по месторождению числятся забалансовыми. Рудные тела - кварцевые, кварц-сульфидно-турмалиновые и кварц-турмалиновые жилы мощностью 0,8-4 м. Пространне жил СЗ 300-320°, падение на СВ под углами 70-80°. Рудные минералы: пирит, халькопирит, молибденит, шедит, вильметит, золото, ковеллин, халькозин, борнит.

Наряду с золотом в промышленных концентратах содержится молибден (забалансовые запасы), висмут (0,03%) и вольфрам.

В экзоконтактах рудных тел раннемезозойские граниты каолинизированы, турмалинизированы, окварцованы и пиритизированы.

С нарушением рудных тел описанных месторождений и многочисленных проявлений связано образование террасовых и долинных россыпей золота по рекам Каре, Богоче, Ивановке и многим другим. Общее количество золота, добытого из россыпей, значительно

превышает запасы известных рудных месторождений, что свидетельствует о глубоком эрозивном срезе последних и о наличии многочисленных мелких источников питания.
Краткая характеристика россыпных месторождений приводится в табл. 3.

Таблица 3
Характеристика россыпных месторождений золота

№ на карте	Название месторождения, тип (год открытия)	Длина, км	Ширина, км	Мощность аллювия, м	Мощность пласта, м	Содержание алл., г/л ³
1	2	3	4	5	5	6
76	Промышленное Безымянное, Долинное	0,34	-	-	-	-
34	Бурдякское, Долинное, 1907г.	-	-	$\frac{2,6}{0,6}$	-	4
74	Богочинское, Долинное, 1876 г.	19,7	0,02-0,05	$\frac{20,5,5}{1-1,5}$	-	0,9-3
73	Богочинское, Террасовое, 1881г.	-	-	$\frac{3-7,5}{1-1,5}$	-	2-3,5
63	Большая Кударка, Долинное, 1885г.	6,5	0,03-0,1	$\frac{4-5}{1}$	-	2
65	Большая Кударка, Террасовое, 1903г.	7	0,04-0,1	$\frac{6-7}{4,2}$	-	1,5
58	Бурдукское (с притоками Зверухой и Башмачи- ной), Долин- ное, 1878 г.	7	-	4,2	-	0,7
51	Далгынское, До- линное, 1863 г.	5	0,02	$\frac{3,5-5}{1,5-3}$	-	4

72	Дымриезское Ключ, Долинное 1885 г.	1,3	0,025	$\frac{5-5,5}{2-2,5}$	-	2,5
27	Джегондинское, До- линное	3	-	$\frac{5,4}{0,6-1,2}$	-	0,294
68	Глубокий Ключ, Долин- ное	0,3	0,015	-	-	3
62	Брынчаное, Долинное, 1890 г.	2	0,015	$\frac{4,7}{0,7}$	-	1,5
9	Жипкозовское, Долин- ное	2,2	-	-	-	-
99	Ивановское, Долинное 1839 г.	17	0,03-0,08	$\frac{3,5}{-}$	-	3-4
101	Ивановское, террасо- вое, 1870	13,4	0,04-0,1	$\frac{6-12}{1,5-2}$	-	3,5
19	Имлендинское (с при- током падь Шавыр- ной), Долинное	15-20	-	$\frac{4,5}{1,2}$	-	0,3
56	Верхне-Ликанское, Долинное, 1841 г.	2	0,01	-	-	1,2
86	Верхне-Карийский Ключ, Долинное	0,7	0,035	$\frac{3}{-}$	-	3
71	Карийское, Долинное	26,7	0,06-0,25	$\frac{5-5,5}{1,0-2,5}$	-	4,5
105	Карийское, террасо- вое	4,6	0,2	$\frac{3-3,5}{-}$	-	1,5-2
54	Ключевское, Долинное 1884 г.	1,5	0,035	$\frac{4,5}{1,5}$	-	2,5
60	Кударкинское, Долин- ное, 1844 г.	10,8	0,03-0,15	$\frac{4,5}{-}$	-	2
80	Луолинское, Долинное, 1882 г.	3	0,03	$\frac{5}{-}$	-	2,5
48	Луванкинское, Долинное 1842 г.	22	0,1-0,38	$\frac{4,5-5}{1-2}$	-	3

1	2	3	4	5	6
118	Дужангинское, территория, 1916 г.	2,4	0,06	$\frac{2-15}{1-2}$	2,5-15
69	Марчухинское, долинное, 1890 г.	0,4	0,015	$\frac{4-6}{0,7}$	3
23	Обкорнинское, долинное (?)	-	-	$\frac{5}{1,2}$	-
44	Перфильевское, долинное, 1890 г.	0,6	0,012	$\frac{2,7}{2,7}$	-
57	Петровское, долинное, 1868 г.	7,5	0,08	$\frac{4,5}{0,8}$	3
111	Подземинское, долинное, 1883 г.	0,4	0,02	$\frac{5}{1,0}$	3
96	Таратушкинское, долинное	7	0,01	-	2
97	Таратушкинское, террасовое	7	0,07	$\frac{4-8}{-}$	2,4
22	Ундургинское, долинное	2	-	-	-
2	Чонгольское, долинное	-	-	-	-
42	Ланхойское, долинное, 1880 г.	1	0,02-0,03	$\frac{5}{1}$	2
67	Щарабаньиха, Ключ, долинное, 1880 г.	1,2	0,015	$\frac{4-6}{0,7}$	3
16	Щахтайское, долинное	7,2	-	-	-
114	Ярничное, долинное	-	-	-	-
61	Непромышленные Алинское, долинное (две линии шурфов)	2	-	$\frac{5}{0,2-0,8}$	0,56

1	2	3	4	5	6
14	Бело-Урумское, долинное (четыре буровые линии)	-	0,04-0,12	$\frac{12}{0,5-4}$	0,01-0,084
18	Литдочинское, долинное (две линии шурфов)	-	-	$\frac{4,2}{0,2}$	0,9
47	Дабазаня Падь, долинное (четыре линии шурфов)	-	-	$\frac{2,8-5}{1-1,8}$	0,83
98	Мало-Буруккайское, долинное (две линии шурфов)	0,5	-	$\frac{15,2}{1,2}$	3,66
28	Северо-Джигинское, долинное (четыре линии шурфов)	-	-	$\frac{3,3}{0,8}$	0,9
35	Ушмуновское, долинное (одна линия шурфов)	-	-	$\frac{5}{0,2}$	0,6
117	Шикинское, территория (четыре линии шурфов)	до 1,5	до 1	$\frac{8-12}{-}$	до 0,85

В последнее время Карийская, Богоучиновская и Дужангинская долинные россыпи разрабатываются малолитражными драглами трестом "Забзолото". По долинам рек Иванювки и Таратушки окрестности полигоны для малолитражных драг. Мелкие россыпи могут отрабатываться старательским способом.

В пределах Кара-Чагинского рудного узла известны многочисленные проявления золота, предельные кварцевыми и кварц-турмалиновыми жилами с сульфидной минерализацией - Богоучинские I-3 (78, 79, 106), Верхне-Карийские 3 и 4 (85, 87), Ключевская Жила (83), Ключевское (84), Мало-Богоучинское (77), Либненское (89), Таратушкинское (94) и Перфильевское (45). Содержание золота в пробах по данным пробирного анализа колеблется от следов до 30 г/т. Ввиду незначительных масштабов добычи самостоятельного значения они не имеют.

Из других проявлений золота (121, 123, 45, 4) поисковый интерес представляет наименее изученное Талкинское (4), сохранившиеся следы золота по данным пробирного анализа. Оно расположено в голове Чонтольской россыпи золота в зоне нарушения, обремененного с юга Молодое Угдуртученское поднятие.

Шликовые ореолы рассеяния золота в бассейне нижнего течения рек Кара (122) и Джанки (119) приурочены к Карийскому разлому и свидетельствуют о широком развитии в его пределах рассеянной золоторудной минерализации. Содержание золота в шликах колеблется от единичных знаков до 200 мг/м³.

Р е д к и е м е т а л л ы

Вольфрам

П е т р о в с к о е (64) и Ш а н к о й с к о е (43) проявлены вольфрама приурочены к зонам скарирования нижнетерозойских карбонатных пород позднеюрскими и раннепротерозойскими гранитоидами. Они изучены совершенно недостаточно (спектральный анализ 2 штучных проб показал содержание до 0,1% W, Ta, Nb и тысячные % Sn) и перспективны на вольфрам, тантал, ниобий и касситерит неясны.

Молибден

Месторождения и проявления молибдена, расположенные на изученной территории, характеризуются двумя морфологическими типами оруденения: жильным и штокверковым.

К жильному типу относятся Барановское (100), Ивановское (102) и Карийское (104) непродуктивные месторождения, Богочинское (81), Челкиминское (25), Усть-Джедондинское (15), Тарачинское (30) и Кудлутшинское (13) проявления. Для месторождений и проявлений этого типа характерны: кварцевый, редко кварц-турмалиновый состав жил, незначительная их мощность (0,08-2,0 м), невыдержанность рудных тел по простиранию, непромысленные для этого типа содержания металла (0,01-0,9%, редко до 2%). Наиболее типичным для жильного типа является Барановское месторождение (100). Оно расположено в 2 км к северо-востоку от пос. Ивановки-1 и приурочено к эндоконтакту Кара-Чачинского массива верхнеюрских гранитоидов. Оруденение сосредото-

чено в кварцевых прожилках мощностью до 0,08 м. Простирание прожилков СВ 5-10°, падение на ЮЗ под углом 40-60°, протяженность 20-25 м.

Жильные минералы: кварц, полевой шпат, турмалин; рудные молибденит, пирит, халькопирит. Содержание молибдена от 0,01 до 0,9-2%. Околорудные изменения - окварцевание, река каолинизация и серицитизация. Запасы руды составляют 2480 т, молибдена - 9,5 т. Ивановское (102) и Карийское (104) месторождения по характеру оруденения аналогичны вынеоплеоценовому. Запасы молибдена по категориям С¹-С² Ивановского месторождения - 9,56 т, Карийского - 8,34 т.

В пределах Кара-Чачинского рудного узла молибден содержат также многочисленные единичные кварцевые и кварц-турмалиновые жилы, рассеянные на территории около 140 км².

Своеобразное Усть-Джедондинское проявление (15) приурочено к жилам хальцедоновидного кварца в зоне каолинитизированных, эпитомтизированных раннепротерозойских гранитов. Содержание молибдена до 0,096%.

К более перспективному - штокверковому типу относятся Ундуртинское (24) и отчасти Челкиминское (25) проявления. Для них характерно: значительная мощность (до 250 м), проявленность (до 3 км) рудных тел и сравнительно высокая (до 0,02%) для этого типа содержания металла. Наибольший интерес представляет Ундуртинское проявление, представляющее собой графенитизацию и интенсивной пиритизации раннепротерозойских гранитов мощностью до 250 м с содержанием молибдена до 0,02%.

Металлогенетические ореолы рассеяния молибдена на водоразделе рек Черной и Удлутучи (32) и в низовьях пади Солнопечной Кадачи (39), судя по их размерам и низким содержаниям металла в пробах (0,001-0,004%), связаны с оруденением жильного типа и поэтому не заслуживают внимания.

Сульма

Эпитермальной сульфидной минерализацией штокверкового типа характеризуются Урум-Итыкендинская металлогенетическая зона, в пределах которой выделены В е р х н е - Ш и п к о с и н с к о е (1) и Н и ж н е - Ш и п к о с и н с к о е (1,2 и 3 (6,7,8) п р о я в л е н и я. Представлены они свалками брекчированных, каолинитированных и обокренных гранитоидов с про-

Жилками низкотемпературного кварца. Ввиду незначительных содержаний металла (0,01-0,05%, по данным спектрального анализа 13 штучных проб), эти проявления, как и Караганское (120), приуроченное к Карийскому разлому, практического интереса не представляют.

Висмут

Висмутовая минерализация представлена маломощными (0,15-0,55 м) кварцевыми жилами Малиновских 1 и 2 (35,49) и Шанхойского (46) проявлений, которые ввиду незначительных масштабов и низких содержаний висмута (0,02-0,30%), практического интереса не представляют.

Редкие земли

Редкоземельные элементы (Ce, La) содержат монацит, образующий в бассейне нижнего течения рек Кары и Лужанки шиховой ореолы рассеяния (98) площадью 84 км². Он приурочен к монацитиноносным транзитиодам каменноугольных интрузий. Ввиду низких содержаний монацита (0,5-30,0 г/м³ рыхлых отложений), россыпей практического интереса не представляет. Весомые содержания монацита в единичных шихах отмечены также в низовьях р. Лужанки и в верховьях ручья Мокрого Уласова.

НЕМЕТАЛЛИЧЕСКИЕ ИСКПАЕМЫЕ

Химическое сырье

Флюорит (флюсовый)

Проявления флюоритовой минерализации (66,108) приурочены к Карийскому разлому и тяготеют к полям развития карбонатных пород багстринской (?) свиты.

К у д и н и с к о е п р о я в л е н и е (108) расположено на водоразделе рек Брекана и Кулинды и представлено мощными зонами брекчированная и окварцеванная карбонатных пород с прожилками и гнездами флюорита. Редко встречается оптическое его разности, но вероятность обнаружения кондиционных кристаллов очень мала (Буглов, 1961ф). Среднее содержание флюорита -

10-40%, ориентировочные запасы - 200-250 тыс. т. Как сырье для металлургической промышленности, флюорит характеризуется низким качеством. Выявленный в районе проявления шиховой ореолы рассеяния флюорита и барита площадь около 40 км² (108) свидетельствует, возможно, о более значительном масштабе флюоритовой минерализации.

К у д а р к и н с к о е п р о я в л е н и е (66) представлено одной жилой кварца с видимым содержанием флюорита в шихах до 30-40%. Ввиду незначительных масштабов минерализации оно практического интереса не представляет.

Барит

В бассейне нижнего течения рек Кары и Кулинды, Сеннухи и Уласова выявлено два шиховых ореола рассеяния барита (108,70) с содержанием до 47 г/м³ рыхлых отложений. Учитывая, что в рудах Кулиндинского проявления флюорит ассоциирует с баритом, эти ореолы, возможно, свидетельствуют о широком развитии в данном районе флюоритовой минерализации.

СТРОИТЕЛЬНЫЕ, ОГНЕУПОРНЫЕ И ДРУГИЕ МАТЕРИАЛЫ

К а р б о н а т н ы е п о р о д ы

Известняки

Б е л о - у р д м с к о е (10), С о л о в у х и н с к о е (75) и У н д у р г и н с к о е (26) месторождения представлены незначительными по площади коенолитами мраморизованных известняков. Они аккупатировались местным населением с целью получения известня. Запасы месторождений не подсчитывались.

Доломиты

Месторождения доломитов приурочены к полям развития пород багстринской свиты. Б о г о ч и н с к о е I м е с т о р о ж д е н и е (113), расположенное в долине Богоче, представляет собой участок площадью 6 км², сложенный доломитизированными

известняками. Химический анализ 23 бороздовых и штупных проб показал следующий состав доломитов (в %): СаО - 28,27-30,67, MgO - 17,79-21; нерастворимый остаток - 10,32-24; P₂O₅ - до 0,07, серы не обнаружено. Таким образом, качество доломитов выское, они относятся к I и 2 классам по классификации ОСТ 10173-39. Ориентировочные их запасы составляют 40 млн. т.

Ереканское месторождение (110) расположено на левобережье р. Шижки. В плане оно представляет собой полосу доломитов длиной 140 м и шириной 300-800 м. Состав доломитов (в %): СаО - 28,3-30,21; MgO - 17,4-20,48; нерастворимый остаток - 4,04-11,5; P₂O₅ и серы не обнаружены, что соответствует условиям 2 класса по классификации ОСТ 10173-39. Запасы сырья не подсчитывались.

Богочинское 2 негормышенное месторождение (112) расположено на водоразделе рек Богочи и Ерекана. Доломиты кондиционного состава слатят несколько небольших участков. Запасы их незначительны.

Глинистые породы

Глины кирпичные

Усть-Карское месторождение (12) расположено в долине р. Кулинды. Оно эксплуатировалось Кичерским рудоуправлением в 1985 г. На I/I 1952 г. на балансе числилась запасы глины по категории С₁ в 97 тыс. м³.

Обломочные породы

Галька и гравий

Шадуринское месторождение (21) расположено у блок-поста Шадурь. Песчано-гравийные отложения пойменной террасы р. Белого Урмца (мощность I-1,5 м) используются как дорожный балласт. Транзюмометрический анализ двух проб показал крупность материала 0,1-40 мм, глинистые частицы размером 0,1 мм составляют 2,13% и 4,56%, валуны диаметром 10-13 см - 20%. Запасы ориентировочно составляют 80 тыс. м³.

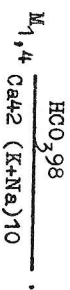
Песок

Белогуринское месторождение (17) расположено на левом берегу р. Белого Урмца и представлено мелкозернистыми песками надпойменной террасы мощностью 2,8 м. Ввиду значительного загрязнения включениями размером менее 0,1 мм (10,9 и 24,35%) используются в качестве балластного материала они не могут.

Источники

Источники минеральных вод

На изученной территории известны Ургученский и Чонгольский источники минеральных вод. Ургученский и Чонгольский (12) расположены у подножия левого склона долины р. Ургучена, в 3 км ниже слияния рек Сухого и Мокрого Ургученов. Воды источника относятся к углекислым гидрокарбонатным кальциевонариевым со свободной углекислотой (792 мг/л). Ионы железа и хлора содержатся в незначительных количествах, SO₄ - 18,2 мг/л, общая минерализация вод 1,38 г/л, общая жесткость составляет 26,55 мг. экв./л. Формула Курлова:



Радиоктивность 6,24x10⁻⁶ Гр на 1 л. Дебит источника 0,1 л/сек.

Чонгольский источник (3) расположен в долине р. Чонгола выше устья пади Алдана. Выход вод на поверхность отмечается на площади около 120 м² непосредственно в русле реки и в пойме близ русла. Дебит значительен. Воды источника относятся к углекислым гидрокарбонатным кальциевонариевым с большим количеством свободной углекислоты и незначительным содержанием анионов хлора (46,15 мг/л), SO₄ - 296,28 мг/л. Общая минерализация 2886,62 мг/л. Общая жесткость 35,01 мг. экв./л. Эти источники издавна используются местными населением в лечебных целях и заслуживают специального изучения.

ОБЩАЯ ОЦЕНКА ПЕРСПЕКТИВ РАЙОНА

Исследованная территория перспективна на выявление промышленных скоплений золота (коренного и россыльного), молибдена, вольфрама, касситерита и флюсового сырья.

1. Наиболее перспективным является Кара-Цаиновский рудный узел, а в его пределах - Дмитриевское месторождение золота, на котором ведутся работы по изучению нового типа оруденения - кварц-магнетитового - с высокими содержаниями золота (Онишук, 1965ф). Наличие на территории месторождения, по данным геофизических работ, интенсивных локальных магнитных аномалий позволяет предположить широкое развитие кварц-магнетитовых рудных тел.

В 1962-1963 гг. установлена прущерченность Амурского месторождения к широтной зоне интенсивной трещиноватости пород протяженностью 5 км (Гольберг и др., 1966ф). В пределах этой зоны к востоку от Амурского месторождения расположены два проявления золота (90,91) в Пильненское месторождение. Выявлено, что зона скрыта под мощным чехлом аллювиальных отложений р.Камы, целесообразно пробурить 6-8 поисковых скважин глубиной до 100 м на всем ее протяжении.

Требуется дополнительное изучение золотосодержащих аллювиальных террас р.Шилки в районе пос.Верх.Кударки.

2. Усть-Ундуртинский рудный узел и территория, непосредственно к нему прилегающая, перспективны на выявление промышленных скоплений молибдена и золота. В пределах этого узла рекомендованы следующие работы. На участке Ундуртинского проявления молибдена с помощью геофизических работ необходимо проследить по простиранию мощную зону интенсивной пиритизации пород, характеризующуюся высокими содержаниями металла. В узле надломленной террасы р.Ундурти, где эта зона в коренном залегании прослеживается на 250 м, следует опробовать ее борозловыми пробками на вод мощность на молибден и золото. Усть-Ундуртинское проявление свинца и пинка перспективно на выявление золотого оруденения. Незначительные содержания золота в кварце, по данным опробования 15-м интервала одной скважины, не могут являться основанием для отрицательной оценки проявления. Здесь в поле развития нижнемеловых (?) лаптовых порфиров целесообразно провести площадные геофизические работы с целью прослеживания зоны протиптизации эффузивов, определения ее

мощности и выявления новых рудных тел. По данным золотометрического опробования масштаба 1:25 000 на правобережье р.Чонгола (приток р.Белого Урмла), выявлены участки с содержанием золота в дельте от следов до 1 г/т в непосредственной близости от Такинского проявления золота. На этом участке целесообразно провести золотометрическое опробование масштаба 1:10 000. 3. В пределах Урм-Иткендинской металлогенической зоны на участке Усть-Джелдинского проявления молибдена необходимо проследить зону с повышенными содержаниями металла (до 0,09%) и провести дельтовое металлометрическое опробование масштаба 1:10 000 - 1:5 000 с целью выявления рудных тел штокверкового типа.

4. Усть-Чернинский рудный узел перспективен на выявление золотого оруденения в коренном залегании. Здесь расположен металлогенический ореол рассеяния элементов-спутников золота (As, Co) в верховьях р.Бурукан, по которому отработана россыль. На территории рудного узла выявлены, кроме того, ореолы рассеяния молибдена, свинца и пинка. Для детализации этих ореолов целесообразно провести золото- и металлометрическое опробование масштаба 1:25 000-1:10 000.

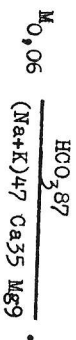
5. В пределах Усть-Карского рудного узла перспективно на выявление промышленных скоплений сырья для металлургической промышленности Кулинское проявление флюорита. Здесь на площади шиховых ореолов рассеяния барита и флюорита целесообразно проведение детальной флуориметрической съемки масштаба 1:25 000. Известные рудные тела необходимо изучать на глубины 6. На Петровском и Шанхойском проявлениях вольфрама (Ча-Черненкокая рудная зона) необходимо детально опробовать скважины и в случае положительных результатов зоны скважинования проследить по простиранию.

ПОДЗЕМНЫЕ ВОДЫ

В пределах района работ выделяются следующие типы подземных вод: пластово-поровые воды четвертичных отложений, пластово-трещинные воды депрессионных верхнемеловых образований во-трещинные воды магматических и метаморфических пород. В условиях их размещения, питания и циркуляции значительную роль играет слой многолетней мерзлоты островного типа, по отношению к которому воды разделяются на подмерзлотные, межразлотные и надмерзлотные.

Пластово-поровые воды четвертичных отложений и мерзлотные межмерзлотные и налимезерзлотные. Водупором для них служат слои многолетней мерзлоты, залегающей, по данным Г.Н.Рельской и А.В.Львова, на глубине 2-3,5 м. Мощность водоносного горизонта невелика и зависит от времени года, а в дельтавально-элювиальных отложениях и от экпозиции склонов. Эти воды, как правило, невапорные. Самовывадшесн нисходящие их источники встречаются редко. Дебит источников не превышает 1 л/сек. По химическому составу воды относятся к гидрокарбонатным кальциево-натриевым, иногда со значительным содержанием хлора. Содержание свободной углекислоты не превышает 26 мг/л, общая жесткость 0,3 мг-экв/л. Для использования в бытовых целях пластово-поровые воды четвертичных отложений не пригодны ввиду незначительных запасов и полного промерзания в зимнее время.

Пластово-поровые воды в мерзлотах Ундуртуйской, Усть-Карской и Жипсоинской впадин и выйдут в большинстве случаев подмерзлотными. Водоносными породами выйдут песчанники и мелкогалечные конгломераты, водупором — алевролиты и аргиллиты. Дебит водоносного источника этих вод, расположенного в 0,4 км западнее пос. Умугуна, 5 л/сек. По химическому составу воды относятся к гидрокарбонатным-натриево-кальциевым; в незначительном количестве присутствуют ионы хлора (2,81 мг/л) и сульфата (6 мг/л). Минерализация вод незначительна (до 217 мг/л). Общая жесткость 2,2 мг-экв/л. Формула Курдюва:



Радиоактивность 5,59 х 10⁻⁶ г/л. Питание вод депрессионных отложений происходит за счет трещинных вод магматических и метаморфических пород, в меньшей степени за счет атмосферных осадков. Эти воды пригодны для использования в хозяйственных целях.

Трещинные воды магматических и метаморфических пород выйдут чаще всего подмерзлотными. Воды эти вапорные и со значительным дебитом источников (0,5-5 л/сек). Так, при прохождении на Дмитриевском месторождении притока воды в выработках увеличивался с глубиной и составлял от 100 до 300 м³ в сутки.

На исследованной территории обнаружено до 100 выходящих источников трещинных вод, приуроченных к зоне дельтавальных нарушений. Они находятся у подножий склонов, иногда смещаются в сторону тальвега реки. По химическому составу воды относятся к гидрокарбонатным магниево-кальциевым, содержание железа общее 0,3 мг/л, СО₂ — 0,01 мг/л. Отмечается повышенное содержание свободной углекислоты (до 48 мг/л). Общая минерализация не превышает 550 мг/л, общая жесткость 6,4 мг-экв/л. Источники минеральных выйдутся везикулярные воды. Трещинные воды пригодны для использования в хозяйственных целях.

ЛИТЕРАТУРА

Опуббликованная

- Вангенгейм Э.А. Стратиграфия антропогенных отложений севера Восточной Сибири. — Тр. ГИН, вып. 48, 1961.
- Дзевановский И.О.К. Геология западной окраины Станового хребта. — Вых. ВСЕГЕИ, 1958, № 1.
- Козоренко В.Н. Геологическое строение восточной части Восточного Забайкалья. — Изд. Львовск. гос. ун-та, 1956.
- Кузнецов И.А. Главные типы магматических формаций. "Недра", 1964.
- Львов А.В. Поиск и испытание водопиточников водоснабжения на западной части Амурской железной дороги в условиях вечной мерзлоты. Изд. МПС, 1901.
- Оверский А.Ф., Павлова В.В., Шульбинер В.И. Мезозойский магматизм Оймякнинского стана. "Геология и геофизика", 1964, № 6.
- Старченко В.В., Оверский А.Ф., Фадеев И.Е.М., Шульбинер В.И. Основные черты тектоники и металлогении Оймякно-Витимской горной страны. — В кн.: Тектоника Сибири Советского Дальнего Востока и прилегающих акваторий, т. IV. "Наука", 1968.
- Флоренсов Н.А. Геоморфология и новейшая тектоника Забайкалья. — Изв. АН СССР, сер. геол., 1948, № 2.

Б е д и к П.Г. Отчет Чагинской геологоразведочной партии за 1945 г., 1948.

Б у к ш а н ь Н.П. Геологический отчет по результатам поисково-разведочных работ и маршрутных исследований на Ухуртинском участке периода 1950-1953 гг., 1953.

В а р а к с и н К.В., Ш ж а р д и н В.Т. и др. Геологическое строение и полезные ископаемые междуречья Кады и Черной, 1966.

В о с к р е с е н с к и й С.С., С и м о н о в Ю.Г. и др. Разделение четвертичных отложений Юго-Восточного Забайкалья и составление геоморфологической карты масштаба 1:500 000, 1962.

Г у л и н В.А., З д о р о в е н к о М.М. и др. Отчет о результатах работ Аэрогеофизической партии, проведенных в 1964 г. в междуречьях Неругтана-Ундурги и Тунгтра-Шилки, 1965.

Г у л и н В.А., Ч е р е д н и ч е н к о В.П. и др. Отчет о результатах полевых карбосоставительских работ Зилловской партии по южной части листа N-50-XXV за 1957 г., 1958.

Г у л и н В.А., Ч е р е д н и ч е н к о В.П. и др. Геологическое строение бассейнов рек Алуэра и Ундурги (отчет Зилловской партии за 1958 г.), 1959.

Д и м и т р о в Г.В., С а н д а н о в И.Б. Отчет Урумской партии о проведении поисково-съемочных работ масштаба 1:200 000 в бассейне р. Белого Урума в 1953 г., 1954.

Д о б р а н о к и Р.П. Предварительный отчет Приштинкинской геолого-поисковой партии по геологической съемке ледозабережья р. Шилки, 1982.

Д о р о ш к о в С.А., Ф р и д м а н И.Д. и др. Результаты аэропоисковых работ в средней части бассейнов рек Шилки и Газимкура (отчет аэроаэрометрической партии № 315 за 1957 г.), 1958.

З а й к о в Е.А., П а н о в В.И. и др. Геологическое строение и полезные ископаемые бассейнов рек Джалира и Итаки (Окончательный отчет Джалироной геологоразведочной партии по работам 1963-1964 гг.), 1965.

х/ Х р а н и т о в в геологическом фонде Читинского производственного геологического объединения.

З о р и н Ю.А. и др. Отчет о гравиметрической съемке масштаба 1:100 000, проведенной Гравиразведочной партией № 17 на территории Усть-Карской депрессии в 1964 г., 1964.

К о р о л е в М.Г. Геологическое строение района среднего течения р. Черной (отчет Чернореченской ПРП за 1942 г.), 1943.

Л е й ф м а н Е.М., Л и т в и н о в В.Д. и др. Геологическое строение междуречья Шилки и Газимкура (отчет о геологоразведочных и поисковых работах масштаба 1:200 000, проведенных Горбачанской ГСП в 1956-1957 гг.), 1958.

Л е й ф м а н Е.М., К и р и л о в В.П. и др. Материалы к государственной геологической карте масштаба 1:200 000 листа N-50-XXIV. Отчет о геологоразведочных работах в 1960-1961 гг.), 1962.

М а с т о л и н Д.А., О г о р о д н и к о в В.Д. и др. Геофизическое обоснование структурно-металлогенических зон северо-восточного фланга золото-молибденового пояса Восточного Забайкалья. Металлогения северо-восточного фланга золото-молибденового пояса Восточного Забайкалья. Отчет Тематической партии № 15, т. III, 1966.

М и р ч и н к С.Г. Промежуточный отчет по теме № 569: "Геологическое строение и золотоносность мезозойских и кайнозойских отложений Пришинкинской долины тектонических впадин на участке между устьями рек Нерчи и Кударок", 1959.

М у л л о в Э.М. Отчет о работах Чернореченской геологоразведочной партии за 1954 г., 1955.

М у р а т о в а И.И., П и с н о в Ю.П. Стратиграфия, литология и вулканизм верхнемезозойских отложений Ундургинской впадины (промежуточный отчет Мезозойского отряда Тематической партии № 15 за 1965 г.), 1966.

П и с н о в Ю.П., М у р а т о в а И.И. и др. Стратиграфия и литология верхнемезозойских пресноводно-континентальных отложений Восточного Забайкалья. Отчет Мезовой тематической партии за 1957-1961 гг., 1962.

Р и д е р Э.Р. Отчет о работах Шилкинской поисково-разведочной партии за 1951-1953 гг., 1955.

Р у т ш т е й н И.Г. и др. Геологическое строение и полезные ископаемые листа M-50-IX. Отчет Кавангуинской геологоразведочной партии о работах 1957 и 1958 гг.), 1959.

С о л о в з е в а А.П., К у л и к о в Ю.А. Отчет Кайринской геологоразведочной партии за 1943-1944 гг., 1945.

Соловьев Н.Ф. и др. Отчет по теме № 569: "Сравнительное изучение мезозойских и кайнозойских тектонических впадин в Восточном Забайкалье и установление закономерностей размещения золоторосных россыпей". 1963.

Суденников В.В., Белотазова О.С. Отчет Забайкальской аэромалитной партии за 1958 г. 1959.

Тихомиров Н.И., Будляков А.Н., Ефимов А.Н. и др. Гранитоиды Прибайкалья и Забайкалья. 1961. Тихомиров И.Н. Гранитоиды Шинко-Олекминского района. Отчет о работе Среднеусского отряда за 1961 г.). 1962.

Фомин Н.И. Геологическое строение левобережья р.Шинки от пос.Дужанки до пос.Горбычи. Окончательный отчет о работах Средне-Шинкинской ПСИ за 1941 г. 1942.

Щадрин А.И., Носырев В.П. Отчет по поисково-съемочным и радиометрическим работам масштаба 1:50 000, проведенным летом 1959 г. на левобережье р.Шинки Богочинской поисково-съемочной партией. 1960.

Щадрин А.И., Сафутдинов Р.А. Окончательный отчет по поисково-съемочным работам масштаба 1:50 000, проведенным на водоразделе рек Шинки, Чачи, на правобережье р.Чачи Богочинской поисково-съемочной партией в 1960-1961 гг., 1962.

Шенфельд В.О., Чацкий И.Д. и др. Геологическое строение и полезные ископаемые листа К-50-XXXIV (Среднеуск). 1962.

Шлейдер В.А., Шакин А.П. и др. Отчет о результатах поисковых работ Бело-Урмской партии № 124 за 1960г. 1961.

Шлейдер В.А., Рубцов Г.В. и др. Отчет о результатах поисковых работ Ундургинской партии № 124 за 1961 г. и I квартал 1962 г., 1962.

Шульдинер В.И., Дысанк А.М. Геологическое строение и полезные ископаемые северо-восточной части Аназаровского хребта. Отчет Англинской партии по работам 1960-1964 гг. 1965.

СПИСОК МАТЕРИАЛОВ, ИСПОЛЪЗОВАННЫХ ДЛЯ СОСТАВЛЕНИЯ КАРТЫ ПОЛЕЗНЫХ ИСКОПАЕМЫХ

Приложение I

№ п/л	Фамилия и инициалы автора	Название работы	Год составления или издания	Местонахождение материала, это фонд № х/л
1	2	3	4	5
1	Антоновская Н.И., Мивенко Н.М.	Отчет о работе Ульдулинской поисково-съемочной партии ВСГУ на обследовании (Восточное Забайкалье)	1943	№ 64
2	Артемьев Б.Н.	Карийский район (Висмут). Сведения о валунном гравелистом в районе р.Квановки, впадающей в Казур	1926	№ 115
3	Бельская Г.Н.	Отчет по работам поисковой партии Дмитриевской актедипии 1952 г.	1958	№ 8863
4	Бельская Г.Н., Московская	Отчет по работам Дмитриевской геолого-поисковой партии за 1953 г.	1954	№ 7203
5	Бельская Г.Н.	Отчет по работам Дмитриевской геолого-поисковой партии за 1954 г.	1955	№ 7287

х/ Хранятся в геологическом фонде Читинского производственного геологического объединения.

1	2	3	4	5
6	Бельская Г.Н.	Отчет по работам Дмитриевской геолого-поисковой партии за 1955 г.	1956	№ 7685
7	Буднев М.Н.	Отчет Усть-Карской геодизвижеской партии за 1944 г.	1945	№ 422
8	Вараксин К.В. и др.	Геологическое строение и полезные ископаемые между речья Кары и Черной, 1966 г.	1966	№ 11624
9	Гольберг В.В., Чацкий И.Д.	Геологическое строение и полезные ископаемые между речья Шилки и Белого Урдома (Окончательный отчет Чагинской геологической партии по работам 1962-1964 гг.	1965	№ 11115
10	Гольберг В.В., Чацкий И.Д. и др.	Геологическое строение и полезные ископаемые между речья Шилки и Белого Урдома	1966	№ 11485
11	Гуревич Г.С., Аношкин Я.К. и др.	Отчет о ревизионных работах на пьезолитические минералы, проведенных ревизионной партией № 3 экспедиции № 108 на территории Читинской области и Бурятской АССР в 1961 г.	1962	№ 10282

1	2	3	4	5
12	Давидович Молчанов	Отчет Восточно-Забайкальской партии о поисковых работах на строматолиты на территории	1938	№ 663
13	Дмитров Г.В., Санданов И.Б.	Отчет Урдымской партии о проведении поисково-съемочных работ масштаба 1:200 000 в бассейне р.Белый Урм в 1953 г.	1954	№ 6924
14	Добрянский Р.А.	Предварительный отчет Пришилькинской геолого-поисковой партии по геологической съемке долины р.Шилки 1932 г.	1938	№ 666
15	Евсеев Ю.П., Петерсель В.Х.	Отчет о результатах геологических и геофизических работ Усть-Карской комбинексной партии в Среднем и Могочинском районах Читинской области за 1958-1959 гг.	1960	№ 9486
16	Евсеев Ю.П., Петерсель В.Х.	Отчет о результатах поисковых работ Усть-Карской комбинексной партии в Среднем районе Читинской области за 1960 г.	1961	№ 9805
17	Ермолаев Д.К.	Могойтуйское, Усть-Чернышевское, Кирочинское месторожде-	1952	№ 6494

1	2	3	4	5
18	Вологужин В.Н.	Отчет Лужанской партии о результатах поисково-разведочных работ на нерудное подсобное сырье для черной металлургии, проведенных в Усть-Карском и Среchenском районах Читинской области в 1955 г.	1956	№ 7698
19	Конюшев В.Ф., Дарев В.П., Бельская Г.Н.	Отчет по производственно-геологической деятельности Дमितревской поисковой партии за 1952-1955 гг.	1957	№ 8479
20	Королев М.Г.	Геологическое строение района среднего течения р. Черной (отчет Черноярченской поисково-разведочной партии за 1942 г.)	1943	№ 1097
21	Куликов Ю.А., Иванова Т.С., Копчиха Ф.С.	Отчет о работе Карийской геолого-поисковой партии за 1942 г.	1943	№ 1086

1	2	3	4	5
22	Ленок Д.Н.	Объяснительная записка к карте подземных ископаемых Читинской и западной частей Амурской областей масштаба 1:500 000	1957	№ 8309
23	Ляхицкий В.М., Зацепин Е.И., Мено Г.П., Крыков П.С. и др.	Пояснительная записка к карте золотоносности Читинской области	1959	№ 9849
24	Миллер	Докладная записка о результатах работ по обработке в ТРС треста Забайкальского архивных материалов по золото- и промышленности Забайкалья за 1937 г.	1938	№ 663
25	Нечуда В.М.	Отчет о результатах работ Коензевской геологической партии в северо-восточной части Читинской области за 1959-1960 гг.	1960	№ 9624
26	Онишук К.В., Крыков П.С. и др.	Изучение золотоносности и перспективная оценка Карийского золотоносного района	1965	№ 11138
27	Перетрухин В.А., Фальк Р.Д.	Отчет о результатах работы Коензевской геолого-поисковой партии в северо-восточной части Читинской области за 1960-1961 гг.	1962	№ 10053

1	2	3	4	5
28	Перетрухин В.А.	Отчет о результатах работы Коевьевской ревизионной партии в северо-восточной части Читинской области	1963	№ 10408
29	Лислов Ю.П.	Отчет по поискам масштаба 1:50 000 в районе р. Бол. Кударка, 1950 г.	1951	№ 2668
30	Плеханов А.В.	Отчет по результатам работ Бело-Урмской геолого-поисковой партии за 1960-1961 гг.	1961	№ 9846
31	Ридер Э.Р.	Отчет о работах Шилкинской поисково-разведочной партии за 1951-1955 гг.	1955	№ 7260
32	Рухин Б.А.	Отчет о геологических работах Дмитриевского золотосодержащего месторождения	1958	№ 8298
33	Рухин Б.А.	Условия золотоносности левобережья р. Шилки и направления поисков россыпей	1956	№ 8395
34	Соловьев Л.П., Кугинов Ю.А.	Отчет Карийской геолого-разведочной партии за 1943-1944 гг.	1945	№ 1087
35	Списовский В.Г., Неченаев В.В. и др.	Краткая объяснительная записка к карте золотоносности масштаба 1:100 000 территории восточной части Восточного Забайкалья	1960	№ 10850
36	Фомин Н.И.	Предварительный отчет Средне-Шилкинской геолого-поисковой партии за 1941 г.	1941	№ 5858

1	2	3	4	5
37	Фомин Н.И.	Геологическое строение левобережья р. Шилки от пос. Лужанки, до пос. Горбца (окончательный отчет о работах поисково-съемочной партии за 1941 г.)	1942	№ 2878
38	Харчук Л.П.	Предварительный отчет о работе Карийской поисково-разведочной партии на месторождении за 1936 г.	1936	№ 1691
39	Харчук Л.П.	Отчет о работе Карийской поисково-разведочной партии на месторождении за 1936 г. Восточное Забайкалье	1937	№ 1692
40	Черняев А.М.	Отчет о поисках балластных материалов по линиям Зидово-Ксеньевская и Борзя-Отпор ж.д.	1941	№ 3038
41	Щадрин А.И., Носырев В.П.	Отчет по поисково-съемочным и радиометрическим работам масштаба 1:50 000, проведенных летом 1959 г. на левобережье р. Шилки Богучинской поисково-съемочной партии	1960	№ 9465
42	Щадрин А.И., Федоров Ю.А.	Отчет по поисковым и поисково-разведочным работам, проведенным Карюкой партией в Средне-Шилкинской области по левобережью р. Шилки в 1961-1962 гг.	1963	№ 10633

1	2	3	4	5
43	Щендиль В.И., Чацис И.Д. и др.	Геологическое строение и полезные ископаемые в южной части листа N-50-XXIX (Усть-Карск). Отчет Чаучинской геолого- съемочной партии по ра- ботам 1962 г.	1963	№ 10416
44	Южков А.П., Михудин Ю.З.	Отчет о геолого-поиско- вых работах с целью вы- явления месторождений локомотивного песка, карьерного гравия и строительного камня на участке между ст.Лес- нан-Кеенъевская Забай- кальской железной до- роги	1961	№ 9779
45	Коплов Н.Б., Соколов В.Н.	Отчет о ревизионных работах на пьезопти- ческое минеральное сырье на территории Читинской области и Бурятской АССР (по ра- ботам ревизионной пар- тии за 1960 г.)	1961	№ 9881
46	Ягошкин И.С.	Предварительный отчет о геолого-поисковых работах в Средненском и Молочинском районах летом 1930 г.	1931	№ 4105
47		Кадастр месторождений золота		№ 116 к
48		Кадастр месторождений глин		№ 80/к

1	2	3	4	5
49	Автор не указан	Нижне-Шилкинский- Верхне-Амурский (Мо- лочинский) золотопро- мышленный район	Не ука- зан	№ 5268
50	Автор не указан	Урды-золото 1888- 1908 гг. (Выписка из материалов архива Ми- нистерства императорско- го двора в 1828-1908 го- ды о поисках и разведке золота в районе р.Урды)	Не ука- зан	№ 4689

Приложение 2

СПИСОК ПРОМЫШЛЕННЫХ МЕСТОРОЖДЕНИЙ ПОДЗЕМНЫХ ИСКОПАЕМЫХ,
ПОКАЗАННЫХ НА ЛИСТЕ N-50-XXIX КАРТЫ ПОДЗЕМНЫХ ИСКОПАЕМЫХ
МАСШТАБ 1:200 000

№ по карте	Индекс клетки на карте	Наименование месторождения и вид полезного ископаемого	Составные элементы пласта (таблица)	Тип месторождения (К-коренное, Р-россыпное)	№ использования Материала по списку (Прилож.1)
1	2	3	4	5	6
МЕТАЛЛИЧЕСКИЕ ИСКОПАЕМЫЕ					
Ц в е т н ы е м е т а л л ы					
Полиметаллические руды					
115	IV-8	Богочинское	Законсервировано	К	4, 31
Б л а г о р о д н ы е м е т а л л ы					
Золото					
92	IV-8	Амурское	Законсервировано	К	4, 5, 6
76	IV-2	Безымянское	То же	Р	28
84	III-1	Бирюканское	"	Р	47
74	IV-2	Богочинское	Эксплуатируется	Р	4, 2, 47
73	IV-2	Богочинское (террасовое)	Законсервировано	Р	47
68	III-4	Большая Куларка	То же	Р	3, 37, 47

1	2	3	4	5	6
65	III-4	Большая Куларка	Законсервировано	Р	47
58	II-4	Вуруктайское (с припоями Зверьхой и Велмачикой)	То же	Р	37, 35
56	II-4	Верхне-Илканское	"	Р	3, 47
86	IV-3	Верхне-Карийский ключ	"	Р	47
68	III-4	Глубокий Ключ	"	Р	
51	III-3	Дегиньское	Отработано	К	13, 47
52	III-3	"	Законсервировано	Р	47
95	IV-3	Дмитриевское	То же	К	4, 5, 6, 32
72	IV-2, IV-3	Дмитриевский Ключ	"	Р	46, 47, 39
27	II-2	Джелондинское	"	Р	30
62	III-4	Ерничное	"	Р	47
9	I-1	Жипковское	"	Р	30
99	IV-3	Ивановское	"	Р	4, 41, 3, 47
101	IV-3	Ивановское (террасовое)	"	Р	4, 41, 3, 47
19	I-3	Илкендинское (с притоком пады Ша-вырной)	"	Р	49, 35
71	IV-2, IV-4	Карийское	Эксплуатируется	Р	3, 41, 47
105	IV-3, IV-4	Карийское (террасовое)	Законсервировано	Р	47
54	III-3	Ключевское	То же	Р	47

1	2	3	4	5	6
60	Ш-4	Куларкинское	Законсервировано	Р	47, 50
80	IV-2	Дубинское	То же	Р	47
48	Ш-3, IV-4	Дужанкинское	Эксплуатируется	Р	3, 47, 33
118	IV-4	Дужанкинское (террасовое)	Законсервировано	Р	3, 47
69	Ш-4	Мрачжинское	То же	Р	47
23	II-1	Обкорондинское	"	Р	30
44	Ш-3	Перфильевское	"	Р	3
57	Ш-4	Петровское	"	Р	47
88	IV-3	Пильненское	"	Р	4, 47
111	IV-3	Подвеминское	"	Р	47
96	IV-3	Тарагуштинское	"	Р	47
97	IV-3	Тарагуштинское (террасовое)	"	Р	47
22	II-1	Ундургинское	"	Р	30
2	I-1	Чонгольское	"	Р	47
42	Ш-3	Шанхойское	"	Р	47
67	Ш-4	Шарабаниха ключ	"	Р	47
16	I-2	Шахтайское	"	Р	30
114	IV-3	Ярничное	"	Р	47

1	2	3	4	5	6
---	---	---	---	---	---

СТРОИТЕЛЬНЫЕ, ОГНЕУПОРНЫЕ, АБРАЗИВНЫЕ И ДРУГИЕ МАТЕРИАЛЫ

Карбонатные породы		Известняк		Доломит		Глинистые породы		Глины кирпичные		Обломочные породы		Талька и графит					
10	I-1	Бело-урмское	Законсервировано	К	12, 13	75	IV-2	Соловухинское	То же	К	13	21	II-1	Шадуринское	Законсервировано	Р	40
26	II-1	Ундургинское	"	К	13	113	IV-3	Богочинское I	Законсервировано	К	14, 17, 18	124	IV-4	Усть-Карское	Законсервировано	К	48
113	IV-3	Богочинское I	Законсервировано	К	14, 17, 18	110	IV-3	Ереканское	То же	К	18	17	I-3	Бело-урмское	Законсервировано	Р	40, 44
Глины кирпичные																	
Обломочные породы																	
Талька и графит																	
Песок строительный																	

Приложение 3
 СПИСОК НЕПРОМЫШЛЕННЫХ МЕСТОРОЖДЕНИЙ ПОЛЕЗНЫХ ИСКОПАЕМЫХ,
 ПОКАЗАННЫХ НА ЛИСТЕ N-50-XXIX КАРТЫ ПОЛЕЗНЫХ ИСКОПАЕМЫХ
 МАСШТАБ 1:200 000

№ по карте	Индекс клетчатка на карте	Наименование месторождения и вид полезного ископаемого	Состояние эксплуатации	Тип месторождения (К-ко-Ренное, Р-россыпное)	№ использования полезного материала по списку (прилож. I)
1	2	3	4	5	6

МЕТАЛЛИЧЕСКИЕ ИСКОПАЕМЫЕ
Благородные металлы
Золото

61	Ш-4	Аликинское	Законсервировано	Р	23
14	Л-2	Бело-Урмское	То же	Р	30
18	Л-3	Житловинское	"	Р	47
47	Ш-3	Лабазная Дадь	"	Р	47
93	Л-3	Мало-Бурукайское	"	Р	47
28	Л-3	Северо-Джидлиндинское	"	Р	47
35	Ш-1	Ушугунское	"	Р	47
117	Л-4	Шидкинское (террасовое)	"	Р	9

Редкие металлы

100	Л-3	Барановское	Законсервировано	К	7,34
-----	-----	-------------	------------------	---	------

Молибден

104

1	2	3	4	5	6
102	Л-3	Ивановское	Законсервировано	К	39
104	Л-3	Кадийское	То же	К	4,41,7,21,34

СТРОИТЕЛЬНЫЕ, ОГНЕУПОРНЫЕ, АБРАЗИВНЫЕ И ДРУГИЕ МАТЕРИАЛЫ
Карбонатные породы
Доломит

112	Л-3	Болочинское 2	Законсервировано	К	18
-----	-----	---------------	------------------	---	----

105

СПИСОК ПРОЯВЛЕНИЙ ПОЛЕЗНЫХ ИСКОПАЕМЫХ, ПОКАЗАННЫХ НА
ЛИСТЕ № 50-XXIX КАРТЫ ПОЛЕЗНЫХ ИСКОПАЕМЫХ
МАСШТАБА 1:200 000

№ по карте	Индекс на карте	Название (местонахождение) проявления и вид полезного ископаемого	Характеристика проявления	№ столбца в картах по списку (прилож. I)
1	2	3	4	5
		МЕТАЛЛИЧЕСКИЕ ИСКОПАЕМЫЕ		
		Ц в е т н ы е м е т а л л ы		
		Медь		
41	Ш-3	Кадачинское	15 жил кварта мощность 0,2-0,3 м. Промысла и вскрышенность халькопирита, пирита и примазки маляхита и азурита в кварцевых жилах	20, 15
40	Ш-3	Солнечно-Кадачинское	Металлогенетический ореол рассеяния	15
		Свинец		
107	IV-3	Кудиндинское	Кварцево-карбонатная жила с лаленитом и буланжеритом. Мощность жилы около 1 м	16
31	П-4	Уль-Дугличинское	Металлогенетический ореол рассеяния	10

1	2	3	4	5
38	Ш-3	Солнечно-Кадачинское	Металлогенетический ореол рассеяния	15, 16
50	Ш-3, IV-3	Верхне-Карийское	Щитовой ореол со знаковыми содержаниями галенита	43
		Цинк		
109	IV-3	Ереванское	3 жилы трещиноватого кварца, прослеженные на 20-30 м, содержание Zn до 15%	31
29	П-4	Уль-Дугличинское	Металлогенетический ореол рассеяния	9
		Свинцово-цинковые руды		
		Богочинское (новый участок)		
		Жипсосинское		
		Усть-Ундуртинское		
116	IV-3	Богочинское (новый участок)	Зона обогащенных глини тектонического происхождения мощностью от 10 до 100 м, прослежена на 600 м	4, 31
5	I-1	Жипсосинское	Развалы глиб низкотемпературного обогащенного кварца	10
20	П-1	Усть-Ундуртинское	Жила кварца мощностью до 20 см с обильной вскрышенностью арсенопирита, пирита, халькопирита, галенита, примазками маляхита, ковеллина, повеллита, азурита. Жила прослежена на 18 м	10

1	2	3	4	5
36	Ш-1	Ушугунское	Развалы глыб треще-низированных, обокранных пород	10
59	Ш-4	Черныинское	Развалы кварца с вкрапленностью та-ленича, сфалерита, тетраэдрига, пирита	37
37	Ш-1, Ш-2	Азамушкинское	Металлометрический ореол рассеяния	10
11	Г-1, П-1	Урдомское	То же	10
Мышк				
38	П-4	Мало-Бурукайское	Металлометрический ореол рассеяния	9

Б л а г о р о д н ы е м е т а л л ы

З о л о т о

78	ЛУ-2	Богочинское 1	Серия кварц-турмалиновых жил	4,5
79	ЛУ-2	Богочинское 2	16 кварц-турмалиново-во-сульфидных жил мощностью 0,2-1,5 м	15,47
106	ЛУ-3	Богочинское 3	10 турмалиново-кварцевых жил мощностью 0,1-0,4 м	16
90	ЛУ-3	Верхне-Карийское 1	Понкие (1-3 мм) кварцевые прожилки с вилмыш золотом	47
91	ЛУ-3	Верхне-Карийское 2	Кварцевые прожилки с вилмыш золотом	47

1	2	3	4	5
85	УГ-3	Верхне-Карийское 3	Кварц-турмалиновый жила	9
87	УГ-3	Верхне-Карийское 4	Две зоны интенсивного окварцевания и турмалинизации гра-но-диоритов мощно-стью до 5 м. Кварцевые жилы и прожилки мощ-ностью до 2,5 м с вкрапленностью пирита	9
83	ЛУ-3	Ключевская жи-ла	Кварцевая жила мощ-ностью 0,5 м	47
84	ЛУ-3	Ключевское	Серия кварцевых жил	47
77	ЛУ-2	Мало-Богочинское	Кварц-турмалиново-сульфидная жила мощ-ностью 2,5 м с пиритом, арсенопиритом, молибденитом, висму-товыми минералами	41,47
45	Ш-3	Перфильевское	Две жилы халцедоно-видного кварца мощ-ностью 0,7-0,8 м, с редкой вкрапленностью пирита	3
89	ЛУ-3	Пильненское	Кварцевая жила	47
82	ЛУ-2	Поворочинское	Развалы глыб кварц-турмалиновых пород с интенсивной вкраплен-ностью пирита	10
4	Г-1	Такшинское	Элювиальные развалы крупных глыб серого кварца	10
94	ЛУ-3	Таратушхунское	12 кварц-турмалино-вых жил	47

1	2	3	4	5
121	ЛУ-4	Усть-Подвинкинское	Жила тонкозернисто-то массивного кварца мощностью 0,35 м-1 м, с рассеянной вкрапленностью пирита и арсенопирита	8
123	ЛУ-4	Целиковское	Дробленые обожженные извесняки	8
122	ЛУ-3 ЛУ-4	Нижне-Карибское	Шлиховой ореол расседения	8
119	ЛУ-4	Дужанкинское	То же	8
Р е д к и е м е т а л и н				
Вольфрам				
64	Ш-4	Петровское	Зона окандривания мощностью более 3 км	29
43	Ш-3	Шанхойское	То же, 10-50 см	
Молибден				
81	ЛУ-2	Богочинское I	Линза кварца мощностью до 1,2 м длиной 5 м с гнездами крупночешуйчатого молибденита	13
30	П-4	Гаргаченское	Развалы глыб кварца с неравномерной вкрапленностью молибденита	22, 35, 37
13	П-2	Культушкинское	Брекчированные граниты с прожилками серо-то кварца мощностью до 20 см	10
32	П-4	Уль-Дуги-Чинское	Метадиометрический ореол расседения	9

110

1	2	3	4	5
39	Ш-3	Солнечное-Кадачинское	Метадиометрический ореол расседения	15, 16
24	П-1	Ундургинское	Зона трещенизации и интенсиальной пиритизации гранитов мощностью 250 м	9
15	П-2	Усть-Джелон-Динское	15-ти метровая зона интенсивного окварцевания и брекчирования гранитов с несколькокими жилами халькодоносидного кварца мощностью от 0,2 до 1 м. Содержание Mo от 0,002 до 0,096%	9, 10
25	П-1	Челкиминское	Жилы высокотемпературного кварца мощностью 0,2-0,8 м. Mo - 0,001-0,3%	28, 29
53	Ш-3 ЛУ-3	Карибское	Шлиховой ореол расседения	43
Редкие земли				
98	ЛУ-3 ЛУ-4	Дужанкинское	Шлиховой ореол расседения монашита	43
Сульма				
1	П-1	Верхне-Жинко-синское	Развалы глыб серого низкотемпературного кварца, содержащие Sb - 0,01%	10

111

1	2	3	4	5
120	IУ-4	Караганское	Разваля глиб кварца и прокварцованных карбонатных пород с вырассеянной антимонитом, пиритом, халькопиритом	8
6	I-1	Нижне-Житко-синское 1	Разваля глиб брекчированных, каолинизированных гранитов с миклитомовыми прожилками халькогонидного кварца, содержание Sb - 0,01-0,05%	10
7	I-1	Нижне-Житко-синское 2	Разваля глиб выско-температурного обожженного кварца, содержание Sb - 0,02-0,03%	10
8	I-1	Нижне-Житко-синское 3	Разваля глиб брекчированных обожженных гранитов, содержание Sb - 0,02%	10
35	III-3	Малиновское 1	3 жилы светло-серого кварца мощностью от 0,16 м до 0,55 м, с висмутином, молибденитом, пиритом, повеллитом	20
49	III-3	Малиновское 2	2 кварцевые жилы мощностью 0,21 м и 0,15 м, с висмутином, молибденитом и пиритом	20

Висмут

1	2	3	4	5
46	III-3	Панхойское	6 маломощных (до 0,28 м) линзовидных кварцевых жил. Содержание В - 0,01-0,30%	20
НЕМЕТАЛЛИЧЕСКИЕ ИСПОЛЗАЕМЫЕ				
Х и м и ч е с к о е с н р ь е				
Флюорит (флюс и химсырье)				
66	III-4	Куларкиноское	Кварцевая жила мощностью 0,8-1 м с зонной флюоритовой минерализацией мощностью 0,2 м	37
108	IУ-3	Кулиндинское	Две зоны брекчированных и окварцованных известняков и сланцев с прожилками и гнездами флюорита. Первая прослежена на 300 м при выдвиге мощности от 2 до 30 м. Протяженность второй - 350 м, средняя мощность - 4 м	15,8
Барий				
108	IУ-3	Кулиндинское	Шиховой ореол рассеяния	43
70	III-4 IУ-4	Уласовское	То же	43

1	2	3	4	5
		ИСТОЧНИКИ		
		Минеральные источники		
3	I-1	Чонгольский	Углекопный источник	10
12	I-2	Ургученский	То же	13

СО Д Е Р Ж А Н И Е

Введение	3
Стратиграфия	8
Интрузивные образования	26
Тектоника	55
Геоморфология	64
Полезные ископаемые	68
Подземные воды	85
Литература	87
Приложения	91

Стр.